

Univerzitet u Beogradu
Tehnološko-metalurški fakultet, Beograd

Vladimir Z. Stijepović

**NOVA METODA ZA ENERGETSKU INTEGRACIJU
PROCESNIH POSTROJENJA U INDUSTRIJSKIM
KOMPLEKSIMA**

Doktorska disertacija

Beograd, 2014

MENTOR

Mirjana Kijevčanin, Redovni profesor
na Tehnološko-Metalurškom fakultetu

ČLANOVI KOMISIJE

Slobodan Šerbanović, Redovni profesor
na Tehnološko-Metalurškom fakultetu

Aleksandar Grujić, viši naučni saradnik
na Institut za hemiju, tehnologiju i
metalurgiju

DATUM ODBRANE

Mojoj Porodici

Sadržaj

1. Uvod	1
2. Teorijski deo	4
2.1 Značaj upotrebe kombinovanog procesa za proizvodnju toplote i električne energije u svetskoj industriji	4
2.2 Metode za energetsku integraciju procesa	12
2.3 Termodinamičke metode za projektovanje mreže razmenjivača toplote	14
2.3.1 Određivanje minimalnih potreba za hlađenjem i grejanjem u procesu	14
2.3.2 Određivanje operativnih troškova	17
2.3.3 Određivanje minimalnih kapitalnih troškova mreže razmenjivača toplote	20
2.3.4 Određivanje optimalne vrednosti minimalne razlike temperature	25
2.3.5 Projektovanje mreže razmenjivača toplote	25
2.4 Matematičke metode za energetsku integraciju procesa	31
2.4.1 Sekvencijalno projektovanje mreža razmenjivača toplote	31
2.4.2 Simultano projektovanje mreža razmenjivača toplote	43
2.4.3 Poređenje sekvencijalnog i simultanog pristupa za projektovanje mreže razmenjivača toplote	43
2.5 Metode za energetsku integraciju postrojenja	44
2.6 Optimizacioni algoritmi	50
3. Razvoj metode za energetsku integraciju postrojenja u industrijskim kompleksima	54
3.1 Definisanje problema	55
3.2 Razvoj metode	59
3.2.1 Prikupljanje i obrada podataka iz industrijskog kompleksa	60
3.2.2 Određivanje potencijala za uštedu energije	63
3.2.3 Izvodljive integracione opcije za upotrebu viška toplote	68
3.2.4 Određivanje maksimalnog iskorišćenja otpadne toplote	70
3.2.5 Projektovanje integracionog sistema upotrebom viška toplote i kogeneracijom	74
4. Primena metode na studiju slučaja	76
4.1 Prikupljanje i obrada podataka	76
4.1.1 Operativni podaci sistema toplih pomoćnih struja	77
4.1.2 Operativni podaci za hladne pomoćne struje i procesne struje u kojima se uklanja višak toplote	78
4.1.3 Podaci za turbine	79
4.2 Određivanje potencijala za uštedu energije	86
4.3 Uspostavljanje veze između postrojenja	91
4.4 Određivanje maksimalnog iskorišćenja otpadne toplote	93
4.5 Projektovanje mreže za integraciju industrijskog kompleksa	100
5. Zaključak	110
Reference	112
Lista slika	124
Lista tabela	127
Lista oznaka	129

1. Uvod

Konstantan porast ukupne svetske industrijske proizvodnje iz godine u godinu zahteva sve veće potražnju za energentima. Fosilna goriva su još uvek primarni izvor toplotne energije i koriste se za proizvodnju električne energije upotrebom Brajtonovog i/ili Rankinovog ciklusa, ali se sve više zamjenjuju obnovljivim sirovinama i izvorima energije.

Visoke cene fosilnih goriva, kao i predviđanja rasta cena, posledica su ograničenih prirodnih resursa, koji se veoma brzo iscrpljuju i nestaju zbog sve veće potražnje. Treba napomenuti da je sa tehnološkog aspekta eksploatacija fosilnih goriva sve zahtevnija i skuplja. Sa gledišta ekonomskih analiza, visoke cene fosilnih goriva odražavaju se na povećanje cene krajnjeg proizvoda, što vodi ka smanjenju konkurentnosti ekonomija koje nemaju sopstvene izvore i zavise od uvoza. Pored ekonomskog uticaja, porast potrošnje fosilnih goriva dovodi do sve veće emisije dimnih gasova koji direktno utiču na životnu sredinu, a to se najviše ogleda kroz kvalitet vazduha. U cilju smanjenja emisije gasovitih supstanci koje stvaraju efekat staklene baštice, Ujedinjene Nacije pokrenule su inicijativu predlaganjem okvirne konvencije o klimatskim promenama, poznatijom kao Kjoto protokol. Kroz mehanizme definisane u protokolu zemlje potpisnice se obavezuju na smanjenje emisija gasova. Republika Srbija je prihvatile Kjoto protokol 2007. godine. Pored Kjoto protokola, zemlje Evropske unije usvojile su i akt o energetsko - klimatskim pravcima koji je predložila evropska komisija 2007. godine. Navedenim aktom se predviđa smanjenje ukupne potrošnje energije za 20% u odnosu na predviđanja za 2020. godinu, porast udela bio-goriva u ukupnoj potrošnji goriva na 20%, i smanjenje emisije dimnih gasova za 20% u odnosu na nivo emisija 1990. godine. Navedeni akt predviđa i uvođenje takse na emisiju ugljen-dikosida. Na osnovu prethodnih razmatranja može se konstatovati da će efikasnije korišćenje energije imati sve veći ekonomski uticaj na privredne subjekte. Na taj način koji će se privredni subjekti prilagoditi regulativama vezanim za klimatske promene u velikoj meri će uticati na održivost, a samim tim i na profitabilnost njihove proizvodnje.

Postoje dva smera za poboljšanje energetske efikasnosti industrijskih postrojenja: a) smanjenje potrošnje energenata u samom proizvodnom procesu, b) energetska integracija industrijskih

postrojenja. Smanjenja potrošnje energetskih resursa u procesu zahteva razvoj postrojenja ih i uvo enje novih, energetske manje zahtevnih tehnologija. Energetska integracija industrijskih postrojenja zahteva formiranje međusobnih veza koje bi omogućile razmenu energije. Uspostavljanje ovakve vrste veza zahteva metodološki pristup, s obzirom na veliki broj fizičkih i ekonomskih ograničenja koja se nameđu u ovakvim složenim sistemima.

Toplotna integracija pojedinih procesa se već nekoliko decenija uspešno primjenjuje za povećanje energetske efikasnosti. Danas se smatra standardnom tehnikom pri projektovanju novih i preuređivanju postojećih mreža razmenjivača topote. Iz metoda toplotne integracije procesa razvijena je tehnika koja omogućava energetsku integraciju na nivou više procesa međusobno povezanih preko zajedničkog sistema pomoćnih medijuma (energana). Ova tehnika omogućava da se za dati sistem procesa odredi najoptimalnija konfiguracija sistema pomoćnih medijuma koja bi omogućila najefikasnije iskorišćenje energije dobijene sagorevanjem fosilnih goriva.

Sadašnji nivo industrijskog razvoja zahteva metode koje bi omogućile energetsku integraciju više nezavisnih postrojenja koja se nalaze u okviru industrijskog kompleksa. Uspostavljanje energetske integracije na ovom nivou dodatno bi povećalo energetsku efikasnost postrojenja, a to bi dovelo i do smanjenja potrošnje fosilnih goriva i smanjenja emisije. Cilj istraživanja ove doktorske disertacije je razvoj nove metode za energetsku integraciju više nezavisnih industrijskih postrojenja u jednom industrijskom kompleksu. Metoda je zasnovana na termodinamickim zakonitostima, uz implementaciju kriterijuma pouzdanosti, mogućnosti kontrole i ekomske održivosti.

Doktorska disertacija biće prikazana kroz sledeća poglavlja: *Teorijski deo, Razvoj metode energetske integracije, Primena metode na studiju slučaja, Zaključak i Literatura*.

Poglavlje *Teorijski deo* obuhvata analizu dosadašnjih istraživanja koji se odnose na:

- Značaj upotrebe kombinovanog procesa za proizvodnju topote i električne energije,
- Metode za topotnu integraciju procesa,
- Projektovanje mreža razmenjivača topote u procesima,
- Metode za energetsku integraciju postrojenja,

- Numeri ke metode za rešavanje linearnih i nelinearnih optimizacionih problema.

Poglavlje *Razvoj metode energetske integracije* detaljano opisuje razvoj primenjene metode. Odredi e se podaci koje je neophodno sakupiti za dalju analizu i bi e izvršeno preliminarno definisanje potencijalnih izvora toplote upotrebom eksnergetske analize. Definisa e se optimizacioni problem koji omogu ava prora unavanje veza i parametara u cilju odreivanja maksimalne energetske efikasnosti industrijskog kompleksa. Nakon odreivanja maksimalne efikasnosti, definisa e se optimizacioni problem koji ima za cilj poveanje energetske efikasnosti u industrijskom kompleksu, a koja je optimalna sa ekonomskog stanovišta.

U Poglavlju *Primena metode na studiju slu aja*, bi e detaljno opisana primena metoda na zamišljeni industrijski kompleks.

U *Zaklju ku* e se prikazati suština analize dobijene na osnovu sumiranih rezultata izvedenih ispitivanja .

U delu *Literatura* bi e dat pregled referenci koje su prikupljene, analizirane i koriš ene u doktorskoj disertaciji.

2. Teorijski deo

U okviru ovog proglašenja obrazovanje je nekoliko tako veoma bitnih za energetsku integraciju procesa: značaj upotrebe kombinovanog procesa proizvodnje toplote i električne energije u svetskoj industriji, pregled najznačajnijih metoda za energetsku integraciju, kao i pregled optimizacionih algoritama koji se koriste pri njihovom rešavanju.

2.1. Značaj upotrebe kombinovanog procesa za proizvodnju toplote i električne energije u svetskoj industriji

Povećanje energetske efikasnosti je jedan od najvažnijih koraka u pravcu održivog razvoja, zaštite životne sredine i ekonomskog rasta. Najveća i zagađujuća životna sredina je procesna industrijija sa skoro 1/3 ukupne emisije ugljen-dioksida (CO_2) u atmosferu. Orogomna količina fosilnih goriva, a samim tim i energije, troši se u industriji, što dovodi do zaključka da povećanjem energetske efikasnosti u njima može dovesti do znaczajnog smanjenja emisije CO_2 .

Tokom poslednjih decenija energetski zahtevi neprekidno rastu i to najviše u zemljama u razvoju, narođeno u Kini. Energetska efikasnost određene grane industrije razlikuje se od države do države i najveća je u razvijenim zemljama. Sveukupna svest, kako izvršnih organa država tako i stanovništva za očuvanje životne sredine primoravaju proizvodnju ka procesima sa manjom emisijom CO_2 . Evropska komisija je 2002. godine predložila uvođenje taksi za emisiju CO_2 , tako da su proizvodi i primorani da usmeravaju investicije u smjeru povećanja energetske efikasnosti procesa.

Energetska efikasnost se poboljšava u svim industrijskim granama širom sveta jer se primenjuje najsavremenija tehnologija i to najviše u industrijama kod kojih je energija najveća i ekonomski izdatak. Iako je energetska efikasnost povećana, ukupna potrošnja fosilnih goriva i emisija CO_2 raste usled rasta proizvodnje.

Povećanje energetske efikasnosti može se ostvariti kroz optimizaciju postojećih procesa i postrojenja ili uvođenjem novih, energetski manje zahtevnih tehnologija. Međunarodna Agencija za Energiju (IEA) procenjuje da se primenom najsavremenijih tehnologija može uštedeti između

25 i 37 EJ/god [1]. S obzirom da cena foslinih goriva raste, procenjene uštede dovode i do povećanja profitabilnosti.

Pored uvođenja novih tehnologija, energetska integracija je jedan od načina za povećanje energetske efikasnosti, koja može biti na nivou procesa ili na nivou postrojenja. Uobičajeno je da u procesnim industrijskim energama obezbeđuju potrebnu energiju za odvijanje procesa. U njima se sagorevanjem goriva dobija para visokog pritiska, koja se propušta kroz turbo generatore, pri čemu se generiše električna energija, a preostali deo pare se odvodi dalje ka postrojenju. Na ovaj način se odvija kombinovana proizvodnja toplote i električne energije ili kogeneracija, što predstavlja jedan od načina energetske integracije na nivou postrojenja. Izveštaj IEA prikazuje kako su najveći zagonetki i životne sredine među procesnim industrijskim postrojenjima, kao i procenjeni potencijal za povećanje energetske efikasnosti. U ovom izveštaju prikazan je potencijal za uštetu fosilnih goriva primenom energetske integracije. Primjenom energetske integracije može doći do smanjenja upotrebe energije između 2 do 3 EJ/god, odnosno 48-72 Mt/god goriva i 110-170 MtCO₂/god [2].

Mnoge metode za ispitivanje potrošnje goriva i emisije CO₂ se baziraju na indikatorima, koji postoje u mnogim postrojenjima širom sveta [3]. Načini na koji se definišu indikatori su veoma važni, i oni su različiti od zemlje do zemlje, kao i od industrijskog sektora. Indikatori pokazuju kolika je potrošnja goriva i emisija CO₂ određena postrojenja pri određenom načinu proizvodnje. Zatim se na osnovu podataka koji ukazuju kolika bi potrošnja goriva i emisija CO₂ bila pri primeni najsvremenijih tehnologija određuju moguće povećanje energetske efikasnosti datog postrojenja. Na osnovu ovih podataka se vrši određivanje potencijala za povećanje energetske efikasnosti širom sveta u različitim proizvodnim procesima.

Potrošnja goriva i emisija CO₂ zavise od kvaliteta sirovina i vrste goriva koja se upotrebljavaju, a koji su različiti za pojedine države. Procesi koji koriste ugalj kao izvor energije su manje efikasni od procesa gde se koristi prirodni gas ili električna energija. Neki proizvodi imaju u sebi određenu količinu CO₂ koju mogu osloboditi prilikom njihove upotrebe. To je obično u sintetičkim organskim proizvodima, pa se i ova količina CO₂ mora uzeti u obzir. Znajući deo industrijske emisije CO₂ predstavljaju emisije vezane za proces prelaska sirovina u proizvode, bez obzira na upotrebu fosilnih goriva. Pri kombinovanoj proizvodnji toplote i električne energije dolazi do potrošnje fosilnih goriva. Višak proizvedene električne energije se može prodati trećem

licu. Može se optimizovati i sistem energana za kombinovanu proizvodnju toplote i elektri ne energije na taj na in da ukupna potrošnja goriva, emisija CO₂ i profit budu što povoljniji. U industriji proizvodnje celuloze, papira i štampe kombinovana proizvodnja toplote i elektri ne energije igra važnu ulogu zbog velike upotrebe vodene pare, tako da je veoma važno pri razmatranju ove industrije definisati na in na koji su prikupljeni podaci o kombinovanoj proizvodnji toplote i elektri ne energije.

U hemijskoj i petrohemijijskoj industriji koristi se negde oko 30% ukupne potrošnje energije u svetu [4]. Procenjuje se da je mogu nost uštede energije za proizvodnju olefina i aromata oko 10%, a za polivinilhlorid do 40% [4]. Postoji velika mogu nost za smanjenje emisije CO₂ u ovoj oblasti industrije optimizacijom kombinovane proizvodnje toplote i elektri ne energije. Pove anje emisije CO₂ u atmosferu u ovoj grani industrije zavisi i od vrste goriva koje se upotrebljava. Na primer, u Kini se uglavnom upotrebljava ugalj kao fosilno gorivo što dovodi do manje energetske efikasnosti u odnosu na upotrebu prirodnog gasa kao goriva. Procenjuje se da bi smanjenje emisije štetnih gasova, u ovaj oblasti industrije, primenom najsavremenijih tehnologija bilo i do 20% [4]. Energetskom integracijom gasnih turbina sa razmenjiva ima toplote koji služe za krekovanje, može do i do uštede specifi ne energije za proizvodnju etilena za oko 10-20% od ukupnog zahteva za energijom [4].

Pri proizvodnji kausti ne sode (NaOH), osnovni na in za smanjenje upotrebe fosilnih goriva, a samim tim i pove anja energetske efikasnosti, je prelaz proizvodnje sa živinog procesa i procesa pomo u dijafragme, na membransku tehnologiju. Prilikom proizvodnje natrijum karbonata potrebne su velike koli ine vodene pare, pri emu para niskog pritiska ini najve i deo. Ona se direktno uvodi u proces za regeneraciju amonijaka (parno – stripovanje), tako da je u cilju pove anja energetske efikasnosti postrojenja potrebno uklju iti dodatne jedinice za kombinovanu proizvodnju toplote i elektri ne energije.

Potrošnja energije prilikom proizvodnje amonijaka smanjena je za 30% u poslednjih tridesetak godina, što predstavlja zna ajnu uštedu imaju i u vidu da se skoro 20% ukupne potrošnje energije u hemijskoj industriji troši na proizvodnju amonijaka [4]. Prose na potrošnja energije postrojenja za proizvodnju amonijaka koja se baziraju na reformingu prirodnog gasa u Sjedinjenim Ameri kim Državama i Evropi iznosi izme u 35 i 38 GJ/t amonijaka [4].

Hemijska i petrohemidska industrija spadaju u najveće korisnike kombinovane proizvodnje toplote i električne energije još od osamdesetih godina prošlog veka. Pomoću kogeneracije se povećava energetska efikasnost, ekonomičnost, smanjuje se emisija štetnih gasova i dolazi do poboljšanja energetske sigurnosti. Izveštajem iz 2004. godine je procenjeno da se u Sjedinjenim Američkim Državama 24 GW ili 34% kogeneracionog potencijala nalazi u hemijskoj industriji, a takođe postoji mogućnost za poboljšanjima od 7.8 GW električne energije i 0.5 EJ pare [5]. Prema izveštaju kompanije ExxonMobile kogeneracioni kapacitet u njegovim postrojenjima je 3.7 GW u 2006. godini ili što je ekvivalentno smanjenju emisije CO₂ od 9 Mt/god. Ova kompanija planira da poveća ovaj kapacitet za 35% do 2010. godine [5]. U Tabeli 1.1. prikazani su podaci za upotrebu kogeneracije u hemijskoj i petrohemidskoj industriji [6].

Tabela 1.1. Upotreba kombinovane proizvodnje toplote i električne energije u hemijskoj i petrohemidskoj industriji

Zemlja	Procenjena upotreba kombinovane proizvodnje toplote i električne energije, GW	Godina
Sjedinjene Američke Države	24	2004.
Japan	1.6	2006.
Nemačka	2.6	2003.
Holandija	0.3	2003.
Španija	0.6	2003.
Kina	3.0	2005.
Italija	0.7	2003.
Rusija	0.7	2004.
Kanada	1.7	2004.

Kad je u pitanju industrija gvožđa i elika kolika je iskorišćena energija i emisija CO₂ zavise od vrste sirovina koje se koriste, kao i od efektivnosti proizvodne tehnologije [7]. Za industriju gvožđa i elika je karakteristično da je u poslednjih dvadesetak godina povećala svoju energetsku efikasnost. Srednji rast energetske efikasnosti nije se znajuće uvećao usled povećane proizvodnje u Kini, koja ima relativno nisku srednju efikasnost. Višak energije koji se uklanja iz proizvodnog procesa se koristi za generisanje električne energije ili za grejanje/hljenje stambenih objekata. Ovakav vid integracije karakterističan je za visoko razvijene države i u

zemljama sa visokom cenom energije, kao i sa rigoroznim zakonima vezanim za energetsku efikasnost. Skoro polovina ukupne svetske proizvodnje gvožđa i elika, kao i emisija CO₂ iz ove industrije nalazi se u Kini, Indiji, Rusiji i Ukrajni [8]. Energetska efikasnost ove industrije u navedenim zemljama je znatno manja nego u razvijenim zemljama. Najveći razlog ovoga su upotreba zastarele tehnologije, korištenje uglja kao fosilnog goriva i korištenje niskokvalitetne rude. Na osnovu poreza na savremenim tehnologijama, mogućnost povećanja energetskog potencijala u svetu u ovoj industriji iznosi od 2.3 do 2.9 EJ/god, odnosno smanjenje emisije CO₂ od 220 do 270 Mt/god [9]. Količina starog gvožđa, koja se reciklira pri proizvodnji elika se povećala znatno u poslednjim decenijama, ali njegov udio u ukupnoj proizvodnji elika je smanjen [10]. Razlog ovome je znatno porast proizvodnje elika širom sveta, kao i veliki rast proizvodnje elika u Kini. Smatra se da je količina starog gvožđa koja se reciklirala u 2003. godini oko 260 Mt [11]. U Kanadi je izvršeno istraživanje koje je upoređivalo postojeće postrojenja za proizvodnju elika u Kanadi sa postrojenjima koja primenjuju najsavremeniju tehnologiju. Utvrđeno je da je potencijal za povećanje energetske efikasnosti 25-30%, a jedan od etapa može da se poveća energetske efikasnosti predstavlja i kogeneracija upotrebom toplote iz dimnih gasova [12]. Na osnovu izveštaja IEA korištenjem procesa suvog gašenja koksa, prilikom proizvodnje elika, može se dobiti oko 0.5 tona vodene pare (480 °C, 60 bara) po toni koksa što ekvivalentno je 1.5 GJ energije po toni koksa, koja se može iskoristiti za proizvodnju električne energije [13]. Energetska efikasnost pri proizvodnji elika zavisi od veličine visokih temperaturi. Veličine temperature i imaju veliku efikasnost od manjih, zbog manjih gubitaka toplote usled manjeg odnosa površine prema zapremini. U Kini emisija CO₂ bi se umanjila za 37 Mt/god, povećanjem efikasnosti temperature i [14]. Dimni gasovi iz visokih temperatura mogu služiti za dobijanje pare i električne energije (kogeneracija). Ukoliko je temperatura dimnih gasova dovoljno visoka može se generisati vodena para dovoljno visokog pritiska za pokretanje protiv-pritisnih turbina, dovodeći do smanjenja potrošnje električne energije. Smatra se da je moguće smanjenje emisije CO₂ u ovoj oblasti industrije od 220 do 360 MtCO₂/god [15].

Kad je u pitanju industrija mineralnih materijala, za proizvodnju cementa se troši negde oko 8 EJ energije ili 70 do 80% od ukupne energije koja se koristi u ovoj grani industrije. Ova industrija je znatno izvor emisije CO₂ oko 1.8 Gt CO₂ u 2005. godini [16]. Kina je najveći proizvođač cementa. Srednja energetska efikasnost proizvodnje cementa se svuda povećala u poslednjim decenijama. Najznačajniji porast energetske efikasnosti je u Kini, zbog njenog velikog

industrijskog rasta. Drugi mineralni materijali, kao što su kremena ploča, staklo, cigla i keramički proizvodi, troše negde od 20 do 30% energije u ovoj grani industrije i odgovorni su za oko 20% CO₂ emisije [17]. Energetski najintenzivniji deo mineralnih materijala industrije predstavlja proizvodnja keramičkih materijala. Industrija mineralnih materijala je odgovorna za 10% ukupne industrijske upotrebe energije i značajne emisije CO₂, i to najviše pri proizvodnji cementa i kremene ploče [18]. Emisija CO₂ od strane ove industrije je negde oko jedne petrtine ukupne emisije CO₂ od strane proizvodnih industrija. Cement se puno koristi kao konstrukcioni materijal. Kina je najveća proizvodnja građevinskih materijala u svetu, oko 50% ukupne svetske proizvodnje nalazi se u njoj [19]. U Japanu se nalaze postrojenja koja imaju jednu od energetski najefikasnijih tehnologija za proizvodnju cementa. Jedna od mogućnosti za povećanje energetske efikasnosti je upotreba neiskorištenih toploća za proizvodnju električne energije. Na primer, postrojenja za proizvodnju cementa u Japanu proizvode oko 10% njihove potrebe za električnom energijom pomoću kombinovane proizvodnje toploće i električne energije [20]. Kina razvija tehnologiju za proizvodnju električne energije od neiskorištenih toploća i smatra se da je ovaj potencijal negde od 35 do 40 kWh/t klinkera koji je među uproizvod pri proizvodnji cementa [21]. Iako postoji velika mogućnost za povećanje energetske efikasnosti pomoći u kogeneracije, do sada je jedino Japan iskoristio ovu mogućnost. Korišćenje alternativnih goriva u industriji cementa omogućava smanjenje cene proizvodnje, raspolažanje otpadom, smanjenje CO₂ emisije i korišćenja fosilnih goriva. U većini zemalja potrošnja električne energije po toni cementa je između 90 i 120 kWh [22].

Industrija celuloze, papira i štampe koristi malu deo energije koja se koristi u industriji. Ova industrija je trošila negde oko 6.45 EJ energije u 2004. godini, što predstavlja negde oko 5.7% ukupne energije koja se troši u industriji [23]. Pri proizvodnji celuloze i papira, skoro polovina energije koja se troši se dobija iz ostataka biomase i korišćenjem kombinovane proizvodnje toploće i električne energije. Zbog korišćenja bioenergije, emisija CO₂ nije visoka, ali i potencijal za smanjenje emisije CO₂ je ograničen. Postoji velika razlika u potrošnji energije pri proizvodnji celuloze i papira u razliitim državama, zbog različitih faktora kao što su procesi koji se koriste, veličina postrojenja, tehnologija koja se upotrebljava, kvalitet sirovina, cena goriva i privrženost menadžmentu za povećanje energetske efikasnosti. Korišćenje viške toploće na efikasniji način može dovesti do znatnih ušteda. Tako je, povećanje reciklovanja papira je jedan od načina za smanjenje potrošnje energije u ovoj industriji. Efikasnost korišćenja topotne energije se značajno

poveala između 1990. i 2003. godine, ali i dalje postoji potencijal za unapređenje enjima od 14%, ako bi se koristila najsavremenija tehnološka dostignuća [24]. Potencijal za povećanje energetske efikasnosti u industriji celuloze i papira iznosi oko 1 EJ/god, za veću reciklažnu brzinu i kogeneraciju ukupni potencijal za uštedu bi mogao dostići od 2.1 do 2.4 EJ/god [25]. Pošto se u ovoj industriji koristi velika količina vodene pare, kombinovana proizvodnja toplote i električne energije predstavlja poželjnu tehnologiju. Većina modernih mlinova za papir ima svoju sopstvenu kogeneracionu jedinicu. Za razliku od drugih industrija, koja su veliki potrošači energije, značajne količine toplote i električne energije se dobijaju iz sopstvenih energana. Pri proizvodnji celuloze, električna energija koja se troši, skoro se 90% pretvara u toplotu, tako da postoji velika mogućnost za prevođenje neiskorišćene toplote u električnu energiju [26]. Povezivanjem procesa pri proizvodnji celuloze postoji veliki potencijal za kombinovanu proizvodnju toplote i električne energije. Uvođenje kombinovane proizvodnje toplote i električne energije, dovodi do smanjenja upotrebe goriva od 10 do 20% [27]. U Tabeli 1.2 su prikazani procenjena upotreba kombinovane proizvodnje toplote i električne energije, u odnosu na ukupne zahteve za električnom energijom, za proizvodnju celuloze i papira u nekoliko država u 2003. godini [28].

Tabela 1.2 Prikaz korišćenja kombinovane proizvodnje toplote i električne energije u industriji celuloze i papira, u različitim zemljama u 2003. godini

Zemlja	Procenjena upotreba kombinovane proizvodnje toplote i električne energije, %
Kanada	19
Finska	32
Francuska	18
Nemačka	27
Italija	26
Španija	61
Švedska	22
Velika Britanija	40

Kako bi postigao najveći stepen optimizacije efikasnosti, kombinovano postrojenje za proizvodnju toplote i električne energije treba da bude projektovano tako da obezbedi zahteve za toplotom. U mnogim slučajevima ovo nije najekonomičnija alternativa zato što cena električne energije ne

opravdava dodatne investicije. U poređenju sa drugim industrijama, korištenje kombinovane toplote i električne energije u industriji celuloze i papira je visoko. Ako se uzmu u obzir zemlje koji su najveći proizvođači celuloze i papira, smatra se da se kogeneracijom proizvodi između 20 i 50% električne energije koja se koristi u proizvodnji [29]. Istraživanja su pokazala da se povremeno upotrebe kogeneracije može uštedeti između 0.3 i 0.6 EJ energije [29].

Više od polovine energije koja se troši za proizvodnju neobojenih metala se upotrebljava za proizvodnju aluminijuma. Topionice aluminijuma potrošile su oko 1.7 EJ električne energije u 2004. godini ili oko 3.5% svetske potrošnje električne energije [30]. Srednja potrošnja električne energije po toni aluminijuma je opala u poslednjih dvadeset pet godina. Upotrebom najsavremenijih tehnoloških dostignućija smanjenje energije pri proizvodnji aluminijuma može biti između 6 i 8% [30]. Velika količina aluminijuma se reciklira. Primarna proizvodnja aluminijuma je dvadeset puta energetski zahtevnija nego proizvodnja reciklažom. Najveća potrošnja energije u postrojenjima za proizvodnju aluminijuma je pri proizvodnji vodene pare, koja se koristi u glavnom procesu prerade. Zbog velikog zahteva za vodenom parom, moderna postrojenja koriste sisteme za dobijanje kombinovane toplote i električne energije. Na primer, u postrojenjima za dobijanje aluminijuma u Australiji srednja potrošnja goriva je 11 GJ/t aluminijuma, a ona se može smanjiti na 9.5 GJ/t aluminijuma boljom energetskom integracijom i poboljšanjem kogeneracionog sistema [31].

Procenjuje se da je potencijal za unapredovanje potrošnje energije pri proizvodnji vodene pare u industriji od 10 do 15% [32]. Kombinovana proizvodnja toplote i električne energije je dokazana strategija za smanjenje emisije gasova koji izazivaju efekat staklene baštice u industriji. Ukupno, kombinovana proizvodnja toplote i električne energije daje oko 10% ukupne proizvodnje električne energije u svetu [32]. Moguća ušteda energije pomoći u kombinovane proizvodnje toplote i električne energije iznosi oko 5 EJ/god, što je negde oko 3 do 4% svetske industrijske potrošnje energije [32]. Optimizacijom sistema vodene pare može doći do generisanja viška pare koja se može upotrebiti za kogeneraciju. Period povratak uloženih sredstava za projekt optimizacije sistema je obično kratak.

Kogeneracija se upotrebljava više od jednog veka u industrijama širom sveta. Mechanizma energija koja se dobija glavnom se koristi za pokretanje turbo generatora za proizvodnju električne energije, ali se takođe može upotrebljavati za pokretanje druge opreme, kao što su kompresori i

pumpe. Toplotna energija sistema se direktno koristi u procesima, kao što su grejanje i sušenje. Kombinovana proizvodnja toplove i električne energije ima nekoliko prednosti u odnosu na sisteme koji proizvode samo električnu ili samo termičku energiju. Sistem kombinovane proizvodnje toplove i električne energije troši tri ekvivalentne energije koja je potrebna za rad odvojenog sistema proizvodnje električne energije i toplove. Kogeneracija je glavna strategija za smanjenje CO₂ emisije. Ona može dovesti do velikih ušteda tamo gde je razlika u ceni između prirodnog gasa (i drugih goriva) i električne energije dovoljno velika. Ukupna efikasnost kogeneracije za sistem koji se bazira na gasnim turbinama iznosi u 1 i 40 MW, iznosi od 70 do 75%, za odnos snage prema toplovi od 0.5-1 [33]. Danska, Finska i Holandija uveliko prelaze na kombinovanu proizvodnju toplove i električne energije, a nekoliko zemalja ima veliki potencijal za povećanje upotrebe kogeneracije. Količina električne energije koja je proizvedena kogeneracijom se povećava i iznosi više od 6 EJ/god, što je više od 10% ukupne svetske proizvodnje električne energije, a količina toplove koja se dobija kogeneracijom iznosi između 5 do 15 EJ/god, što predstavlja znatan udio za industriju [33].

2.2 Metode za energetsku integraciju procesa

Energetska integracija procesa je predmet istraživanja u poslednjih 50 godina, tokom kojih je razvijen veliki broj metoda koje omogućavaju značajnu uštedu energetskih resursa. Problem energetske integracije procesa u obliku koji se danas koristi prvi su definisali Masso i Rudd 1969. godine, kao postupak projektovanja mreže razmenjivača i toplove između skupa toplih i hladnih procesnih struja [34]. Prema Masso i Ruddu projektovane optimalne mreže razmenjivača i toplove treba da obezbede minimalne godišnje investicionne i operativne troškove procesa.

Prema principima na kojima su zasnovane, metode za energetsku integraciju procesa mogu se podeliti na termodinamičke i matematičke, dok se prema strategiji projektovanja mreže razmenjivača i toplove mogu podeliti na sekvenčne ili simultane. Izdvajanje energetske interacije procesa dovelo je do niza značajnih istraživanja koja mogu biti predstavljena kronološkim redom:

- Ten Broeck (1944.), prvi poznati rad koji razmatra projektovanje mreže razmenjivača i toplove [35],

- Westbrook (1961.), prvo koriš enje matemati kog (dinami kog) programiranja za projektovanje mreže razmenjiva a toplotne [36],
- Hwa (1965.), prvo koriš enje odvojenog programiranja i prvo koriš enje superstrukture za projektovanje mreže razmenjiva a toplotne [37],
- Rudd (1968.), dekompozicija problema procesne sinteze na podprobleme, uklju uju i i problem projektovanja mreže razmenjiva a toplotne [38],
- Masso i Rudd (1969.), prva publikovana definicija problema projektovanja mreže razmenjiva a toplotne [34],
- Kesler i Parker (1969.), publikovali su prvu metodu za projektovanje mreža razmenjiva a toplotne [39],
- Hohmann-ova doktorska teza (1971.). Hohmann-Lockart-ove kompozitne krive omogu avaju prora un minimalnih zahteva za grejanjem i hla enjem procesa. Tako e, pravilo da je minimalan broj ure aja jednak broju procesnih struja umanjenim za jedan uvedeno je ovom doktorskom disertacijom. Ovom tezom postavljena je osnova za razvoj Pinch metode. Interesantno je spomenuti da je Hohmann dva puta pokušao da publikuje rad iz svoje doktorske teze i bio je odbijen [40],
- Mchalliard i Westerberg (1972.), prvi rad koji uklju uje senzitivni pristup projektovanja mreže razmenjiva a toplotne [41],
- Umeda i autori (1978.) [42] i Linnhoff i Flower (1983.) [43,44]. Parovi za minimalnu potrošnju pomo nih struja i minimalni broj ure aja su matemati ki formulisani koriste i " transshipment" model,
- Cerda i autori (1983.) [45] i Cerda i Westerberg (1983.) [46]. Problemi sa minimalnim brojem pomo nih struja i minimalnim brojem parova su matemati ki formulisani koriste i transportni model,
- Papoulias i Grossmann (1983.). Problemi se minimalnim brojem pomo nih struja i minimalnim brojem parova su matemati ki formulisani koriste i " transshipment " model [47],
- Linnhoff i Vredenburg (1984.), prvi rad u kome je prikazana metoda koja razmatra preure enje postoje e mreže razmenjiva a toplotne [48],
- Tjoe i Linnhoff (1986.), objavljena je metoda bazirana na metodi "Pincha" za preure enje postoje e mreže razmenjiva a toplotne [49],

- Li i Motard (1986.), razvijaju metodu za određivanje optimalne vrednosti minimalne razlike temperatura. Ova metoda je poznata pod imenom "Supertargeting" [50],
- Floudas i autori (1986.), razvoj ravnarskog programa za automatizovano projektovanje mreža razmenjiva a toplote [51],
- Rev i Fonyo (1986.), identifikovali su pseudo-pinch taku [52,53],
- Jones (1987.), razvijen vertikalni model za prenos topline pri projektovanju mreža razmenjiva a topline [54],
- Yuan i autori (1989.) [55], Yee i Grossmann (1990.) [56] i Ceric i Floudas (1991.) [57], predložena je potpuna simultana formulacija za projektovanje mreže razmenjiva a topline.

U sledećoj tački ovog poglavlja dat je pregled najznačajnijih termodinamičkih i matematičkih metoda za energetsku integraciju procesa.

2.3 Termodinamičke metode za projektovanje mreže razmenjiva a topline

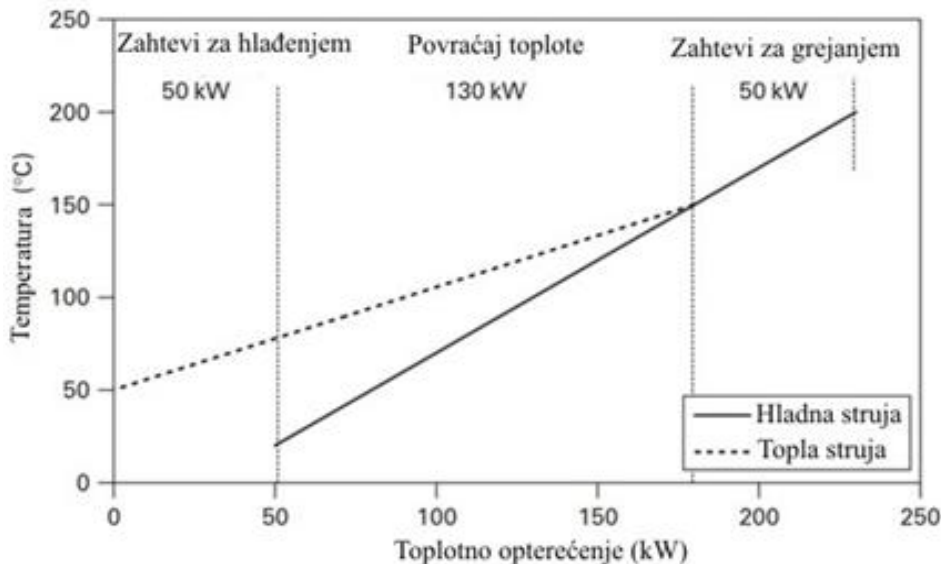
"Pinch" metoda je razvijena po etkom sedamdesetih godina XX veka na "ETH" u Zurih-u i Univerzitetu u Leeds-u [43, 44]. Kompanija "ICI plc" prepoznala je mogućnosti ove tehnologije i vrlo brzo je uspostavljen istraživački tim za razvoj i njenu primenu. Metoda je postigla veliki uspeh pri projektovanju optimalne mreže razmenjiva a topline u rafinerijskoj i petrohemijskoj industriji [58]. Navedena metoda spada u grupu sekvencionalnih metoda, jer se sastoji iz niza uzastopnih koraka koji dovode do projektovanja optimalne mreže razmenjiva a topline. Koraci "Pinch" metode su:

- i) određivanje minimalnih potreba za grejanjem i hlađenjem,
- ii) određivanje operativnih troškova, odnosno optimalnog kvaliteta pomognutih struja,
- iii) određivanje kapitalnih troškova,
- iv) određivanje optimalne vrednosti minimalne razlike temperature,
- v) projektovanje mreže razmenjiva a topline.

2.3.1 Određivanje minimalnih potreba za hlađenjem i grejanjem u procesu

Koncept "Pinch" metode zasniva se na temperaturno - entalpijskom profilu procesnih struja koje je potrebno hladiti, odnosno grejati. Radi lakšeg formulisanja problema, koncept uvodi sledeće

termine: (i) topla procesna struja predstavlja procesnu struju koju je potrebno hladiti i (ii) hladna procesna struja predstavlja procesnu struju koju je potrebno grejati. Na Slici 2.1 prikazan je temperaturno – entalpijski profil jedne tople i jedne hladne procesne struje.

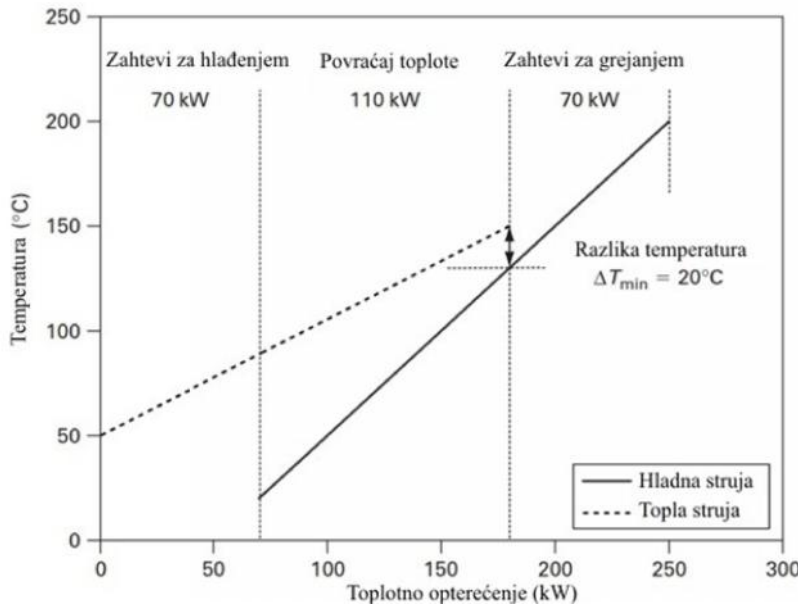


Slika 2.1 Temperaturno - entalpijski profili tople i hladne procesne struje

Slika 2.1 ukazuje da je od tople struje potrebno ukloniti 180 kW, dok je hladnoj struji potrebno dodati 180 kW. Na osnovu energetskog bilansa proizilazi da topla struja može kompletno da zgreje hladnu struju. To je praktično neizvodljivo jer se termi ka ravnoteža uspostavlja nakon razmene 130 kW. Vrednost temperature na kojoj je uspostavljena termi ka ravnoteža, naziva se temperatura "Pincha". Sa dijagrama koji je prikazan na Slici 2.1, može se utvrditi da su potrebe za hlađenjem tople struje 50 kW, dok su potrebe za grejanjem hladne struje 50 kW.

Diagram prikazan na Slici 2.1 ukazuje koliki su minimalni zahtevi za grejanjem i hlađenjem, kao i kolika se količina toplote može razmeniti između toplih i hladnih struja kada je uspostavljena termi ka ravnoteža tj. kada je razlika temperature u tački "Pincha" jednaka nuli. U slučaju kada je razlika temperatura jednaka nuli, razmenjiva toplota za maksimalnu razmenu toplote imao bi beskonечnu površinu, što je sa ekonomskog stanačnika neprihvatljivo. Iz tog razloga uvedena je veličina koju nazivamo "minimalna razlika temperature" kojom je određena minimalna razlika temperature tople i hladne struje u tački "Pincha". Na Slici 2.2 prikazan je temperaturno -

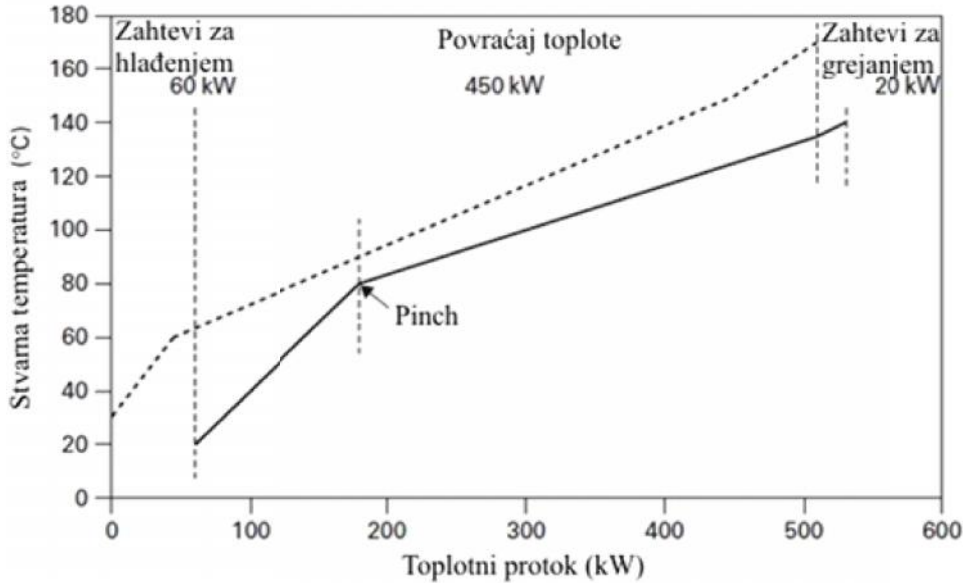
entalpijski profil tople i hladne struje pri minimalnoj razlici temperatura u ta ki "Pincha" od 20°C .



Slika 2.2 Temperaturno - entalpijski profil tople i hladne struje za minimalnu razliku temperature od 20°C

Pore enjem Slika 2.1 i 2.2, može se videti da pove anje minimalne razlike temperatura u ta ki "Pincha" dovodi do smanjenja razmene topline, me utim, s druge strane smanjuje se površina potrebna za toplotnu razmenu što uti e na ekonomski karakteristike sistema. U daljem tekstu, prikazan je uticaj vrednosti minimalne razlike temperatura na vrednosti operativnih i kapitalnih troškova mreže razmenjiva a topline, kao i postupak njenog odre ivanja.

Koncept koji je prikazan za jednu toplu i jednu hladnu struju, može se uopštiti za N toplih i N hladnih struja (Slika 2.3), tako što se sumiraju sve koli ine toplate toplih i hladnih struja koje se nalaze u okviru odre enog entalpijskog intervala. Na ovaj na in se konstruiše po jedna kriva za tople i hladne struje u temperaturno - entalpijskom diagramu. Krive konstruisane na ovaj na in nazivaju se "kompozitne krive".



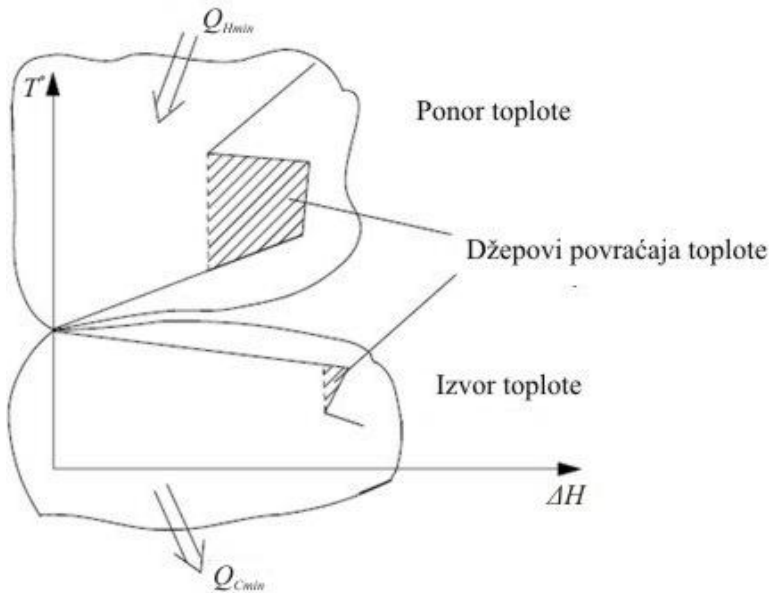
Slika 2.3 Temperaturno – entalpijski profili skupa toplih i hladnih procesnih struja

Diagrami temperatura – entalpija prikazani na Slikama 2.1, 2.2 i 2.3 ukazuju da je korišenjem kompozitnih krivih moguće odrediti minimalne potrebe za grejanjem i hlaenjem sistema za određenu minimalnu razliku temperatura. Grafi koji određuju minimalnih zahteva za grejanjem i hlaenjem prikladna je za demonstraciju koncepta, međutim, ona nije prikladna za praktičnu primenu. Iz tog razloga, razvijen je numerički algoritam temperaturnih intervala koji omogućuje određivanje minimalnih zahteva za grejanjem i hlaenjem bez konstrukcije grafika [59,60].

2.3.2 Određivanje operativnih troškova

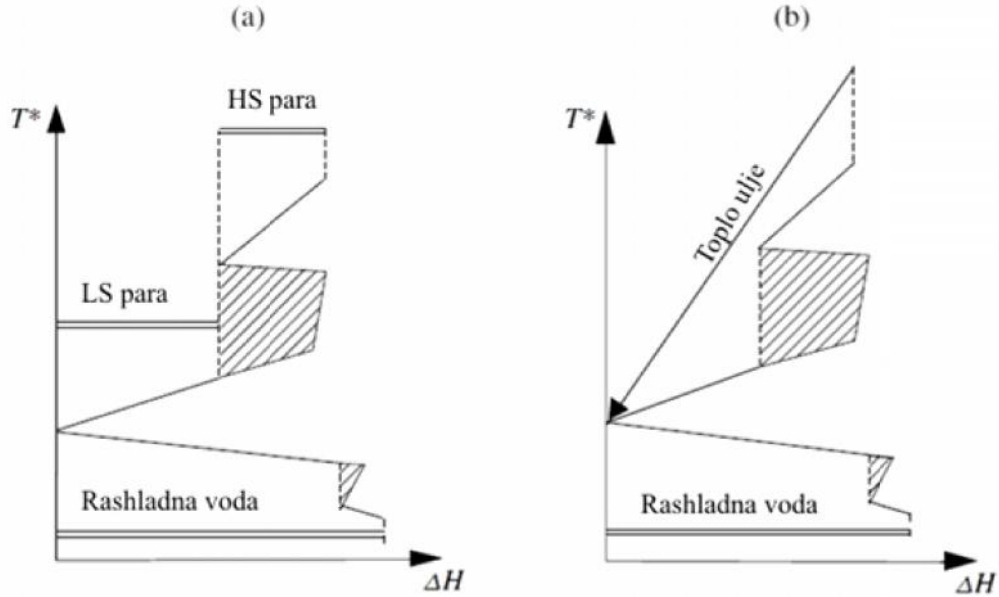
Nakon određivanja minimalnih potreba za hlaenjem i grejanjem procesa, potrebno je odrediti pomoćne struje koje ove potrebe obezbeđuju. Vodena para se najčešće upotrebljava kao topla pomoćna struja. Znajuća karakteristika vodne pare je da se može uspostaviti na više različitih nivoa temperature i pritiska. Visoke temperature na koje je potrebno zagrijati hladne struje zahtevaju upotrebu vode ili sistema toplog ulja. Hladne pomoći struje mogu biti voda, vazduh, rashladni fluidi itd.

Za određivanje odgovarajućih pomoćnih struja za dati proces konstruišu se tzv. "ukupne kompozitne krive" [61,62,63]. Procedura određivanja ukupne kompozitne krive zasniva se na unošenju kolичina topline koje se prenese kroz svaki temperaturni interval u diagramu temperatura – entalpija. Ukupna kompozitna krvna linija prikazana je na Slici 2.4.



Slika 2.4 Ukupna kompozitna kriva

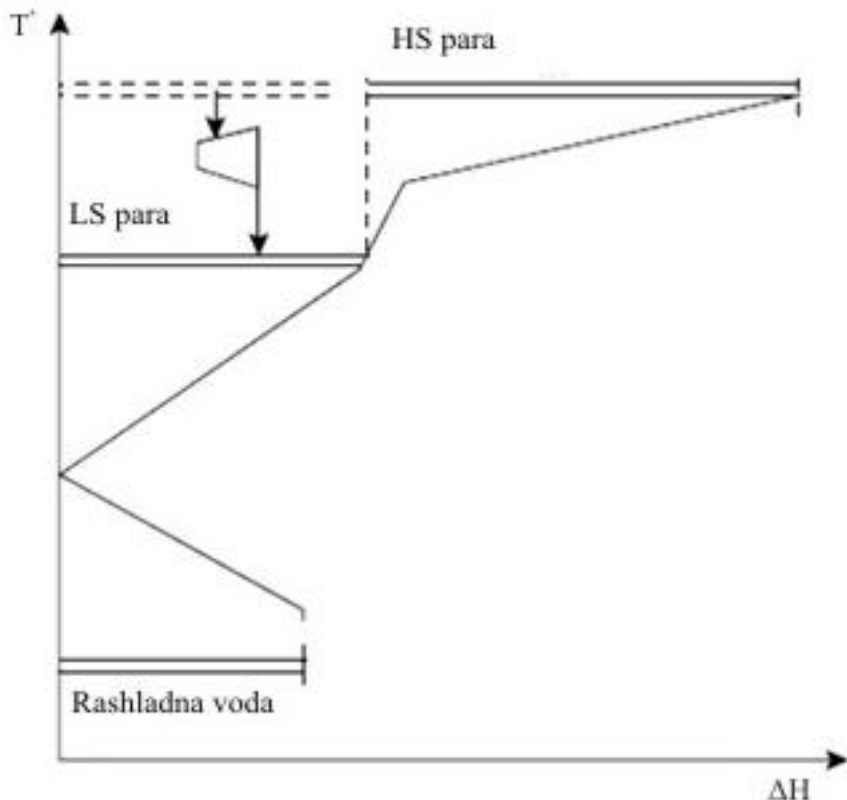
Treba imati na umu da profil ukupne kompozitne krive predstavlja toplotu koja preostaje nakon razmene toplote u svakom od temperaturnih intervala. Na ukupnoj kompozitnoj krivoj lako se uoči pozicija "Pincha" (tačka na diagramu u kojoj je $H=0$), kao i minimalni zahtevi za grejanjem (Q_{Hmin}) i hlađenjem (Q_{Cmin}). Deo iznad "Pincha" predstavlja deo ukupne kompozitne krive kojem se predaje toplota, pa se naziva ponor topline, a deo ukupne kompozitne krive ispod "Pincha" predstavlja deo u kom se toplota odaje, pa se naziva izvor topline. Osim delova ukupne kompozitne krive na Slici 2.4 predstavljaju mogunosti za razmenu toplote između procesnih struja (džepovi povraćaja topline). Na Slici 2.5 prikazana je ukupna kompozitna kriva sa pomoćnim strujama. Slika 2.5a prikazuje ukupnu kompozitnu krivu procesa sa vodenom parom na niskom (LS) i visokom pritisku (HS) kao toplim pomoćnim strujama i rashladnom vodom kao hladnom pomoćnom strujom. Slika 2.5b prikazuje ukupnu kompozitnu krivu procesa sa toplim uljem kao toplom pomoćnom strujom i rashladnom vodom kao hladnom pomoćnom strujom. Koja je od prikazanih opcija (Slika 2.5) najadekvatnija zavisi od ekonomskih i ekoloških faktora.



Slika 2.5 Ukupna kompozitna kriva sa pomo nim strujama

Osen eni delovi na Slikama 2.5a i 2.5b predstavljaju mogu nosti za razmenu topote izme u procesnih struja (džepovi povra aja topote). Važno je napomenuti da se optimalne vrste i koli ine pomo nih struja, odnosno operativni troškovi gore prikazanom procedurom, odre uju za specifi nu minimalnu razliku temperatura.

Za temperature ispod 400°C vodena para kao pomo na struja ima prednosti, zbog mogu nosti proizvodnje elektri ne energije tokom procesa proizvodnje vodene pare odre enog kvaliteta. Naime, vodena para se generiše u kotlovima sagorevanjem fosilnih goriva. Proizvedena vodena para je veoma visokog pritiska od 45 bar do 100 bar. Vodena para razli itih temperatura zasi enja proizvodi se propuštanjem pare kroz turbine ili “let down” stanice. Upotreba turbin je adekvatnija alternativa, s obzirom da se tokom ovog procesa generiše osovinski rad koji se elektri nim generatorima prevodi u elektri nu energiju. Šematski prikaz generisanja elektri ne energije prikazan je na Slici 2.6 [63]. Para visokog pritiska se propušta kroz turbinu do pare niskog pritiska i prtom se generiše elektri na energija.



Slika 2.6 Integracija parnih turbina u procesu

Nakon određivanja adekvatnih pomoćnih struja moguće je odrediti operativne troškove procesa iz sledeće jednačine:

$$OT = m_{goriva} \cdot C_{goriva} - P_{el} \cdot C_{elcena} \quad (2.1)$$

gde su: OT – operativni troškovi, m_{goriva} – maseni protok goriva, C_{goriva} – cena goriva, P_{el} – proizvedena elektrana energija, C_{elcena} – cena elektrane energije na tržištu.

2.3.3 Određivanje minimalnih kapitalnih troškova mreže razmenjiva a toplotne

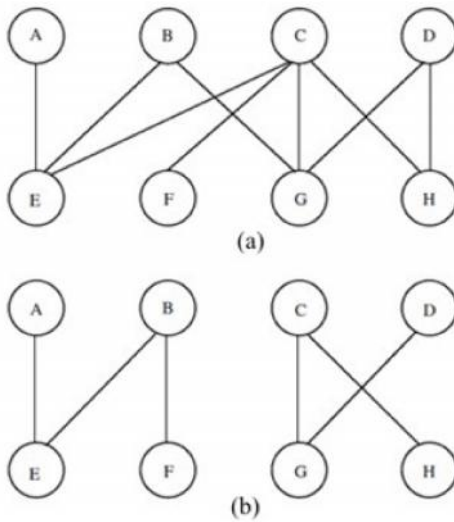
Nakon određivanja minimalnih operativnih troškova, da bi se projektovala optimalna mreža razmenjiva a toplotne potrebno je odrediti minimalne kapitalne troškove.

Osnovne komponente koje doprinose kapitalnim troškovima mreže razmenjiva a toplotne su: (i) broj uređaja (parovi između toplih i hladnih struja) i (ii) površina za topotnu razmenu.

U ovom delu biće prikazan postupak kojim se određuju navedene komponente kapitalnih troškova upotrebom kompozitnih krivih procesa.

2.3.3.1 Broj ure aja za razmenu toplote

Kako bi prikazali način određivanja minimalnog broja ure aja u mreži razmenjiva toplove, koristiemo osnove teorije grafova [64,65]. Graf predstavlja bilo koji skup tačaka u kome su neki parovi tačaka povezani linijama. Na Slici 2.7a i 2.7b data su dva primera grafova koji prikazuju razmenu toplote između toplih i hladnih struja.



Slika 2.7 Šematski prikaz razmene toplote između toplih i hladnih struja

Tačke sa grafa odgovaraju procesnim i pomoćnim strujama, dok linije predstavljaju razmenu toplote između toplih i hladnih struja. Putanja predstavlja niz zasebnih linija koje su međusobno povezane. Na Slici 2.7a, linije između (tačka A) AECGD predstavljaju putanju. Graf formira jednu komponentu, ako se bilo koje dve tačke mogu spojiti putanjom. Slika 2.7b ima dve komponente, dok Slika 2.7a ima samo jednu. Petlja predstavlja putanju koja počinje i završava se u istoj tački, na primer CGDHC, na Slici 2.7a. U slučaju da dve petlje imaju zajedničku liniju, one se mogu povezati tako da formiraju treću petlju brisanjem zajedničke linije. Na Slici 2.7a to su petlje BGCEB i CGDHC, koje se mogu povezati dajući petlju BGDHCEB. U ovom slučaju kažemo da je treća petlja zavisna od druge dvije.

Broj ure aja na osnovu teorije grafova, dobija se upotrebom sledeće jedne ina [64]:

$$N_{ure\dot{e}aja} = S + L - C \quad (2.2)$$

gde su: $N_{ure\dot{e}aja}$ – broj parova ili ure aja (linija u teoriji grafa), S – broj struja uklju uju i pomo ne struje (ta ke u teoriji grafa), L – broj nezavisnih petlji, C – broj komponenti.

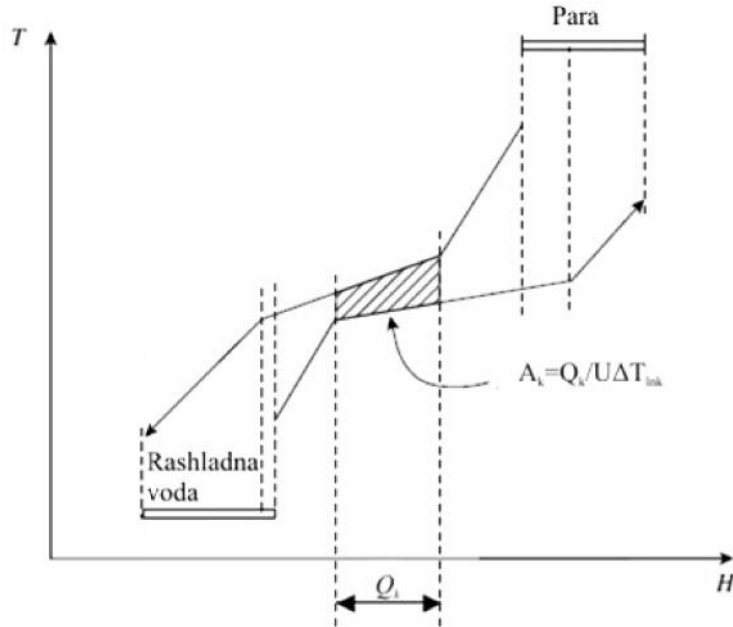
Krajnja konfiguracija mreže treba da sadrži najmanji broj ure aja da bi se smanjili kapitalni troškovi, iako ova komponenta nije jedina koja uti e na kapitalne troškove. Da bi broj ure aja sveli na minimalan, potrebno je da nema nezavisnih petlji ($L=0$), dok broj komponenata treba da bude maksimalan. Me utim, najjednostavnija pretpostavka je da postoji samo jedna komponenta, odnosno da je $C=1$. Sada dolazimo do specijalnog slu aja kada mreža ima jednu komponentu i kada je $L=0$ i on se može predstaviti sledećim izrazom [64,65]:

$$N_{ure\dot{e}aja} = S - 1 \quad (2.3)$$

Jedna ina (2.3) ukazuje da je zahtevani minimalni broj ure aja manji za jedan od ukupnog broja struja, uklju uju i i pomo ne struje.

2.3.3.2 Odre ivanje površine za razmenu toplove

Pomo u kompozitnih krivih možemo proceniti površinu za razmenu toplove mreže razmenjiva a toplove. Da bi izra unali površinu mreže pomo u kompozitnih krivih, pomo ne struje moraju biti uklju ene sa procesnim strujama u kompozitne krive, pri emu se dobijaju tzv. uravnotežene kompozitne krive [65]. Rezultuju a uravnotežena kompozitna kriva ne bi trebalo da ima dodatne zahteve za pomo nim strujama. Uravnoteženene kompozitne krive su podeljene na vertikalne entalpijske intervale, kao što je prikazano na Slici 2.8.



Slika 2.8 Uravnotežene kompozitne krive i odgovarajući entalpijski intervali

Na Slici 2.8 Q_k - predstavlja toplotu koja se razmenjuje u datom entalpijskom intervalu k_{ei} , A_k - predstavlja površinu za razmenu topote u okviru datog entalpijskog intervala k_{ei} , U - je ukupni koeficijent prenosa topote, a T_{lnk} - je srednja logaritamska razlika temperatura za dati entalpijski interval k_{ei} . Ako se prepostavi da je ukupni koeficijent prenosa topote u procesima konstantan i da se prenos topote odvija u suprotno - strujnim razmenjiva ima topote, tada je zahtevana površina za entalpijski interval k_{ei} data sledećim izrazom [64,65]:

$$A_{MREŽE,k_{ei}} = \frac{\Delta H_{k_{ei}}}{U \Delta T_{lnk_{ei}}} \quad (2.4)$$

gde su: $A_{MREŽE,k_{ei}}$ - površina za topotnu razmenu za vertikalni prenos topote u entalpijskom intervalu k_{ei} , $H_{k_{ei}}$ - promena entalpije u entalpijskom intervalu k_{ei} , $T_{ln,k_{ei}}$ - srednja logaritamska razlika temperature za entalpijski interval k_{ei} i U - ukupni koeficijent prenosa topote. Ukupna površina za razmenu topote svih entalpijskih intervala se određuje sledećim jednom [64,65]:

$$A_{MREŽE} = \frac{1}{U} \sum_{k_{ei}}^{intervala K_{ei}} \frac{\Delta H_{k_{ei}}}{\Delta T_{lnk_{ei}}} \quad (2.5)$$

gde su: $A_{MREŽE}$ – površina za topotnu razmenu za vertikalni prenos toplotne za celu mrežu, K_{ei} – ukupan broj entalpijskih intervala.

Uticaj koeficijenata prenosa pojedinih struja se može prikazati sledećim izrazom [65,66]:

$$A_{MREŽE} = \sum_{k_{ei}}^{intervala K_{ei}} \frac{1}{\Delta T_{lnk_{ei}}} \left[\sum_i^{tople struje i} \frac{q_{i,k_{ei}}}{h_i} + \sum_j^{hladne struje j} \frac{q_{j,k_{ei}}}{h_i} \right] \quad (2.6)$$

gde su: $q_{i,k_{ei}}$ – količina toplotne koju može da oda topla struja i u entalpijskom intervalu k_{ei} , $q_{j,k_{ei}}$ – količina toplotne koju može da prihvati hladna struja j u entalpijskom intervalu k_{ei} , h_i , h_j – koeficijenti prenosa za toplu struju i i hladnu struju j (uključujući i zid i otpor one išenja), I – ukupan broj toplih struja u entalpijskom intervalu k_{ei} , J – ukupan broj hladnih struja u entalpijskom intervalu k_{ei} i K_{ei} – ukupan broj entalpijskih intervala.

Jedna ina (2.6) omogućava određivanje površine mreže razmenjiva a toplotne na osnovu vertikalnog modela razmene toplotne, ako se koeficijenti prenosa razlikuju od struje do struje. Ukoliko postoje velike razlike koeficijenata prenosa, jedna ina (2.6) ne predviđa stvarnu minimalnu površinu mreže. Ukoliko je razlika koeficijenata prenosa između struja veoma velika tada je potrebno nevertikalno povezivanje da bi se dobila minimalna površina. Uprkos ovim nedostacima metoda za određivanje površine, data jedna ina (2.6), se može upotrebljavati za procenu kapitalnih troškova.

2.3.3.3 Izračunavanje ukupnih kapitalnih troškova

Da bi predviđeli ukupne kapitalne troškove mreže razmenjiva a toplotne, prepostavlja se da se cena koštanja jednog razmenjiva a toplotne sa površinom za razmenu A , može prikazati sledećim izrazom:

$$Instalirani kapitalni troškovi razmenjiva a = a + b \cdot A^c \quad (2.7)$$

gde su: a , b , c – konstante koštanja koje variraju u zavisnosti od konstrukcionog materijala, pritiska i tipa razmenjiva a.

Kada se određuje cena, raspodela površina između razmenjiva a mreže je nepoznata. Da bi se odredila cena mreže pomoću jednačine (2.7), određena raspodela površina mora biti

prepostavljena. Najjednostavniji način raspodele površina je da svi razmenjiva i imaju istu površinu. Tako da se kapitalni troškovi mreže mogu prikazati sledećim izrazom:

$$KP = N \left[a + b \left(\frac{A_{mreže}}{N} \right)^c \right] \quad (2.8)$$

gde je: N – broj jedinica ili omota, a , u zavisnosti što je pogodnije.

2.3.4 Određivanje optimalne vrednosti minimalne razlike temperature

Operativni i kapitalni troškovi se izrađuju unavaju za razlike vrednosti minimalne razlike temperature. Za optimalnu minimalnu razliku temperatura se bira ona za koju je zbir operativnih i kapitalnih troškova minimalan. Sa promenom minimalne razlike temperature T_{min} menjaju se operativni i kapitalni troškovi razmenjiva a toplove. Povećanjem T_{min} smanjuju se kapitalni troškovi, ali se povećavaju operativni troškovi, dok se smanjenjem povećavaju kapitalni, a smanjuju operativni troškovi. Da bi se projektovala optimalna mreža razmenjiva a toplove potrebno je da suma operativnih i kapitalnih troškova bude minimalna, odnosno potrebno je odrediti T_{min} za koje imamo kompromis između energetskih i kapitalnih troškova, odnosno za koje su ukupni troškovi minimalni. Funkcija cilja za određivanje minimalne razlike temperature može se definisati kao:

$$\min \left(OP + \frac{KP}{OLP} \right) \quad (2.9)$$

gde je: OLP – procenjeni životni vek postrojenja

2.3.5 Projektovanje mreže razmenjiva a toplove

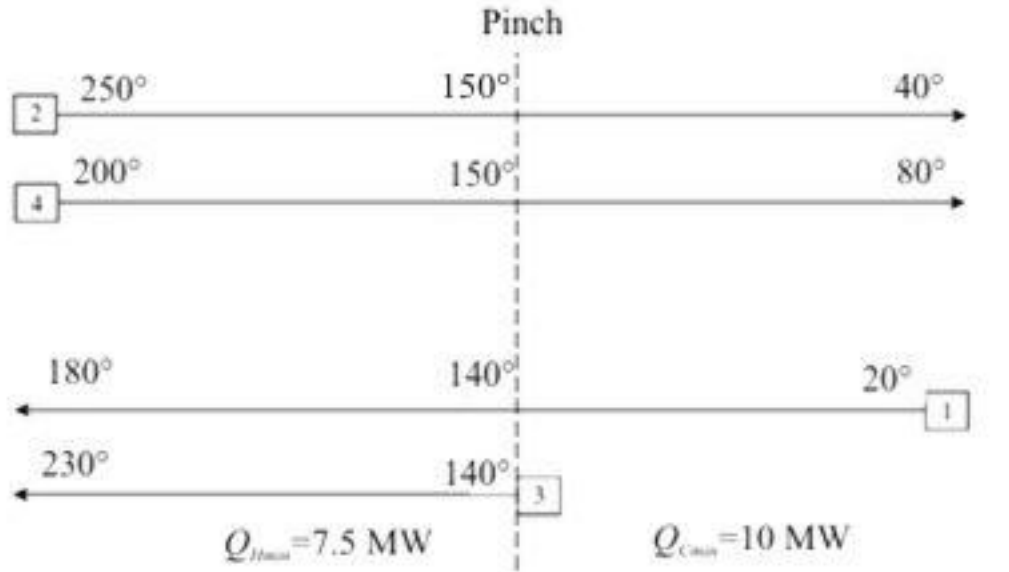
Nakon određivanja ciljeva, odnosno minimuma karakterističnih vrednosti za mrežu razmenjiva a toplove, sledeći korak je projektovanje mreže razmenjiva a toplove.

Osnovna pravila "Pinch" metode upućuju da ukoliko se želi ostvariti maksimalna ušteda energije: toplova ne sme prolaziti kroz "Pinch", odnosno zahtevi za hlađenjem iznad "Pincha" i zahtevi za grejanjem ispod "Pincha" imaju nultu vrednost.

Proces je potrebno podeliti u tako "Pincha" i ovo je potrebno uneti u mrežni diagram, kako je dato Tabelom 2.1 i prikazano Slikom 2.9. Tabelom 2.1 dati su podaci za hladne i tople procesne struje, kao što su tip struje, ulazna temperatura struje, izlazna temperatura struje, količina toplotne koja je potrebna datoj struji za grejanje ili hlađenje, kao i vrednosti vodenih ekvivalenta. Tako je, pretpostavljene vrednosti, za ovaj slučaj, za minimalnim zahtevima za grejanjem i hlađenjem iznose 7.5 MW i 10 MW respektivno. Na Slici 2.9 prikazan je mrežni diagram na kojoj se vidi poletna i krajnja temperatura toplih i hladnih struja, kao i vodeni ekvivalenti za date struje. Tako je, na Slici 2.9 je prikazana lokacija "Pinch", kao i temperature "Pincha" za tople i hladne struje.

Tabela 2.1 Procesni podaci za tople i hladne procesne struje

Tip	Ulagana temperatura, $T_s(^{\circ}C)$	Izlagana temperatura, $T_T(^{\circ}C)$	$H(MW)$	Toplotni kapacitet(MW/C)
Hladna	20	180	32.0	0.2
Topla	250	40	-31.5	0.15
Hladna	140	230	27.0	0.3
Topla	200	80	-30.0	0.25



Slika 2.9 Mrežni diagram procesnih struja

Potrebe za grejanjem iznad ta ke "Pincha" obezbe uju se upotrebom vodene pare (Q_{Hmin}), dok se za potrebe hla enja ispod "Pincha" koristi se rashladna voda (Q_{Cmin}). Onaj deo toplote koji se ne može obezrediti hladnim strujama preko razmene topline sa toplim strujama iznad "Pincha" se obezbe uje upotrebom vodene pare (Q_{Hmin}), a onaj deo topline ispod "Pincha" koji se ne može oduzeti toplim strujama razmenom topline sa hladnim strujama se obezbe uje pomo u rashladne vode (Q_{Cmin}). Metoda "Pincha" uvodi slede e kriterijume projektovanja mreže razmenjiva a topline:

1. U ta ki "Pincha" postoji minimalna razlika temperatura izme u svih toplih i hladnih struja. Na osnovu ovoga, broj izvodljivih parova u ovom regionu je strogo ograni en.
2. Da bi povezivanje toplih i hladnih struja bilo izvodljivo iznad "Pincha", potrebno je da voden ekvivalent hladne struje bude ve i od vodenog ekvivalenta tople struje, odnosno treba da važi slede i izraz [67,68]:

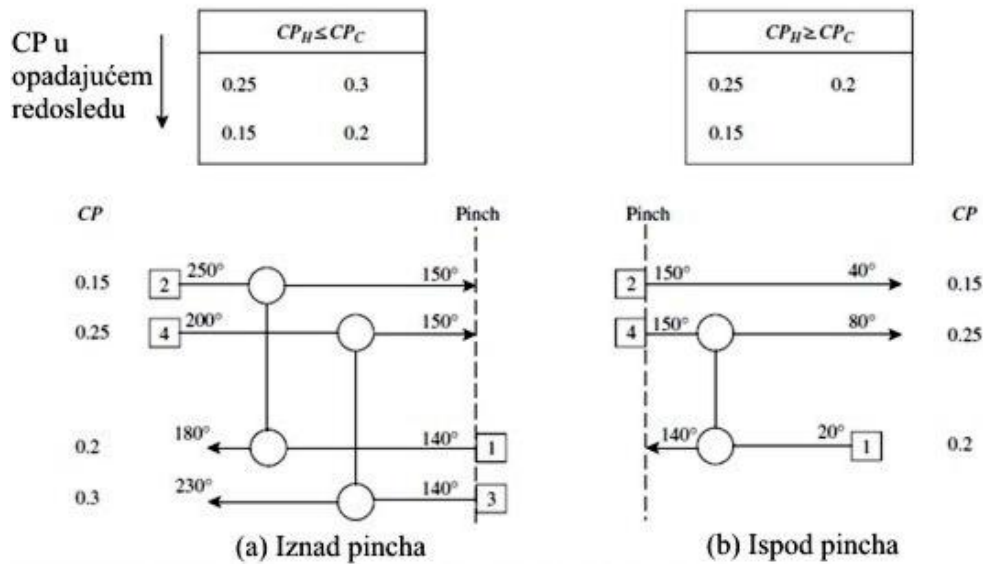
$$CP_H \leq CP_c \quad (2.10)$$

gde su: CP_H - voden ekvivalent tople procesne struje i CP_c - voden ekvivalent hladne procesne struje.

Da bi ispod "Pincha" temperaturna razlika između tople i hladne struje bila veća od T_{min} , potrebno je da vodenii ekvivalent tople struje bude veći od vodenog ekvivalenta hladne struje, odnosno treba da važi sledeći izraz [67,68]:

$$CP_H \geq CP_C \quad (2.11)$$

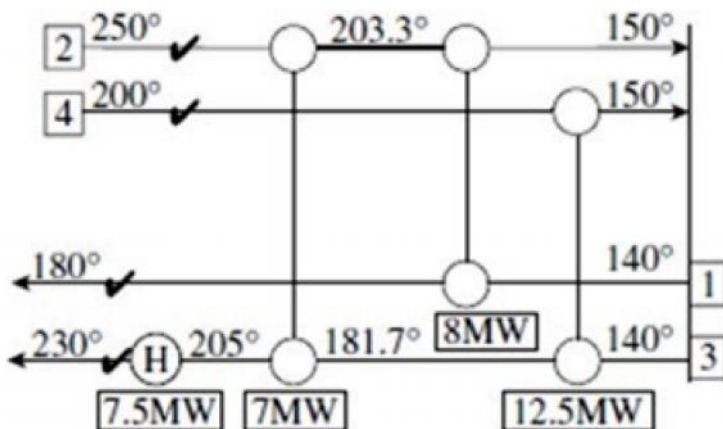
3. Nalaženje parova u regionu "Pincha" se ostvaruje pomoću tabele vodenih ekvivalenata (CP tabela) [67,68]. U CP tabeli vrednosti vodenih ekvivalenata za tople i hladne struje su date u opadajućem redosledu (Slika 2.10). Slika 2.10a prikazuje mrežni diagram sa CP tabelom za projektovanje iznad "Pincha". Kao što se sa slike 2.10a vidi, jedine izvodljive veze između toplih i hladnih procesnih struja su one za koje važi uslov dat jedna inom (2.10). Hladne struje ne mogu se koristiti iznad "Pincha", što znači da se tople struje moraju ohladiti do te temperature "Pincha" razmenom toplote sa hladnim procesnim strujama. Tople struje mogu se koristiti za grejanje hladnih struja iznad "Pincha". Dakle, potrebno je povezati toplu struju sa odgovarajućom hladnom strujom iznad "Pincha". Na Slici 2.10a je prikazan prikladan raspored iznad "Pincha", koji ne koristi temperaturnu razliku manju od T_{min} . Slika 2.10b prikazuje mrežni diagram sa CP tabelom za projektovanje ispod "Pincha". Kao što se sa slike vidi jedina mogućnost za povezivanje tople i hladne procesne struje ispod "Pincha" je ukoliko važi uslov dat jedna inom (2.11).



Slika 2.10 Povezivanje toplih i hladnih struja iznad i ispod "Pincha"

Topla pomo na struja se ne sme koristiti ispod "Pincha", što zna i da se hladne struje moraju zagrejati do temperature "Pincha" razmenom toplote sa hladnim pomom strujama. Hladne pomo ne struje se mogu koristiti za hla enje toplih struja ispod "Pincha".

- Kada su izabrani parovi oko "Pincha", da bi se zadovoljili zahtevi za minimalnom energijom, projektovanje se nastavlja tako da kapitalni troškovi budu minimalni. Kod kapitalnih troškova važnu ulogu ima broj ure aja. "Tick-off" pravilo se koristi kako bi se broj ure aja sveo na minimum. Ovo pravilo nalaže da ure aji moraju biti što ve i, odnosno uzima se da je razmenjena toplota u ure aju jednaka onom sadržaju toplote koji je manji u datom paru. Na Slici 2.11 dat je prikaz parova struja iznad "Pincha", kod kojih imamo najve i mogu i ure aj za dati par, odnosno najve u mogu u razmenu toplote za dati par tople i hladne struje.

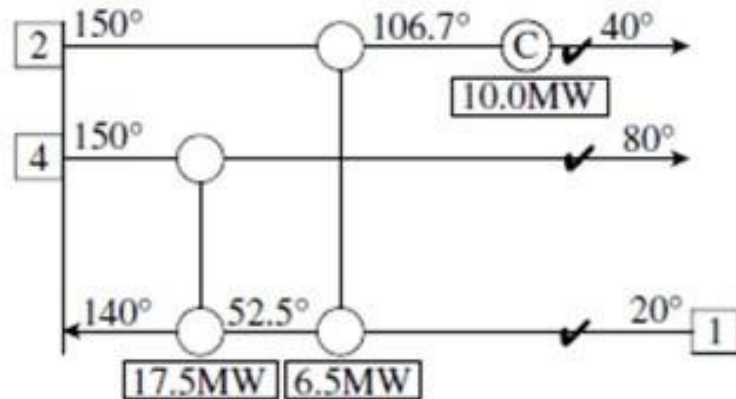


Slika 2.11 Izgled mreže razmenjiva a iznad "Pincha" nakon upotrebe "tick-off" pravila

Tople struje se hlađe do ta ke "Pincha" razmenom toplote sa hladnim strujama. Tako e, hladne struje se greju do krajnjih temperatura razmenom toplote sa toplim strujama, a onaj deo toplote koji se ne može dopremiti pomo u toplih struja se obezbe uje pomo u toplih pomo nih struja (H).

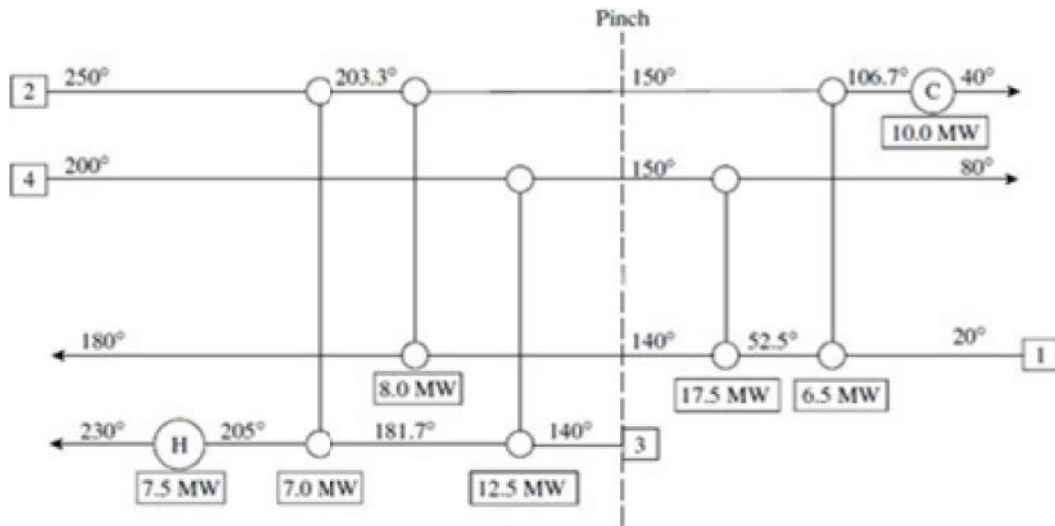
Na Slici 2.12 dat je prikaz parova struja ispod "Pincha". Hladne struje se greju do ta ke "Pincha" razmenom toplote sa toplim strujama. Tople struje se hlađe do odgovaraju ih krajnjih

temperatura, a onaj deo toplote koji se ne može ukloniti pomoću hladnih struja se uklanja upotrebom hladnih pomorskih struja (C).



Slika 2.12 Izgled mreže razmenjiva a toplove dat je Slikom 2.13, koja je dobijena spajanjem Slika 2.11 i 2.12.

Krajnji izgled mreže razmenjiva a toplove dat je Slikom 2.13, koja je dobijena spajanjem Slika 2.11 i 2.12.



Slika 2.13 Optimalna konfiguracija mreže razmenjiva a toplove

Uzimajući u obzir pretpostavljene vrednosti za minimalne zahteve za grejanjem i hlađenjem 7.5 MW i 10 MW respektivno, vidi se da je data mreža zadovoljila ove zahteve. Ukoliko se pretpostavi da je minimalni broj uredujaja koji je potreban za projektovanje mreže sedam, tada se vidi da je konfiguracija mreže data slikom 2.13 zadovoljila i ovaj zahtev.

2.4 Matemeti ke metode za energetsku integraciju procesa

Osnovne karakteristike "Pinch" metode su:

- Unapred specificirana minimalna razlika temperatura,
- Ta an iznos potrošnje pomo nih struja se može predvideti pre projektovanja mreže razmenjiva a toplove,
- "Pinch" temperatura omogu ava da se projektovanje mreže razmenjiva a toplove razložiti na dve podmreže (iznad i ispod "Pinch"),
- Najmanji broj ure aja u svakoj podmreži je jednak broju procesnih struja umanjenih za jedan,
- Odre uje minimalnu površinu za razmenu toplove u mreži.

Navedene karakteristike zna ajno sužavaju alternative za projektovanje mreže i same po sebi ne obezbe uju eksplicitnu proceduru za dobijanje konfiguracije mreže razmenjiva a toplove. Odnosno, korisnik treba da metodom probe i greške ispita parove i me usobne veze izme u procesnih struja, da bi krajnji rezultat zadovoljio unapred odre ene vrednosti potrošnje pomo nih struja, broja ure aja i ukupne površine. Vrlo esto ovo nije jednostavan zadatak, naro ito ako postoji projektni problem sa velikim brojem procesnih struja. Ako bi se oslonili samo na koncept "Pinch", teško je razviti kompjuterski program, koji može automatski da projektuje mrežu razmenjiva a toplove željene strukture (na primer, sa razdvajanjem struja ili bypass-om struja). Mreža koja zadovoljava date ciljeve ne mora da odgovara konfiguraciji sa minimalnom cenom. Optimalna ukupna cena koštanja mreže zavisi od minimalne razlike temperatura T_{min} , koja je usvojena. Ukoliko je manja minimalna razlika temperatura T_{min} , manji su i troškovi pomo nih struja, koji su potrebni za proces. Sa smanjenjem minimalne razlike temperatura T_{min} , pove avaju se i ukupni kapitalni troškovi, zbog poveanja površine za toplovnu razmenu.

Iz svega navedenog, može se zaklju iti da "Pinch" metoda ima dosta nedostataka. Iz tog razloga, razvijene su matemeti ke metode za energetska integracija procesa. U ovom poglavljju bi e prikazani osnovni algoritmi za projektovanje mreže razmenjiva a toplove. Bi e prikazane dve glavne strategije projektovanja mreže razmenjiva a toplove: sekvensijalna i simultana.

Za sekvencijalni metod je karakteristично да низом корака доводи до пројектовања оптималне мреже разменјива а топлоте. Три основна (под)проблема који се решавају у методи "Pinch" при пројектовању мреже разменјива а топлоте у секвенијалним математичким приступима су:

- Минимални захтеви за помоћним струјама,
- Минимални број ure аја,
- Минимална инвестициона цена.

За сваки од подпроблема развијен је адекватни математички модел, који узима у обзир редослед разменјива а, раздвајање струја, међане и "bypass".

2.4.1 Секвенијално пројектовање мрежа разменјива а топлоте

Оптимизациони алгоритам за одређивање минималних захтева за грејањем и хлађењем заснива се на тзв. "transshipment" моделу. Ову методу развили су Papoulias и Grossmann [47] на основу методе температурних интервала.

"Transshipment model" за одређивање минималних захтева за грејањем и хлађењем, при датом броју топлих и хладних помоћних струја може се формулисати на следећи начин. Систем се дели на K_{ti} температурних интервала, који су дефинисани преко улазних и излазних температура процесних струја. Како би се дефинисао проблем потребно је увести следеће величине [47]:

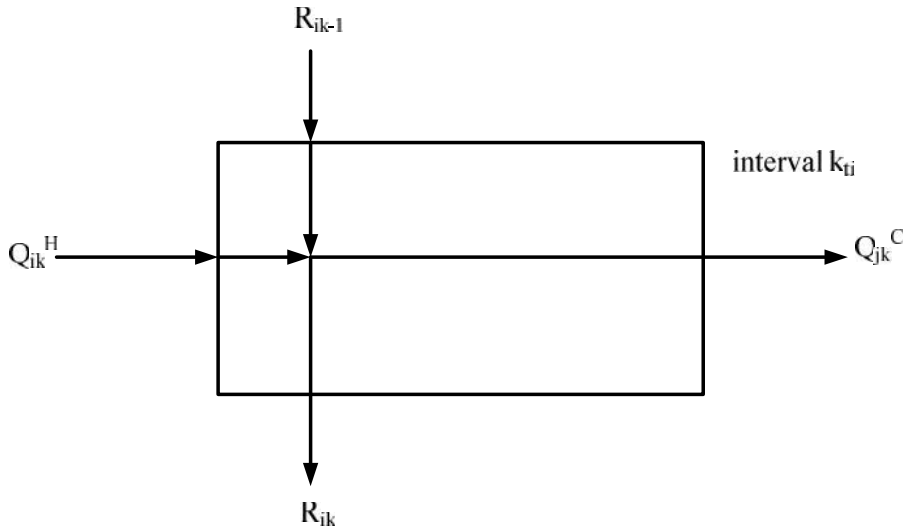
$H_k = \{i |$ топла струја i додира топлоту у температурни интервал $k_{ti}\};$

$C_k = \{j |$ хладна струја j захтева топлоту из температурног интервала $k_{ti}\};$

$S_k = \{m |$ топла помоћна струја m додира топлоту у температурни интервал $k_{ti}\};$

$W_k = \{n |$ хладна помоћна струја n издава топлоту из температурног интервала $k_{ti}\};$

Топлотни баланс за температурни интервал k_{ti} приказан је на слици 2.14. Познате величине су: Q_{ik}^H, Q_{jk}^C - садржај топлоте топле процесне струје i и хладне процесне струје j у температурном интервалу k_{ti} . Поменуте величине су: Q^S, Q^W - топлотно оптерећење топлих помоћних струја m и хладних помоћних струја n ; R_k - остатак топлоте који напушта интервал k_{ti} .



Slika 2.14 Toplotni bilans za temperaturni interval k_{ti}

Minimalni zahtevi za grejanjem i hla enjem za date tople i hladne procesne struje se mogu formulisati na slede i na in [47]:

Funkcija cilja:

$$\min Z = Q^S + Q^W$$

$$sa ograni enjima: R_k - R_{k-1} - Q^S + Q^W = \sum_{i \in H_k} Q_{ik}^H - \sum_{j \in C_k} Q_{jk}^C, k_{ti}=1, \dots, K_{ti}$$

$$Q^S \geq 0, Q^W \geq 0, R_k \geq 0 \quad k_{ti}=1, \dots, K_{ti}-1 \quad (2.12)$$

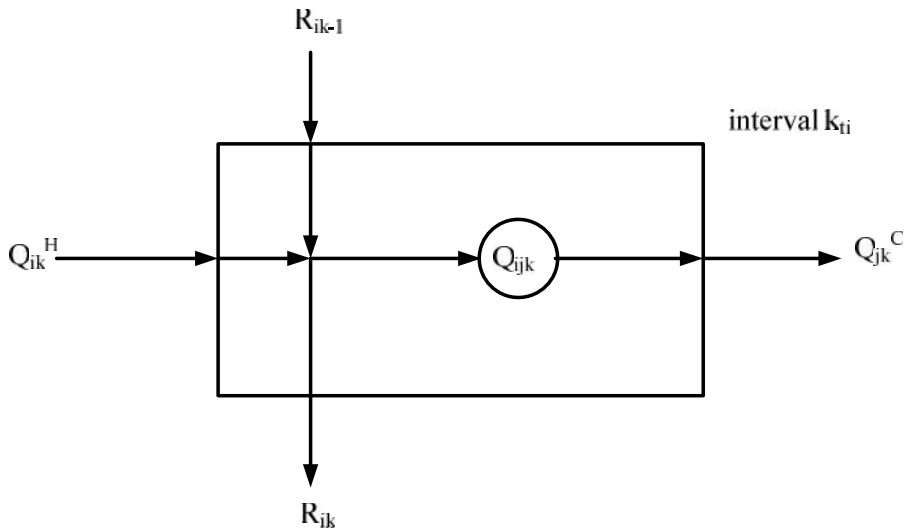
$$R_0 = 0, R_k = 0$$

U jedna ini (2.12), funkcija cilja predstavlja ukupni zahtev za grejanjem i hla enjem, dok K jedna ina definišu topotni balans oko svakog temperaturnog intervala k_{ti} . Prime uje se da e ovaj linearni problem biti mali, jer e imati jedna ina K i n_H+n_C+K-1 promenljivih. Model dat jedna inom (2.12) bi e ozna en kao kondenzuju i linearni "transshipment" model, da bi ga razlikovali od "transshipment" modela, koji e biti prikazan u daljem delu teksta za ograni ene parove. Treba napomenuti i da je u gore navedenoj formulaciji lako nametnuti gornja ograni enja

toplotnih optere enja koja su dostupna od strane nekih pomo nih struja (na primer, maksimalna toplota od strane pare niskog pritiska).

2.4.1.1 Minimalni zahtevi za grejanjem i hla enjem sa ograni enim parovima

U praksi nije uvek poželjno ili mogu e razmenjivati toplotu izme u bilo kog datog para toplih i hladnih procesnih struja. Razlozi mogu biti raznovrsni, npr. struje su jako udaljene jedna od druge, povezivanjem odre enog para toplih i hladnih procesnih struja sposobnost kontrole procesa se znatno umanjuje, mešanjem komponenata tople i hladne procesne struje dovodi do stvaranja zapaljivih ili toksi nih smeša što uti e na sigurnost procesa, itd. Može se zahtevati i postojanje odre ene minimalne i maksimalne koli ine toplotne koju je potrebno razmeniti izme u odre enih parova struja. Da bi navedene alternative ušle u razmatranje prilikom projektovanja mreže razmenjiva a toplate, "transshipment" model je proširen dodavanjem seta ograni enja. "Transshipment" model koji uzima u obzir ograni enja vezana za povezivanje toplih i hladnih procesnih struja prezentovali su Papoulias i Grossmann [47]. Na slici 2.15 prikazan je osnovni koncept na kome je zasnovan model.

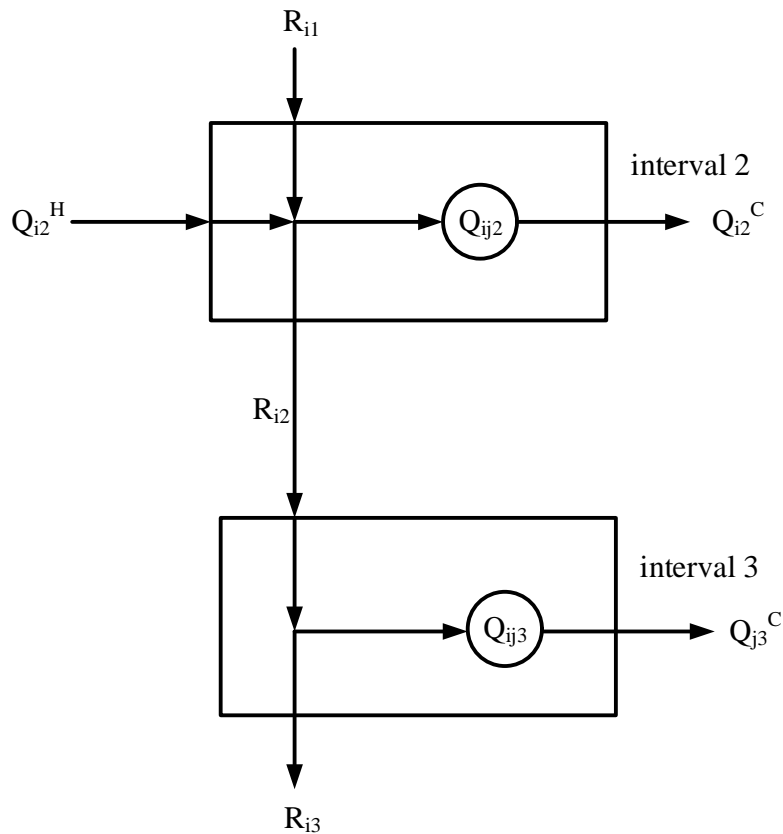


Slika 2.15 Toplotni bilans za temperaturni interval k_{ti} za prošireni "transshipment" model

Razlika izme u modela koji odre uje minimalne zahteve za grejanje i hla enjem, i modela sa ograni enjima je da se za svaku toplu procesnu struju i odre uje protok toplate R_{ik} izme u

temperaturnih intervala k . Isto važi i za toplu pomočnu struju m , za koju se određuje R_{ik} . U okviru temperaturnog intervala k_{ti} definisane je promenljiva Q_{ijk} , kojom je predstavljena razmena toplotne između tople struje i i hladne struje j . Slika 2.16 grafički prikazuje postavku modela za dva temperaturna intervala. Treba naznačiti da dati par struja može razmenjivati toplotu u okviru intervala ako važi bilo koji od sledećih uslova [47]:

1. Topla struja i i hladna struja j su prisutne u intervalu k_{ti} (Slika 2.15),
2. Hladna struja j je prisutna u intervalu k_{ti-1} , dok topla struja i je prisutna u višem intervalu (Slika 2.16).



Slika 2.16 Toplotni balans za dva temperaturna intervala za prošireni "transshipment" model

Na osnovu navedenog razmatranja može se definisati prošireni "transshipment" model, gde je uključena informacija o razmenjenoj toploti između svakog datog para struja. Kako bi se definisao problem potrebno je uvesti sledeće veličine:

$H'_k = \{i \mid \text{tople struje } i \text{ su prisutne u interval } k_{ti} \text{ ili na višem intervalu}\},$

$S'_k = \{m \mid \text{tople pomočne struje } m \text{ su prisutne u intervalu } k_{ti} \text{ ili na višem intervalu}\},$

Promenljive modela su:

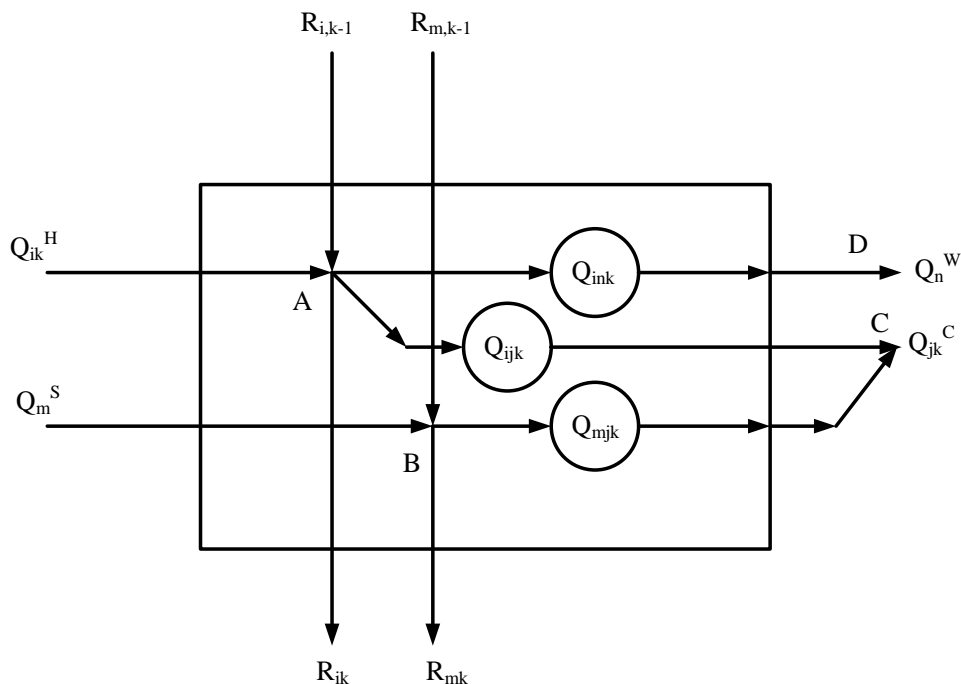
Q_{ijk} - razmenjena toplota tople struje i i hladne struje j u intervalu k_{ti} ,

Q_{mjk} - razmenjena toplota tople pomo ne struje m i hladne struje j u intervalu k_{ti} ,

Q_{ink} - razmenjena toplota tople struje i i hladne pomoćne struje u intervalu k_{ti} ,

R_{ik} – toplojni protok tople struje i koji napušta interval k_{ti} ,

R_{mk} - topotni protok tople pomo ne struje m koji napušta interval k_{ti} .



Slika 2.17 Toplotni balans u proširenom "transshipment" modelu

Prikazani model se matematički definiše postavljanjem balansnih jednačina u određenim tačkama u svakom od temperaturnih intervala. Na primer, za topalu procesnu i topalu pomoćnu struju potrebno je postaviti toplotni balans u tačkama A i B datim na Slici 2.17; za hladne procesne i

hladne pomo ne struje potrebno je postaviti toplotni balans u ta kama C i D datim na Slici 2.17. Na osnovu gore navedenih razmatranja "transshipment" model definisan je setom jedna ina:

Funkcija cilja

$$\min Z = Q^S + Q^W$$

$$sa ograni enjima \quad R_{ik} - R_{i,k-1} + \sum_{j \in C_k} Q_{ijk} + \sum_{n \in W_k} Q_{ink} = Q_{ik}^H \quad i \in H'_k$$

$$R_{mk} - R_{m,k-1} + \sum_{j \in C_k} Q_{mj} - Q^S = 0 \quad m \in S'_k$$

$$\sum_{i \in H_k} Q_{ijk} + \sum_{n \in S_k} Q_{mj} = Q_{jk}^C \quad j \in C_k \quad (2.13)$$

$$\sum_{i \in H_k} Q_{ink} - Q_n^W = 0 \quad n \in W_k \quad k_{ti} = 1, \dots, K_{ti}$$

$$R_{ik}, R_{mk}, Q_{ijk}, Q_{mj}, Q_{ink}, Q^S, Q^W \geq 0$$

$$R_{i0} - R_{ik} = 0$$

Formulacije data setom jedna ina (2.13) omogu ava da se uvedu ograni enja na povezivanje parova toplih i hladnih procesnih struja. Na primer, ako se zahteva da se onemogu i razmena toplote izme u tople struje i i hladne struje j , potrebno je definisati da je $Q_{ijk}=0$ za svaki temperaturni interval k_{ti} . U slu aju kada se želi nametnuti odre eni par, jednostavno može se specificirati da ukupna razmenjena toplota mora biti u okviru neke odre ene donje i gornje granice, kako prikazuje jedna ina (2.14).

$$Q_{ij}^L \leq \sum_{k=1}^K Q_{ijk} \leq Q_{ij}^U \quad (2.14)$$

gde su: Q_{ij}^L - donja granica razmenjene toplote izme u tople struje i i hladne struje j i Q_{ij}^U - gornja granica razmenjene toplote izme u tople struje i i hladne struje j .

2.4.1.2 Odre ivanje minimalnog broj ure aja

Metoda određivanje minimalnog broja ure aja polazi od rezultata dobijenih upotrebom „transshipment“ modela, tj. izračunatih vrednosti toplotnog opterećenja toplih i hladnih pomoćnih struja. Metoda za određivanje minimalnog broja ure aja razlaže sistem na q podmreža. Uobičajeno je da sistem ima dve podmreže, odnosno mrežu iznad i ispod "Pincha". U ovom delu će se prikazati kako se uvođenjem dodatnih ograničenja "transshipment" model dat jedna inom (2.13), može proširiti u cilju rigoroznog predviđanja najmanjeg broja ure aja, kao i parova struja koji su uključeni u svaki uređaj i koliko ina topote koju oni moraju razmeniti [69,70].

Do ove tačke izveden proračun za minimalne zahteve za grejanjem i hlađenjem, sa ili bez ograničenja parova, zna se koliko je toplotno opterećenje toplih i hladnih pomoćnih struja. U ovom se takođe procesne i pomoćne struje mogu tretirati jednostavno kao tople struje i , dok se hladne procesne i pomoćne struje mogu tretirati kao hladne struje j . Razlaganjem sistema na podmreže, svaka podmreža q ima K_q temperaturnih intervala. Da bi prikazali potencijalnu vezu datog para tople i hladne struje, definisane se sledeće binarna promenljivu u podmreži q :

$$y_{ij}^q = \begin{cases} 1, & \text{topla struja } i \text{ i hladna struja } j \text{ razmenjuju toplotu} \\ 0, & \text{topla struja } i \text{ i hladna struja } j \text{ nerazmenjuju toplotu} \end{cases} \quad (2.15)$$

Potrebno je napomenuti da se za svaki predviđeni par, koji je dat gore navedenom binarnom promenljivom sa vrednošću jedan, može vezati jedan razmenjivač topote. Suma uređaja u podmreži data je sumom binarnih promenljivih, prikazane jedna inom (2.15). Cilj je da se minimizuje broj uređaja, tako da se funkcija cilja definiše sledećim izrazom:

$$\min \sum_{i \in H} \sum_{j \in C} y_{ij}^q \quad (2.16)$$

Ograničenja su definisana u jednačini (2.17):

$$\begin{aligned} R_{ik} - R_{i,k-1} + \sum_{j \in C_k} Q_{ijk} &= Q_{ik}^H \quad i \in H'_k \quad K = 1, \dots, K_q \\ \sum_{j \in H_k} Q_{ijk} &= Q_{jk}^C \quad j \in C_k \end{aligned} \quad (2.17)$$

$$R_{ik}, Q_{ijk} \geq 0$$

Pored ograničenja prikazanih jedna inom 2.17, potrebna su nam i ograničenja u slučaju kada binarna promjenljiva uzima vrednost nula, kada odgovaraju kontinualna promjenljiva takođe ima nultu vrednost. U slučaju da par nije izabran ($y_{ij}^q = 0$), tada je razmenjena toplota za taj par jednaka nuli. Za bilo koji par toplih struja i i hladnih struja j , ovo ograničenje se može izraziti sledećim izrazom:

$$\sum_{n=1}^{K_q} Q_{ijk} - U_{ij} y_{ij}^q \leq 0 \quad (2.18)$$

U ovom slučaju, gornja granica U_{ij} će biti data najmanjim sadržajem toplote dve struje. Na primer, ako je toplotni sadržaj tople struje i 100 MW, a hladne struje j 200 MW, tada se može staviti da je U_{ij} 100 MW, pošto je ovo maksimalna količina toplote koju dve struje mogu razmeniti.

Rešenje problema koji je definisan funkcijom cilja dat jedna inom (2.16), nula-jedan ograničenjima datim jedna inom (2.15) sa ograničenjima datim toplotnim balansima pomoći u jedna ina (2.17), logičkim ograničenjima datim jedna inom (2.18), određuje parove toplih i hladnih struja koje razmenjuju toplotu y_{ij}^q , kao i toplotnu razmenu koja se izvrši između parova

$\sum_{k=1}^{K_q} Q_{ijk}$. Dobijene informacije se mogu koristiti za dobijanje konfiguracije mreže razmeniva a toplotne rute ili automatski.

2.4.1.3 Metoda sekvenčnog projektovanja razmenjiva a toplate

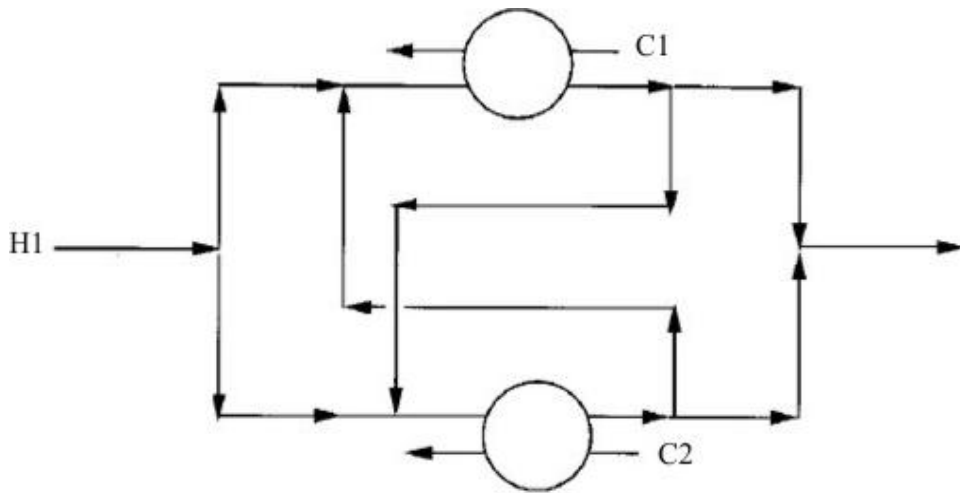
Metode sekvenčnog projektovanja mreže razmenjiva a toplate koristi strategiju podele problema na skup podproblema, koji se rešava sukcesivno u cilju projektovanja mreže razmenjiva a toplate sa minimalnim ukupnim godišnjim troškovima. Za rešavanje podproblema koriste se (1) termodinamičke metode ("Pincha", dvostrukе temperature i "Pseudo Pincha") i (2) matematičke metode koje su zasnovane na kontinualnim i celobrojnim linearnim i nelinearnim optimizacionim problemima.

Korištenjem metoda za projektovanje koje su zasnovane na "Pinch" metodi, problem se deli na segment iznad i ispod takozvane "Pinch", tako da se projektovanje mreže razmenjiva a toplate deli na

dve oblasti. Na osnovu minimalne razlike temperatura mreže, dolazi se do lokacije uskog grla za uštedu energije koje omogu uje odre ivanje minimalnog koriš enja pomo nih struja. Ova uska grla se nazivaju ta ke "Pincha". Mreža razmenjiva a toplove se tada rastavlja na podmreže i to na osnovu ta ke "Pincha". Po etna mreža dobija se povezivanjem toplih i hladnih procesnih struja oko ta ke "Pincha". Naredna povezivanja toplih i hladnih procesnih struja se dobija na osnovu razli itih smernica i pravila, sve dok se ne dobije mreža sa odre enim brojem ure aja. Metoda dvostrukе temperature dozvoljava razmenu toplove kroz ta ku "Pincha". Ova metoda definiše dve vrste minimalne razlike temperatura i to: mreže i razmenjiva a. Minimalne razlike temperatura mreže služi za odre ivanje lokacije ta ke "Pincha", dok minimalna razlika temperatura razmenjiva a odre uje minimalnu razliku temperatura izme u tople i hladne procesne struje. Minimalna razlika temperature u razmenjiva u dozvoljeno je da bude manja od minimalne razlike temperature mreže. Metoda dvostrukе temperature omogu ava projektovanje mreže razmenjiva a toplove sa manjim brojem ure aja i jednostavnije strukture, ali sa druge strane projektovana mreža ima ve e kapitalne troškove nego mreža projektovana upotrebom metode "Pincha". Modifikacijom metode dvostrukе razlike temperatura nastale su metode: pseudo-pincha (koji ublažava uslove "Pincha") i metod fleksibilnog "Pincha" (koji ima promenljivu minimalnu razliku temperatura).

Sekvencijalno projektovanje mreže razmenjiva a toplove pomo u matemati kog programiranja sastoji se od rešavanja tri podproblema. Prvi podproblem je odre ivanje minimalne cene pomo nih medijuma. Ovaj linearni problem (LP) se može formulisati tako da može da uklju i mogu nost uvo enja ograni enja na povezivanje parova toplih i hladnih struja [47]. Drugi pod problem je odre ivanje minimalnog broja ure aja. Vertikalni modeli razmene toplove, predloženi od strane Gundersena i Grossmanna [74] omogu avaju odre ivanje parova struja na osnovu sortiranja, kako bi se proizvela mreža razmenjiva a toplove sa nižim kapitalnim troškovima. Tre i podproblem podrazumeva odre ivanje optimalne mreže razmenjiva a toplove. Floudas i autori razvili su metod za automatsko projektovanje mreža razmenjiva a toplove. Osnova metode je formiranje tzv. superstrukture (Slika 2.18) za svaku pomo nu i procesnu struju na osnovu informacija dobijenih pomo u "transshipment" modela [51]. Svaki razmenjiva toplove u superstrukturi odgovara paru predvi enom od strane "transshipment" modela. Svaki razmenjiva e imati toplotno optere enje koje je predvi eno od strane "transshipment" modela. Superstruktura prestavlja kompleksnu strukturu koja omogu ava da se prikažu sve mogu e

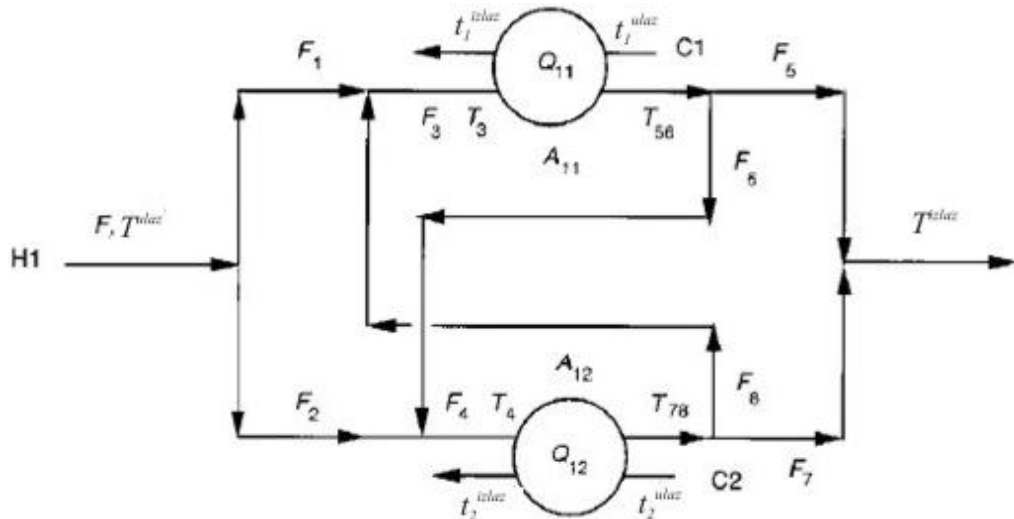
alternative povezivanja između toplih i hladnih struja. Primer takve superstruktura je dat na Slici 2.18 za slučaj jedne tople i dve hladne struje, gde su predviđena dva para H1-C1 i H1-C2.



Slika 2.18 Superstruktura za jednu toplu i dve hladne struje

Treba primetiti da se u ovoj superstrukturi struja $H1$ (topla struja) razdvaja na dve struje koje se usmeravaju na dva uređaja. Izlazi iz ovih uređaja su dalje razdvojeni na dve struje: jedna koja je usmerena na ulaz drugog uređaja i druga koja je usmerena na finalnu tačku mešanja. Superstruktura mreže data na Slici 2.18, definiše dve alternative za povezivanje u razmenjivaču: serijsko i paralelno.

Promenljive koje figurišu u modelu su sledeće: maseni/molski protoci (F, f), temperature (T, t), i površine (A), kako je predstavljeno na Slici 2.19.



Slika 2.19 Promenljive za superstrukuru sa dva razmenjiva a toplotne

Sledeće vrednosti su poznate:

- Za struju $H1$, maseni protok F i ulazne i izlazne temperature T^{in}, T^{out} ,
- Za struju $C1$, molski protok $f1$ i ulazne i izlazne tempeetrature t_1^{in}, t_1^{out} ,
- Za struju $C2$, molski protok $f2$ i ulazne i izlazne temperature t_2^{in}, t_2^{out} ,
- Toplotna optereenja Q_{11}, Q_{12} predviđena “transshipment” modelom.

Funkcija cilja, koja predstavlja minimizovanje investicionih troškova, data je sledećim izrazom:

$$\min C_{it} = c_1 A_{11}^S + c_2 A_{12}^S \quad (2.19)$$

gde su: c_1, c_2, β parametri troškova, a A površina razmenjiva a toplotne 11 i 12.

Funkcija cilja se može prikazati preko temperature, zamenom površine razmenjiva a toplotne preko projektne jednačine $Q = KA\Delta T_{ln}$, za suprotno - strujne razmenjiva a toplotne, gde je K - koeficijent prelaza toplotne, a ΔT_{ln} - srednja logaritamska razlika temperatura. Srednja logaritamska razlika temperatura se definiše jednačinom:

$$\Delta T_{ln} = \frac{\frac{T_2 - T_1}{T_2}}{\ln \frac{T_2}{T_1}} \quad (2.20)$$

Potrebno je napomenuti da ΔT_{ln} funkcija može dovesti do numeričkih poteškoća, kada su temperaturne razlike T_1, T_2 na oba kraja iste. Numeričke poteškoće mogu se preduprediti upotrebom aproksimacije Chena (1987.) tako da se ΔT_{ln} definiše izrazom [71]:

$$\Delta T_{ln} \cong \left[\frac{\frac{T_1 - T_2}{T_1} \left(\frac{T_2}{T_1} + 1 \right)}{2} \right]^{1/3} \quad (2.21)$$

Sada se funkcija cilja za minimalne investicione troškove definiše na sledećim linijama:

$$minC_{it} = C_{it1} \left[\frac{Q_{11}}{K_{11} \left[\frac{\frac{1}{1} \frac{1}{2} \left(\frac{1}{1} + \frac{1}{2} \right)}{2} \right]^{\frac{1}{3}}} \right]^s + C_{it2} \left[\frac{Q_{12}}{K_{12} \left[\frac{\frac{2}{1} \frac{2}{2} \left(\frac{2}{1} + \frac{2}{2} \right)}{2} \right]^{\frac{1}{3}}} \right]^s \quad (2.22)$$

gde su: K_{11} , K_{12} - ukupni koeficijenti prolaza toplotne za dva razmenjiva a, a C_{it1} i C_{it2} - investicioni troškovi za dva razmenjiva a toplotne.

Prikazana strategija za automatsko projektovanje mreža razmenjiva a toplotne primenjena je u kompjuterskom programu MAGNETS.

2.4.2 Simultano projektovanje mreža razmenjiva a toplotne

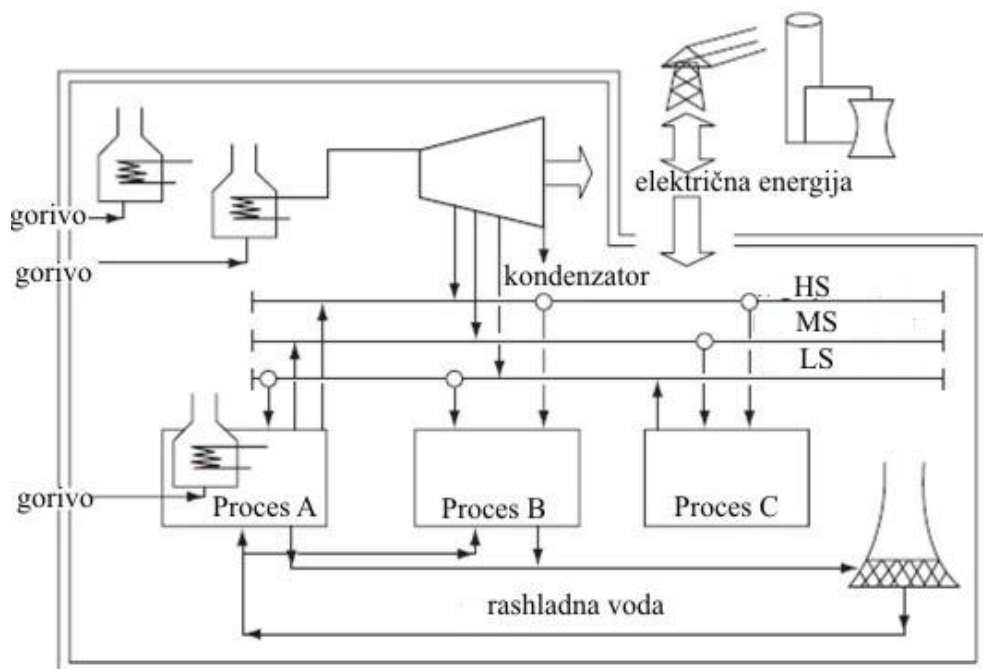
Cilj simultanog projektovanje mreža razmenjiva a toplotne je da se pronađe optimalna mreža bez rastavljanja problema na podprobleme. Autori Floudas i Ceric [75] su razvili simultani par-mreža hiperstrukturalni model za optimizaciju svih kapitalnih troškova mreže razmenjiva a toplotne. Rešavanjem ovog optimizacionog problema odreduje se minimalna cena razmenjiva a toplotne i površina za toplotnu razmenu. Nedostatak ove formulacije je što vrednost minimalne razlike temperature mora unapred biti specificirana. Yee i autor [56,70] predstavili su svoju metodu za simultano rešavanje mreža razmenjiva a toplotne koji se takođe bazira na superstrukturi, pri čemu je uveden niz aproksimacija kako bi se smanjilo rano vreme.

2.4.3 Poređenje sekvenčnog i simultanog pristupa za projektovanje mreže razmenjiva a toplotne

Glavna prednost sekvenčnog pristupa je što korisnik može uticati na projektovanje mreže kroz rešavanje pojedinačnih koraka: kao što su minimalni zahtevi za grejanjem i hlađenjem, minimalni broj uređaja i projektovanje mreže sa minimalnim investicionim troškovima. Sa druge strane, prednost simultanog pristupa je što se projektovanje mreže odvija bez razdvajanja na podprobleme, tako da postoji veća mogućnost za određivanje bolje konfiguracije mreže razmenjiva a toplotne.

2.5 Metode za energetsku integraciju postrojenja

U prethodnim tačkama su razmatrane metode za energetsку integraciju pojedinačnih procesa u okviru postrojenja. U ovom delu će biti prikazan pregled metoda za energetsku integraciju skupa procesa koji su grupisani u jedno postrojenje. Mehanička, električna i toplotna energija potrebna za odvijanje procesa dobija se sagoravnjem fosilnih goriva u sistemu pomoćnih struja – energani. Šematski prikaz postrojenja dat je na slici 2.20.

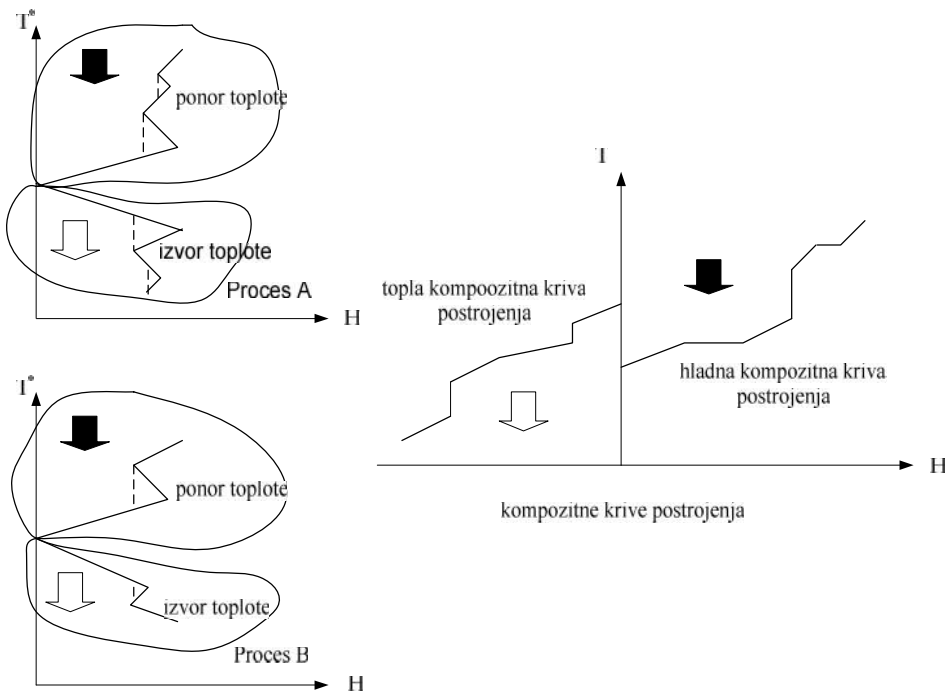


Slika 2.20 Šematski prikaz postrojenja

Gorivo se sagoreva u kotlovima pri čemu se proizvodi vodena para visokog pritiska. Nastala vodena para se propušta kroz turbine u cilju proizvodnje električne energije i pomoćnih struja različitog kvaliteta. Na Slici 2.20 su prikazane tri pomoćne struje različitog kvaliteta, i to vodena para visokog pritiska (HS), vodena para srednjeg pritiska (MS) i vodena para niskog pritiska (LS). Generisane pomoćne struje se dopremaju procesima na dalje korištenje. Pored energana, i procesi mogu generisati vodenu paru tokom odvijanja procesa. Na primer, proces A koristi LS iz sistema pomoćnih struja postrojenja, a vrata na HS i MS (Slika 2.20). Proses B koristi pomoćne struje LS, MS, HS iz sistema pomoćnih struja, a proces C koristi pomoćne struje MS i HS, a generiše LS.

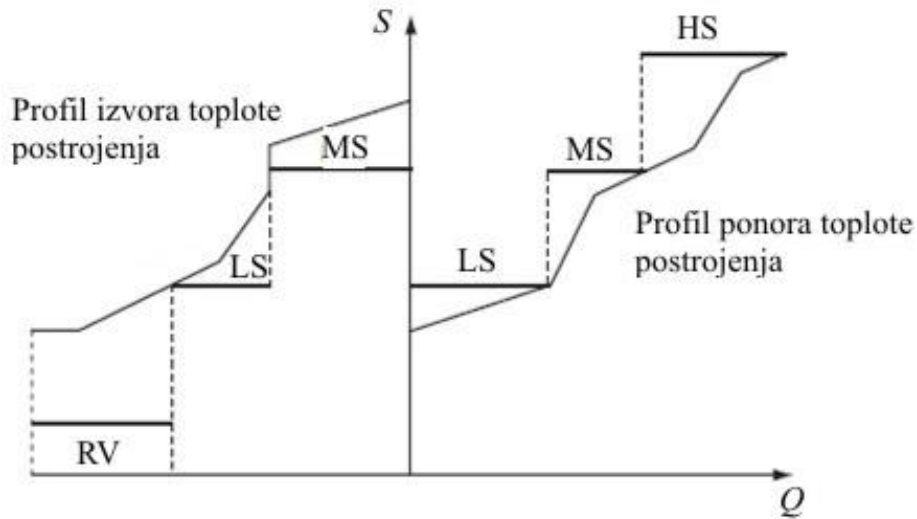
S obzirom da postoji niz praktičnih razloga zbog kojih nije moguće direktno povezati procesne struje iz različitih procesa upotrebom razmenjivača toplove, došlo je do potrebe za metodom koja bi omogućila indirektno povezivanje procesa. Metoda za energetsku integraciju postrojenja razvijena je po etkom 90-tih na Institutu za nauku i tehnologiju, Univerziteta u Manchesteru (UMIST) [58]. Osnovni koncept na kome je zasnovana metoda za integraciju postrojenja zasniva se na indirektnom povezivanju procesa u okviru postrojenja preko sistema pomoćnih struja. Višak toplove u jednom od procesa proizvodi pomocnu struju koja se preko već postojeće mreže cevovoda pomoćnih struja prenosi i upotrebljava za grejanje procesne struje u drugom procesu. Kao u slučaju integracije procesa i metoda za integraciju postrojenja zasnovana je na kompozitnim krivama, s tim da je metod konstrukcije kompozitnih krivih različit.

Ukupni zahtevi za grejanjem i hlađenjem za svaki od procesa u postrojenju mogu se odrediti preko ukupne kompozitne krive ili metode temperaturnih intervala. Na Slici 2.21 predstavljena su dva nezavisna procesa A i B, pomoću kojih će se objasniti dobijanje tople i hladne kompozitne krive postrojenja. Kod ukupnih kompozitnih krivih delovi procesa koji se nalaze iznad temperature "Pincha" se ponašaju kao ponori toplove. Kombinovanjem ukupnih zahteva za topotom svih procesa u postrojenju iznad "Pincha", kod ukupnih kompozitnih krivih, dobija se temperaturno – entalpijski profil ukupnih zahteva postrojenja za topotom. Temperaturno – entalpijski profil ponora toplove postrojenja, hladna kompozitna kriva postrojenja, ilustrovan je Slici 2.21 [77]. S dugе strane, delovi procesa koji se nalaze ispod "Pincha", kod ukupne kompozitne krive, predstavljaju izvor toplove. Sada se kao u slučaju ponora toplove kombinovanjem potreba za hlađenjem ispod "Pincha" ukupne kompozitne krive procesa A i B, dobija temperaturno – entalpijski profil viška toplove u postrojenju, koji je ilustrovan topotom kompozitnom krivom koja predstavlja izvor toplove postrojenja na Slici 2.21. Osenju delovi kod procesa A i B, predstavljaju džepove povrata toplove, odnosno u tim delovima ukupne kompozitne krive može doći do razmene toplove između pojedinih procesa, bez neophodne potrebe za pomoćnim strujama. Više o konstrukciji kompozitnih krivih nalazi se u publikacijama Smith (2005.) [78].



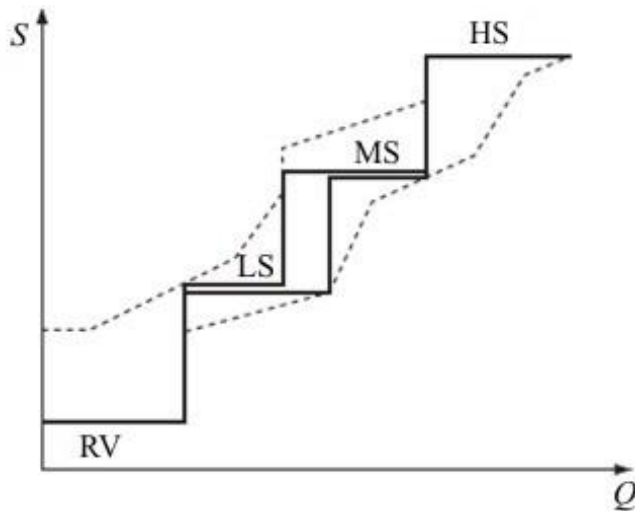
Slika 2.21 Komozitne krive za izvor i ponor toplote u postrojenju

Nakon određivanja kompozitnih krivih postrojenja, pomoćne struje se mogu učrtati u dijagram kompozitnih krivih postrojenja kao što je ilustrovano na Slici 2.22. Naime, na osnovu ove slike se uočava koje su pomoći ne struje potrebne za funkcionalisanje datog postrojenja. Sa Slike 2.22 se uočava da se pomoći u izvora toplote postrojenja (topla kompozitna kriva postrojenja), može generisati vodena para srednjeg pritiska (MS) i niskog pritiska (LS), a preostali deo toplote se uklanja rashladnom vodom (RV). Ovakvo dobijene LS i MS vodene pare se mogu upotrebiti za grejanje procesa kojima je neophodna toplota negde u postrojenju, pomoći u sistema pomoći struja. Tako je, Slika 2.22 ukazuje koji su neophodni zahtevi za pomoći nim strujama postrojenja, koje su neophodne za grejanje procesa postrojenja. Na osnovu profila ponora toplote postrojenja (hladna kompozitna kriva postrojenja) uočava se da su neophodne pomoći ne struje: vodena para visokog pritiska (HS), srednjeg pritiska (MS) i niskog pritiska (LS).



Slika 2.22 Kompozitne krive postrojenja sa pomoćnim strujama

Pomeranjem kompozitne krive izvora toplote (topla kompozitna kriva postrojenja) i preklapanjem sa kompozitnom krivom ponora toplote (hladna kompozitna kriva postrojenja) moguće je utvrditi maksimalne uštede toplotne energije koja se ostvaruje integracijom postrojenja (Slika 2.23).

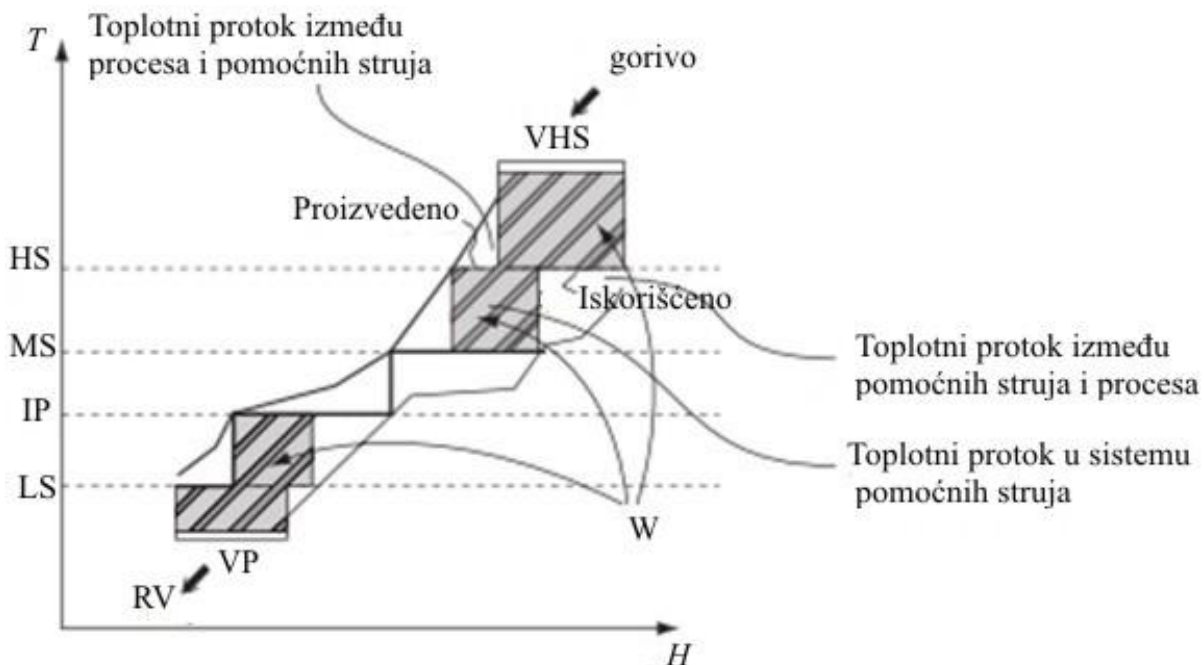


Slika 2.23 Određivanje ušteda preklapanjem kompozitnih krivih

Slika 2.23 ukazuje da se jedan deo MS i LS vodene pare izvora toplote postrojenja (topla kompozitna kriva) može upotrebiti za grejanje procesa ponora toplote (hladna kompozitna kriva) kojima je MS i LS vodena para neophodna. Onaj deo MS i LS vodene pare koji se nemože

dopremiti pomo u izvora toplove postrojenja, mora se nadomestiti pomo u sistemu energane sagorevanjem goriva u kotlovima. Sa Slike 2.23 se vidi da se HS vodena para ne može dopremati pomo u izvora toplove postrojenja, tako da se celokupna koli ina HS vodene pare mora dopremati pomo u sistema energane datog postrojenja.

Nakon odreivanja kompozitnih krivih postrojenja, moguće je na jednostavan način odrediti koliko električne energije koja se može proizvesti propuštanjem vodene pare veoma visokog pritiska (VHS) kroz turbine, da bi se proizvele tople pomoći ne struje određenog kvaliteta.



Slika 2.24 Kogenerativna sposobnost postrojenja

Na Slici 2.24 prikazane su kompozitne krive ponora i izvora toplove u postrojenju zajedno sa profilima vodene pare koja se koristi, u cilju maksimizovanja uštade toplove [78,79]. Toplotni protok između procesa i pomoćnih struja na Slici 2.24, predstavlja onaj deo toplove koji topla kompozitna kriva postrojenja može da oda (na Slici 2.24 označeno kao proizvedeno). Sa Slike 2.24 se vidi da se sagorevanjem goriva na kotlovima proizvodi VHS vodena para, koja se propušta kroz turbine i proizvodi električnu energiju (prvi osenčeni pravougaonik na Slici 2.24). Propuštanjem kroz turbine dobija se vodena para HS koja služi za grejanje hladne kompozitne krive postrojenja (na Slici 2.24 predstavljeno kao iskorišćeno), odnosno taj deo HS predstavlja topotni protok između pomoćnih struja i procesa. Drugi deo HS dobijen propuštanjem VHS kroz

turbine služi zajedno sa topotnim protokom izme u procesa i pomo nih struja (ozna eno kao proizvedeno na Slici 2.24), za propuštanje HS kroz turbine i dobijanje MS. Ovo zapravo predstavlja topotni protok u sistemu pomo nih struja za dobijanje elektri ne energije (drugi osen eni pravougaonik na Slici 2.24). Zatim vodena para MS, koja je jednim delom dobijena propuštanjem HS kroz turbine, a drugim delom pomo u viška topote tople kompozitne krive postrojenja, služi za zagrevanje procesa i dobija se vodena para IP (kvalitet vodene pare izme u LS i MS). IP vodena para dalje jednim delom služi za zagrevanje procesa, a drugim delom se propušta kroz turbine i dobija se vodena para LS. Jedan deo vodene pare LS dobijen je na ovaj na in, a drugi deo LS je dobijen pomo u topote tople kompozitne krive. Na kraju se jedan deo vodene pare LS propušta kroz turbinu do vakum uslova (VP), a drugi deo služi za grejanje procesa. Rashladna voda (RV) služi za hla enje vodene pare na vakuum uslovima.

U slu aju prikazanom na Slici 2.24 maksimizovana je ušteda topote u postrojenju. Prenosom topote izme u procesnih struja sa viškom topote i pomo nih struja generiše se vodena para. Predajom topote generisane pomo ne struje procesnoj struji sa manjkom topote dolazi do utroška vodene pare. Onaj deo topote koji se ne može kompenzovati upotrebo energetske integracije postrojenja potrebno je obezbediti iz spoljašnjeg izvora topote. U ovom slu aju taj deo topote se doprema vodnom parom VHS koja se generiše u kotlovima sagorevanjem fosilnih goriva. U delu iznad "Pincha" (Slika 2.24), vodena para VHS propušta se kroz parne turbine do vodene pare HS, a vodena para HS ekspanduje kroz parne turbine do vodene pare MS. Jedan deo vodene pare se ekspanduje kroz turbine, a drugi deo vodene pare služi za zagrevanje procesa. Pri propuštanju vodene pare kroz parne turbine generiše se elektri na energija koja se dalje može upotrebiti u postrojenju. U delu ispod "Pincha" ekspanduje vodena para LS do vodene pare VP. Pri ovom ekspandovanju tako e se generiše elektri na energija. Na Slici 2.24 prikazan je sistem koji ima maksimalan povra aj topote, odnosno minimalnu upotrebu goriva u kotlovima, što ne mora biti i najoptimalnije rešenje. Ukoliko ne bi imali maksimalnu uštenu topote, imali bi ve u potrošnju goriva u kotlovima, ali i ve u mogu nost za proizvodnju elektri ne energije. Neophodno je odabrat takvo rešenje koje omogu ava najve u isplativost???. Ponekad je bolje generisati elektri nu energiju u postrojenju nego je uzimati iz spoljašnje mreže elektri ne energije. Treba uzeti u obzir da može do i i do prekida dopremanja elektri ne energije od spoljašnjeg izvora, tako da je uvek potrebno imati takav sistem koji može samostalno da funkcioniše.

2.6 Optimizacioni algoritmi

Svetska ekonomска kretanja usmerena su u pravcu globalizacije trgovine, povećane konkurentnosti i održivog razvoja. Da bi se prilagodili navedenim ekonomskim pravcima privredni subjekti treba da koriste sirovine, energiju i prirodne resurse na što efikasniji način. Iz tog razloga projektovanje i integracija procesa predstavljaju jednu od najznačajnih oblasti u hemijskom inženjerstvu. Moguće je razmatrati integraciju procesnih jedinica, materijala, energije u hemijskom postrojenju, kao i integraciju hemijskog prostorenja u mrežu proizvodnih procesa u cilju najefikasnije upotrebe sirovina, energije i prirodnih resursa.

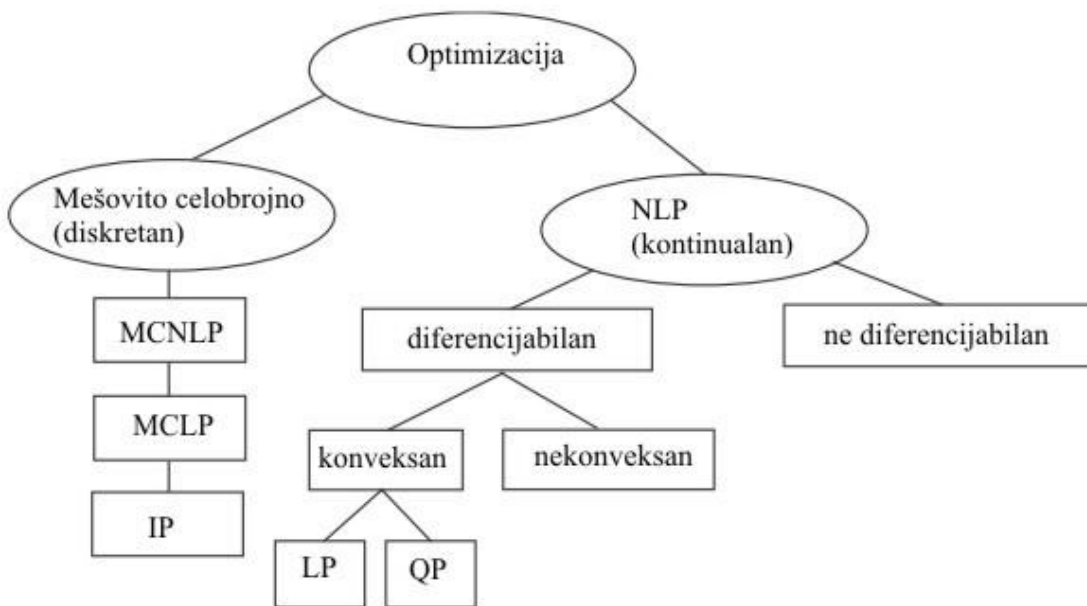
U poslednje tri decenije postignut je znatan napredak u oblasti razvoja metoda za integraciju, projektovanje i optimizaciju procesnih sistema. Razvijene metode bazirane su na različitim konceptima: (i) heurističkim (intuicija, iskustvo), (ii) termodinamičkim (prirodni zakoni) i (iii) matematičkim (optimizacija). Heuristički koncepti se sve manje koriste jer ih sve više zamenjuju efikasne optimizacione metode, strategije i algoritmi, koje omogućavaju da se reši veliki broj složenih problema[80].

Pri razmatranju optimizacije kao strategije, potrebno je uvesti definicije za termine koji se koriste u optimizacionim studijama: matematičko programiranje (optimizacija) i optimizacioni problem. Matematičko programiranje ili optimizacija u hemijskom inženjerstvu može se definisati kao strategija određivanja vrednosti nezavisno promenjivih parametara procesa sa ciljem poboljšanja osobina posmatranog sistema. Iz definicije optimizacije prozilazi da je zadatok optimizacije da se za dati sistem nađu vrednosti nezavisno promenjivih parametara procesa u okviru zadatih ograničenja, kojim se postiže minimizovanje ili maksimizovanje razmatranog efekta [80]. Optimizacioni problem se definiše kao skup jednačina kojima je algebarski opisan procesni sistem i cilj koji se želi postići. Optimizacioni problem se sastoji iz više elemenata i to su: (i) funkcija cilja, (ii) prediktivni model posmatranog sistema, i (iii) nezavisne promenjive.

Funkcija cilja je algebarski izraz kojim se određuje skalarna vrednost kojom se kvantitativno određuje osobina sistema (profit, količina proizvoda, kapitalni troškovi, itd.). Prediktivni model posmatranog sistema je skup algebarskih izraza kojima se kvantitativno opisuje ponašanje sistema za različite vrednosti nezavisno promenjivih. U optimizacionom problemu prediktivni model je određen skupom jednačina i nejednina, koje još nazivamo ograničenjima. Nezavisno

promenjive koje se javljaju u prediktivnom modelu moraju biti podešene tako da zadovoljavaju jedna ine kojima su definisana ograničenja procesnog sistema. Nezavisno promenjive procesnog sistema su fizičke veličine uz pomoć kojih je definisan prediktivni model i koje se mogu nezavisno menjati u sistemu (npr. temperatura na ulazu u sistem, maseni protok na ulazu u sistem, dužina rektatora itd.) [80]. Nezavisne promenjive sistema još nazivamo stepeni slobode.

Optimizacija je osnovna i često primenjena procedura za veliki broj inženjerskih aktivnosti. Međutim, u mnogim slučajevima, optimizacija se odvija procedurom probe i greške. Da bi se izbegla ova vremenski zahtevna procedura, utvrđen je sistematski pristup koji omogućava da se dođe u bolja rešenja. Slika 2.25, ilustruje tipove optimizacionih problema koji se najčešće javljaju u hemijskom inženjerstvu. Uopšteno optimizacioni problemi se mogu klasifikovati prema vrsti nezavisnih promenjivih na probleme sa kontinulnim i/ili diskretnim promenjivim [80].



Slika 2.25 Tipovi optimizacionih problema koji se najčešće javljaju u hemijskom inženjerstvu

Uopštena algebarska forma optimizacionog problema koja odgovara slici 2.26 može se definisati sledećom jednačinom [80]:

$$\begin{aligned}
& \min_{x,y} f(x, y) \\
& \text{sa ograni enjima} \\
& h(x, z) = 0 \\
& g(x, z) \leq 0 \\
& x \in R^n, y \in \{0, 1\}^t
\end{aligned} \tag{2.25}$$

gde su: $f(x)$ - funkcija cilja, $h(x, y)$ – jedna ine kojima je opisan prediktivni model, $g(x, y)$ - nejedna ine koje opisuju specifikacije koje sistem mora da zadovolji (npr. koncentracija proizvoda na kraju procesa mora da bude veća od 10 g/l), vektor n - kontinualne promenjive i vektor t - diskrtene promenjive.

Opšti optimizacioni problem definisan jedna inom (2.25) može se svesti na nekoliko podvrsta: linerani, nelinerani, mešovito celobrojno linerani i mešovito celobrojno nelinerani.

Kod lineranih optimizacionih problema (LP) funkcija cilja, ograni enja jednakosti i nejednakosti su linerani algebarski izrazi. Za ovu vrstu optimizacionih problema razvijen je veliki broj algoritama od kojih su najznačajniji i najčešći korišćeni sledeći algoritmi: "Simplex", "Interior point", i "Karmakov" [81].

Mešovito celobrojno linerani optimizacioni problemi (MCLP) su po definiciji identični lineranim optimizacionim problemima, sa tom razlikom da su jedna ili više nezavisnih promenjivih diskretne promenjive, tj. celobrojne promenjive. Najčešći korišćeni algoritmi za ovu vrstu optimizacionih problema su: "Branch and Bound", "Cutting plane", metoda dekompozicije, i "logic-based" [82].

Za nelinearni optimizacioni problema (NLP) karakteristično je da je problem nelineran ako je barem jedan od algebarskih izraza kojim su definisani funkcija cilja ili ograni enja nelinearan. Razvijen je veliki broj algoritama za rešavanje ove vrste problema. Algoritme možemo podeliti prema načinu određivanja pravca pretrage na gradijentne i stohastičke. Kod gradijentnih metoda pravac pretrage određuju se upotrebom prvog ("Jacobian" matica) i/ili viših izvoda ("Hessian" matrica) optimizacione funkcije. Najčešći korišćeni algoritmi za nelinerane optimizacione probleme sa ograni enjima u procesnom inženjerstvu su: metoda redukovanih gradijenata i sukcesivno kvadratno programiranje [80]. U slučaju stohastičkih metoda pravac pretrage se određuje upotrebom slučajno generisanih vrednosti ili statističkih funkcija. Najčešći korišćene metode su:

“Monte Carlo”, “Simulated annealing”, “Genetic algorithm”, “Tabu search”, “Ant colony” itd [81].

Mešovito celobrojno nelinearni optimizacioni problemi (MCNLP) su slični po definiciji sa nelinearnim optimizacionim problemima s tom razlikom da su jedna ili više nezavisnih promenjivih diskretnе promenjive, tj. celobrojne promenjive. Najčešće korištene metode za ovu vrstu optimizacionih problema su: “Outer Approximation with Equality Relaxation”, “Generalized Outer Approximation”, “Generalized Cross Decomposition” itd [81].

Algoritmi za rešavanje LP, MILP, NLP i MINLP optimizacionih problema dostupni su u okviru nekoliko programskih paketa kao što su: AMPL [83], GAMS [84], LINGO [85], What's the Best [86], Tomlab [87] itd.

3. Razvoj metode za energetsku integraciju postrojenja u industrijskim kompleksima

Brzi i efikasni odgovori na klimatske promene zahtevaju velike globalne socio-ekonomiske promene, zbog njihovog uticaja na ekosisteme i društvo [88-90]. Oko 60% ukupne emisije gasova koji izazivaju efekat staklene bašte potiče od sagorevanja fosilnih goriva [91-93]. Na in na koji se kompanije ponašaju prema propisima o zaštiti životne okoline, imaju znatan uticaj na njihovu održivost i profitabilnost [94-97]. Eksponencijalni porast populacije, industrijalizacija, povećanje životnog standarda, smanjenje prirodnih resursa, potrošnja neobnovljivih resursa, globalne klimatske promene i povećan rizik za opstanak ekosistema, ukazuju da je u cilju očuvanja planete potrebno krenuti u smeru održivog razvoja društva. Pojam održivi razvoj je veoma složen, jer obuhvata veliki broj socijanih, ekonomskih i ekoloških aspekta koji utiču na društvenu zajednicu, kako na mikro tako i na makro nivou. Najčešća definicija održivog razvoja data je u "Brundtland Report" gde je održivi razvoj definisan kao "zadovoljavanje potreba današnje generacije bez ugrožavanja mogućnosti budućih generacija da zadovolje svoje potrebe" [98]. Elkington definiše tri osnovna principa na kojima se zasniva koncept održivog razvoja [99]. Prema Elkingtonu osnovni principi su: ekonomski rast, zaštita životne sredine i socijalna jednakost [99]. Veliki broj konsultantskih kompanija, kao što su Deloitte, McKinsey, Goldman & Sachs, kao ključne prioritete privrednih subjekata isti su: očuvanje životne sredine, očuvanje resursa, povećanje proizvodnje i povećanje profitabilnosti, što je u skladu sa Elkington-ovim osnovnim principima [100-103]. Smernice održivog razvoja usmeravaju privredne subjekte na korišćenje novih tehnologija i u pravcu većeg stepena integracije. Prvo se za integraciju procesa koristila "Pinch" tehnologija, a zatim su se koristile metode za integraciju postrojenja. Metod energetske integracije postrojenja je razvijen od velikog broja autora [104-117]. Sledeći logičan korak je bila energetska integracija određenog broja postrojenja smeštenih u industrijskim kompleksima. Cilj integracije privrednih subjekata je stvaranje industrijskih kompleksa u kojima bi se minimizovala upotreba svih oblika resursa, kao što su: informacije, sirovine, voda, energija, infrastruktura i prirodni resursi. Industrijski kompleksi koji zadovoljavaju uslov minimizovanja upotrebe resursa nazivaju se još i industrijski parkovi ili kompleksi istije proizvodnje [118]. Povećanje energetske efikasnosti u industrijskom

kompleksu je osnovni preduslov za održavanje prirodnih resursa fosilnih goriva. Energetska efikasnost se može povećati uvođenjem novih energetskih manje intenzivnih tehnologija i uspostavljanjem energetske integracije između privrednih subjekata u okviru industrijskog kompleksa. Stijepovi i autori pokazali su da uvođenje novih tehnologija značajno može povećati efikasnost procesa [119]. Da bi se energetska efikasnost povećala integriranjem privrednih subjekata potrebno je dati odgovore na pitanja kao što su: na koji način integrisati privredne subjekte, koje privredne subjekte treba međusobno povezati i koji su kriterijumi za uspostavljanje veze između postrojenja.

Univerzalne odgovore na ova pitanja nemoguće su dati, jer oni zavise od slučaja do slučaja. Iz tog razloga potrebno je uspostaviti metodu kojom primenom dobijamo odgovore na navedena pitanja, posebno za svaki od slučaja.

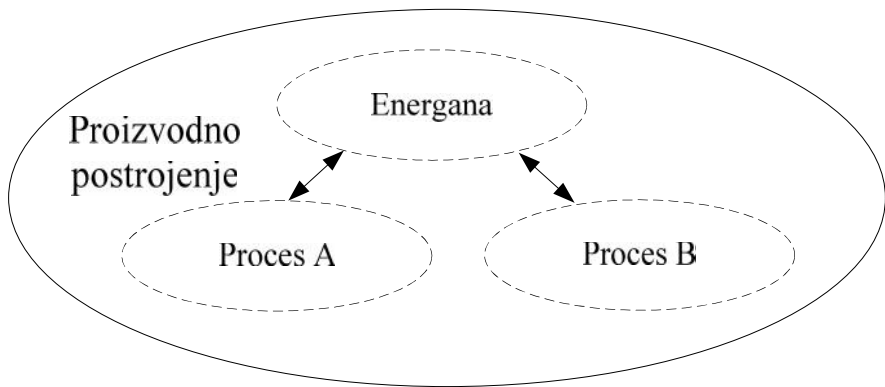
U teorijskom delu disertacije prikazane su do sada razvijene metode za energetsku integraciju. Navedene metode mogu se primeniti samo za integraciju projekta nih postrojenja ili procesa. Na osnovu ovih injenica jasno je da se nameće potreba za novom metodom za energetsku integraciju industrijskog kompleksa, kojaće biti u mogućnosti da ostvari optimalnu integraciju između elemenata industrijskog kompleksa radi povećanja energetske efikasnosti.

3.1 Definisanje problema

Pri razvoju metode, potrebno je definisati problem za koji će metoda formuliši. Pod definisanjem problema podrazumeva se jasna karakterizacija sistema i elemenata koji se u njemu posmatraju, definisanje po etnih pretpostavki, ograničenja i ciljeva koji se žele postići.

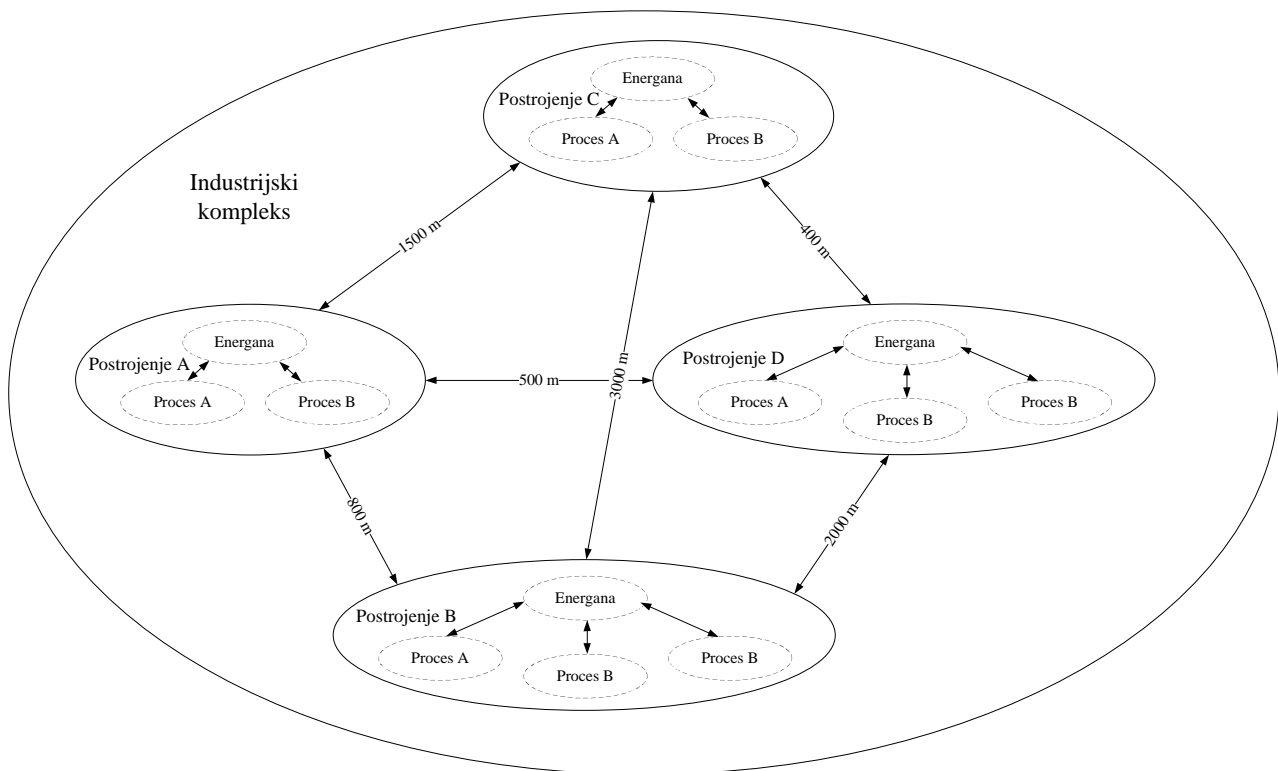
Definisanje problema omogućava da se posmatrani sistem matematički modeluje. U cilju definisanja problema neophodno je prvo definisati osnovne elemente sistema. Osnovni elementi sistema su:

- **Proces** - definiše se kao niz operacija koje prevode sirovine u proizvod. Za odvijanje procesa neophodno je obezbediti energiju u razliitim oblicima (električnu, mehaničku i termičku).
- **Proizvodno postrojenje** - definisano je kao nezavisna proizvodna jedinica koja se sastoji od jednog ili više procesa (Slika 3.1). Nezavisnost podrazumeva da postrojenje poseduje svoju sopstvenu energiju koja obezbeđuje potrebnu energiju za odvijanje procesa.



Slika 3.1 Ilustracija proizvodnog postrojenja

- **Industrijski kompleks** je definisan kao skup proizvodnih postrojenja smeštenih u odre enom administrativnom prostoru (Slika 3.2).



Slika 3.2 Ilustracija industrijskog kompleksa

Energetska integracija uslovljena je prirodnim zakonima, vlasni kim odnosima i fizi kim barijerama. Da bi se sagledala kompleksnost sistema, biće ilustrovano nekoliko osnovnih karakteristika industrijskih kompleksa. U industrijskom kompleksu, različita proizvodna postrojenja mogu biti u vlasništvu različitih kompanija i/ili akcionara. Dogovor između rukovodstava oko načina integracije i kompenzacije za isporuku energiju može imati znatan uticaj na izgled integracione mreže. Glavni prioritet za vlasnike i rukovodstvo proizvodnog postrojenja je sigurnost i pouzdanost rada procesa i maksimalno iskorišćenje kapitalnih investicija. Integracija ne bi trebalo da poveća rizik vezan za pouzdanost i sigurnost rada, ali bi sa druge strane trebalo da omogući da svi učesnici ostvare profit. Trebalo bi i uzeti u obzir sezonske promene u radu proizvodnih postrojenja, s obzirom da potencijal za uštedu energije može znatično da odstupa u zavisnosti od godišnjeg doba. Postoji mogućnost i vanrednog zaustavljanja rada u jednom od integrisanih postrojenja koje ima višak energije, što bi u slučaju integracije privremeno eliminisalo snabdevanje energijom ostalih integrisanih postrojenja, a time i do zaustavljanja proizvodnje. Rastojanja između postrojenja mogu biti velika, što bi u slučaju direktnе integracije postrojenja uslovilo velike gubitke toplotne, kao i pritiska tokom transporta. Integracija proizvodnih postrojenja ne bi trebalo da degradira pouzdanost, sposobnost kontrole i fleksibilnost svakog od proizvodnih postrojenja povezanih u energetsko-integracionu mrežu. Zato nije preporuka ljivo da se izgradi sistem sa kompleksnim direktnim ili indirektnim povezivanjem. Izvodljivost energetske integracije mora biti pažljivo procenjena sa aspekta energetskih gubitaka i kapitalnih troškova.

Na osnovu navedenih razmatranja, problem se definiše kao zahtev za uspostavljanje energetske integracije između postrojenja u okviru industrijskog kompleksa, a u cilju optimizacije energetskih resursa i povećanja profitabilnosti. Industrijski kompleks se sastoji od više procesa koji su grupisani u proizvodna postrojenja. Svako od proizvodnih postrojenja poseduje sopstvenu energiju koja obezbeđuje toplotnu, mehaničku i električnu energiju za odvijanje procesa. Standardni industrijski kompleks sa četiri nezavisna proizvodna postrojenja prikazan je na Slici (3.3). Na slici (3.3) se vide koridori koji su neophodni za razmenu energije između postrojenja, kao i postrojenja u okviru industrijskog kompleksa i njihove energane.

U cilju definisanja problema uvedeni su sledeći parametri [120]:

$P = \{p\}$, skup proizvodnih postrojenja u okviru industrijske zone

$J_p = \{j\}$, skup procesnih struja u postrojenju p koje odbacuje višak

toplote u hladne pomo ne struje

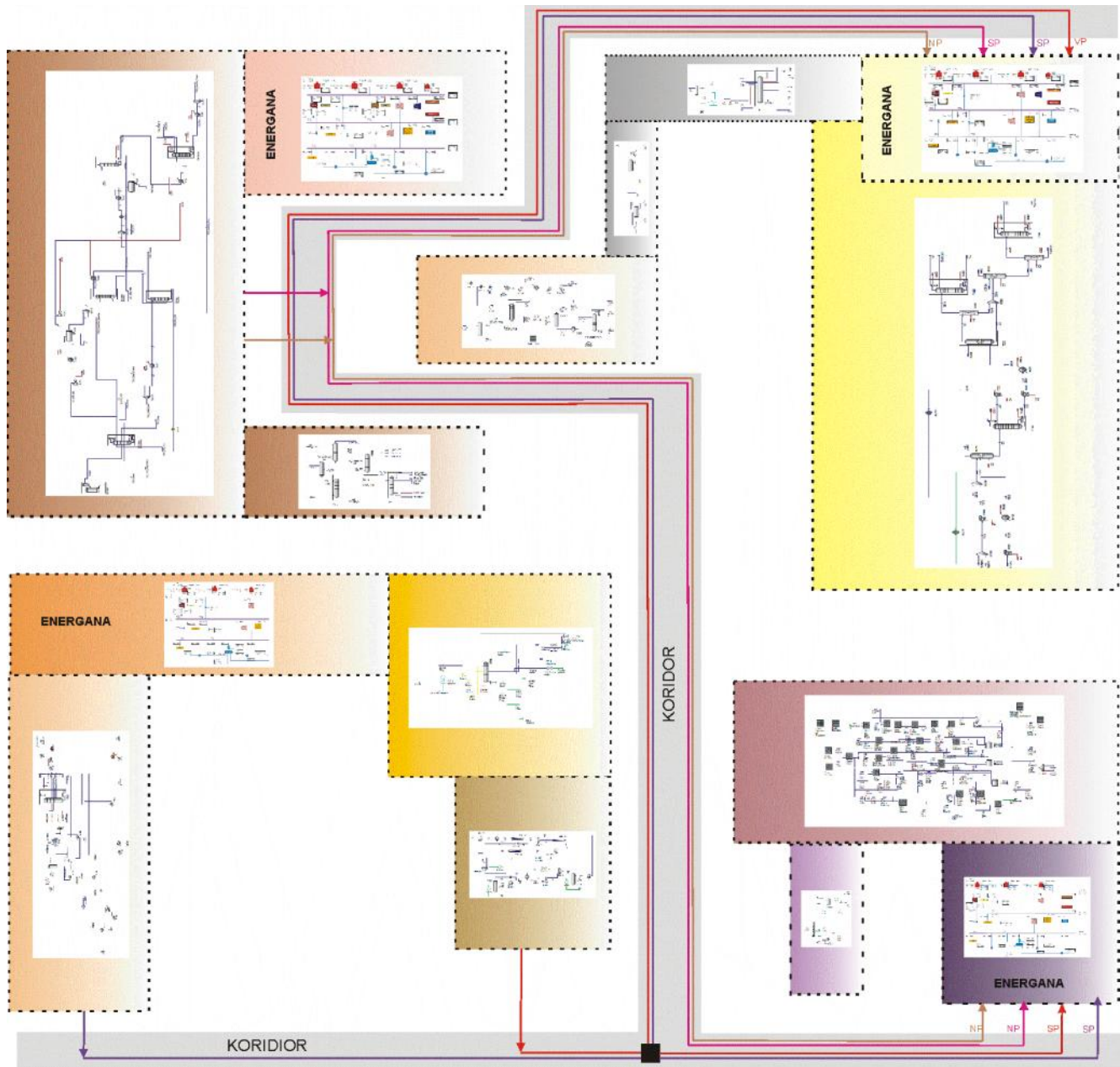
$L_p = \{l\}$, skup pomo nih struja u postrojenju p

$P^I = \{i / i \in P, J_i \neq \emptyset\}$, skup postrojenja koja su izvor toplote

$P^K = \{k / k \in P, L_k \neq \emptyset\}$, skup postrojenja koja su ponor toplote

Postrojenja koja su u skupu izvora toplote su potencijalni izvoznici toplote, a postrojenja koja su u skupu ponora toplote su uvoznici toplote. Izvodljivost energetske integracije zavisi od kvaliteta i kvantiteta toplote koja se odbacuje u hladne pomo ne struje postrojenja izvora toplote, odnosno u okolinu. Od odbace ne toplote mogu e je generisati pomo ne struje koje treba da ispune odre ene zahteve za kvalitetom. Generisane pomo ne struje u vidu vodene pare ili toplog ulja se putem cevovoda kroz pristupne koridore transportuju u energane proizvodnih postrojenja, gde potpuno ili delimi no zamenjuju pomo ne struje proizvedene u energanama tih postrojenja. Da bi energetska integracija u okviru industrijskog kompleksa bila izvodljiva, rešenja definisanog problema treba da zadovolje slede e uslove:

1. Postoje a konfiguracija energana u svakom proizvodnom procesu treba da bude netaknuta da bi se održao predhodni nivo nezavisnosti, pouzdanosti i operativnost,
2. Toplota za energetsku integraciju dobija se u delovima procesa gde se višak toplote odbacuje u pomo ne struje za hla enje (vazduh, voda),
3. Od viška toplotne energije koja se odbacuje u pomo ne struje za hla enje, proizvode se pomo ne struje koje se mogu prebaciti u sistem pomo nih struja susednog proizvodnog postrojenja, da bi delimi no ili potpuno zamenili pomo ne struje u integrisanom postrojenju,
4. Razmatra se samo energetska integracija izme u proizvodnih postrojenja.



Slika 3.3 Plan industrijskog kompleksa

3.2 Razvoj metode

U ovoj doktorskoj disertaciji predložena je sistematska metodologija za određivanje maksimalne energetske uštede i razvoj ekonomski optimalne mreže razmenjiva toplove i cevovoda, koji povezuju postrojenja izvora toplove sa postrojenjima ponora toplove.

Do sada razvijene metode za energetsku integraciju sadrže dva osnovna koraka. U prvom koraku se određuje maksimalna moguća ušteda energije, ne ulaze i u detaljno projektovanje sistema. Ovaj korak omogućava da se odredi gornja granica uštede i ukazuje koliki je potencijal za uštedu energije. Na osnovu vrednosti potencijalne uštede energije može se odrediti da li je ušteda prihvatljiva, da bi se pristupilo koraku detaljnog projektovanja integracione mreže. Ukoliko je energetska integracija prihvatljiva u sledećem koraku projektuje se sistem na osnovu unapred definisane funkcije cilja [120].

Metoda koja je razvijena u ovoj doktorskoj disertaciji sadrži navedene karakteristike korake, ali je proširena i razvijena u cilju optimizacije sistema i poboljšanja stepena efikasnosti. Predložena metoda sastoji se iz pet osnovnih koraka:

- (1) prikupljanje i obrada podataka,
- (2) određivanje potencijala za uštedu energije,
- (3) određivanje izvodljivih integracionih opcija,
- (4) određivanje maksimalne uštede energije,
- (5) projektovanje optimalne mreže razmenjivača toplice i cevovoda.

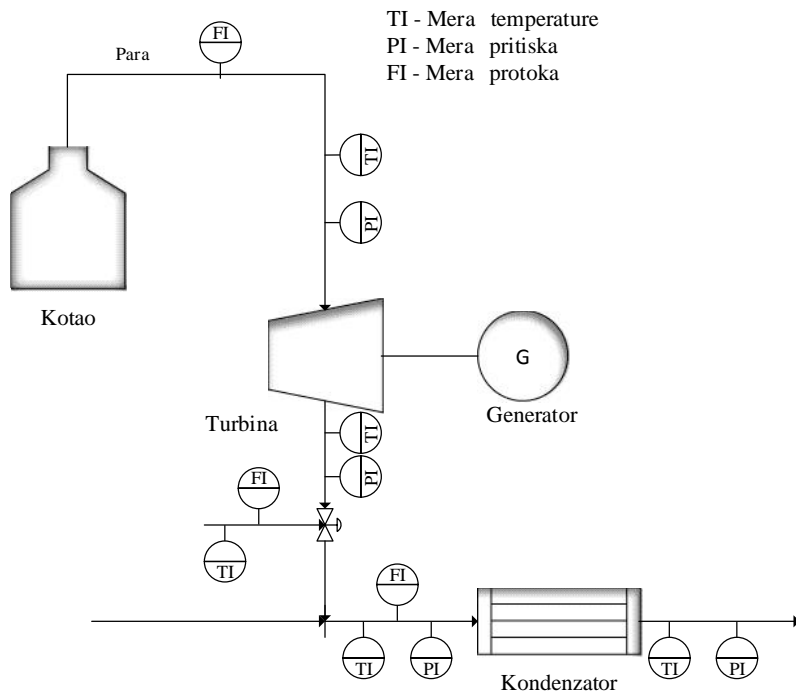
3.2.1 Prikupljanje i obrada podataka iz industrijskog kompleksa

Ta nastavka predloženog rešenja za uštedu energije zavisi od kvaliteta prikupljenih podataka. S toga je u ovom delu disertacije detaljno objašnjena vrsta neophodnih podataka, mesto i način na koji se oni prikupljaju. Podaci koje je potrebno prikupiti mogu se podeliti u četiri kategorije:

- 1) operativni podaci za sistem topnih i hladnih struja,
- 2) operativni podaci za procesne struje i hladne pomoćne struje u razmenjivačima u kojima se uklanja višak toplice iz procesa,
- 3) radni podaci za turbine u različitim režimima rada,
- 4) podaci za rastojanja između postrojenja.

3.2.1.1 Operativni podaci sistema toplih pomo nih struja

Za svaku od pomo nih struja u energanama, koja se koristi za grejanje procesne struje ili koja se generiše da bi se upotrebila u procesu potrebno je prikupiti sledeće operativne podatke: maseni protok, pritisak, maksimalnu temperaturu i temperaturu zasićenja (vodena para). Šematski prikaz dela energane i podaci koje je potrebno prikupiti, dati su na Slici (3.4). Sa slike (3.4) se vidi da se vodena para vrlo visokog pritiska proizvodi u kotlu sagorevanjem goriva, a zatim se propušta kroz turbine gde se generiše električna energija, a na izlazu iz turbine dobija se vodena para određenog kvaliteta. Na određenim mestima postavljeni su merači za protok (FI), temperaturu (TI) i pritisak (PI), na osnovu kojih se dobijaju odgovarajući podaci o pomočnim strujama.

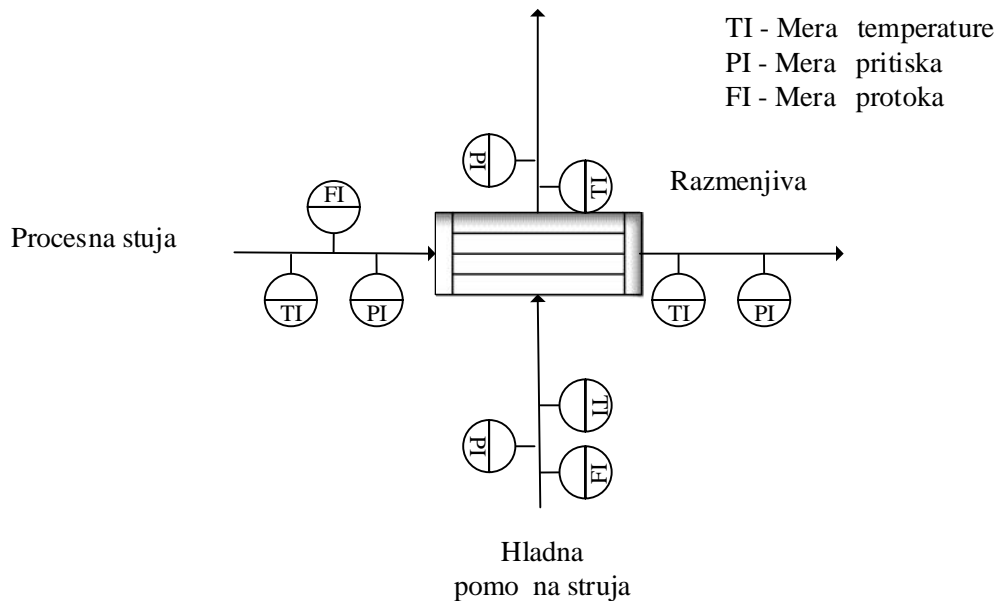


Slika 3.4. Šematski prikaz dela energane i podaci koje je potrebno prikupiti

3.2.1.2 Operativni podaci za procesne struje i hladne pomočne struje u razmenjivačima u kojima se uklanja višak topline iz procesa

Toplota koja se uklanja iz jednog od procesa u industrijskom kompleksu može se iskoristiti za grejanje drugog. Da bi odredili kvalitet topline koja se odbacuje i mogućnost njene dalje upotrebe u drugom industrijskom postrojenju, neophodno je prikupiti podatke o masenim protocima struja

koje ulaze u razmenjiva, njihove temperature i pritiske (Slika 3.5), a u sluaju fazne transformacije tako ključanja i taku rose. Na slici (3.5) su prikazana mesta gde su postavljeni mera i za protok (FI), temperature (TI) i pritisak (PI), na osnovu kojih se prikupljaju neophodni podaci.



Slika 3.5 Potrebni podaci za razmenjiva toplote topla procesna struja i hladna pomo na struju

3.2.1.3 Podaci za turbine

Procesni parametri za turbine koje je neophodno prikupiti su: maseni protok vodene pare kroz turbinu, ulazni i izlazni pritisak i temperatura (Slika 3.4). Date procesne parametre potrebno je prikupiti za različite režime rada kako bi se što bolje modelovale performanse turbine. Modelovanje rada turbine biće prikazao i objašnjeno u poglavljiju 4.3.

Specifični parametri turbine su: maksimalne i minimalne vrednosti masenog protoka, temperatura i pritisak na ulazu i izlazu iz turbine, kao i vrednosti proizvedene električne energije pri datim uslovima. Karakteristike datog uređaja se uglavnom prikupljaju iz dokumentacije priložene od strane proizvođača turbine.

3.2.1.4 Podaci za rastojanja između postrojenja

Prenos toplote iz postrojenja koja predstavljaju izvor toplote, do postrojenja koja preostavljaju ponor toplote, vrši se upotrebom pomoćnog medijuma. Tokom transporta deo energije se gubi

usled razmene toplice sa okolinom i usled pada pritiska. Koli ina gubitaka energije zavisi od rastojanja i debljine izolacije. Koridori predstavljaju trase kojima se pomo ne struje, proizvedene u jednom postrojenju (izvor toplice), prenose cevovodima ka energani drugog postrojenja (ponor toplice). Uspostavljanje sistema koridora neopodno je zbog održavanja sistema i sigurnosnih zahteva koji idustrijski kompleks treba da ispunjava. Ako koridori izme u odre enih postrojenja ne postoje, potrebno je razmotriti da li postoje mogu nosti za njihovo uspostavljanje. Iz podataka o koridorima odre uju se vrednosti rastojanja izme u postrojenja izvora i ponora toplice, koja služe za odre ivanje gubitaka toplice i pritiska pri prenosu.

3.2.2 Odre ivanje potencijala za uštedu energije

Višak toplice iz procesa uklanja se razmenom toplice izme u tople procesne struje i hladne pomo ne struje. U cilju odre ivanja potencijala za uštedu energije potrebno je proceniti kvalitet toplice koja se uklanja iz procesa. Tokom razmene toplice izme u procesne i rashladne pomo ne struje usled poveanja entropije dolazi do degradiranja kvaliteta toplice energije. Stepen degradacije odre uje se preko velike stanje eksnergija, ija promena omoguava da se odredi nepovratnost procesa, odnosno neiskorišten potencijal toplice koja se uklanja iz procesa upotrebom hladne pomo ne struje. Promena eksnergije je definisana slede im izrazom:

$$\Delta Ex = \Delta H - T_0 \cdot \Delta S = H - H_1 - T_0 \cdot (S - S_1) \quad (3.18)$$

gde su: Ex - eksnergija (kW), H - entalpija (kW), S - entropija (kW/K) i T_0 - standardna temperatura. Promena entropije za razmenu toplice na konstantnoj temperaturi definisana je drugim zakonom termodinamike:

$$\Delta S = \frac{Q}{T} \quad (3.19)$$

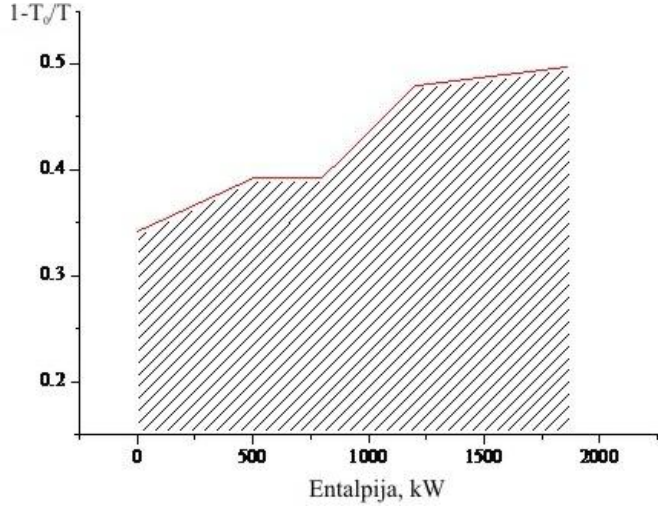
Zamenom jedna ina (3.19) u (3.18) dobija se jedna ina (3.20):

$$\Delta Ex = \Delta H - T_0 \frac{Q}{T} = \left(1 - \frac{T_0}{T} \right) Q = \left(1 - \frac{T_0}{T} \right) \Delta H \quad (3.20)$$

gde su: Q - razmenjena toplopa (kW), T - temperatura na kojoj se toplopa razmenjuje (K).

Jedna ina (3.20) definiše promenu eksnergije pri toplopoj razmeni na konstantnoj temperaturi. Pošto prilikom razmene toplice temperatura fluida nije konstantna, u analizu je neohodno uvesti

koncept eksersetskih kompozitnih krivih [121]. Na Slici (3.6) ilustrovana je eksersetska kompozitna kriva koja prikazuje promenu eksergije fluida tokom razmene topline. Površina ispod krive prikazuje zavisnost $1-T_0/T$ od promene entalpije fluida i jednaka je promeni eksergije.



Slika 3.6. Eksersetska kompozitna kriva

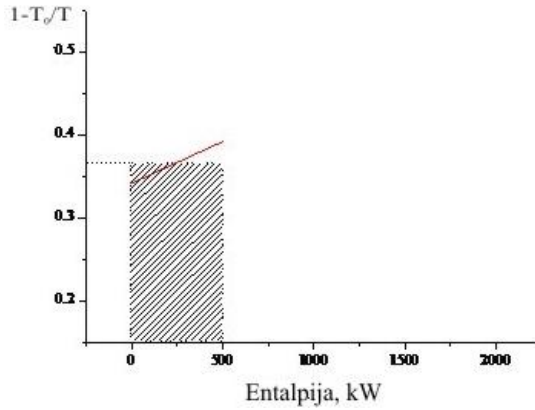
Promena eksergije se sada može definisati kao:

$$\Delta Ex = \int_{H_1}^{H_2} \left(1 - \frac{T_0}{T(H)} \right) dH \quad (3.21)$$

Eksersetska kompozitna kriva prikazana na Slici (3.6) može se podeliti na linearne segmente. Zavisnost u segmentu može se aproksimirati linearnom funkcijom, tako da se promena eksergije u datom segmenetu može odrediti sledećom jednačinom:

$$\Delta Ex_i = \left(1 - \frac{T_0}{\bar{T}_i} \right) \cdot \Delta H_i \quad (3.22)$$

gde je \bar{T}_i srednja temperatura u segmentu i , koja se jednaka aritmetičkoj sredini temperature na početku i na kraju segmenta (Slika 3.7).

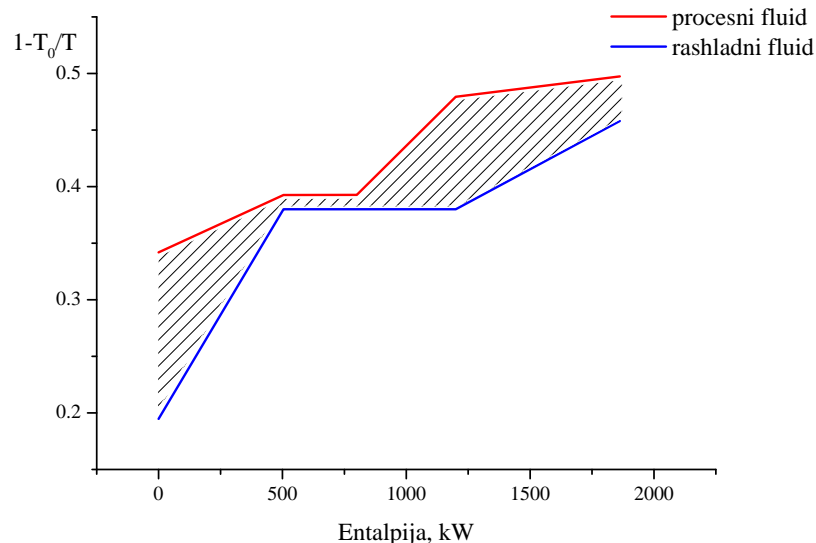


Slika 3.7 Srednja temperatura segmenta

Zbirom promena eksergija lineranih segmenata određuje se ukupna promena eksergije, koja se može definisati sledećom jednačinom:

$$\Delta Ex = \sum_i \left(1 - \frac{T_0}{T_i} \right) \cdot \Delta H_i \quad (3.23)$$

Eksergetske kompozitne krive za procesnu struju i rashladnu pomoćnu struju tokom razmene topline prikazane su na Slici (3.8). Osenjući deo između dve eksergetske kompozitne krive predstavlja gubitak eksergije tokom toplotne razmene.



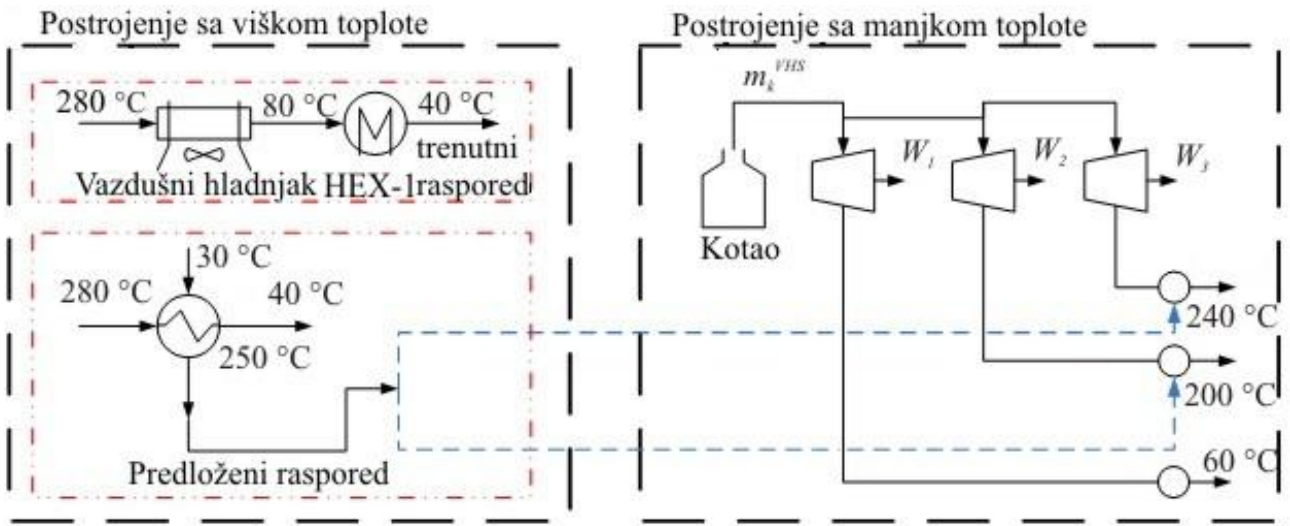
Slika 3.8 Eksergetske kompozitne krive u razmenjivaču topline

Primenom jedna ine (3.23) za toplu procesnu i hladnu pomo nu struju, gubitak eksergije tokom toplotne razmene se može definisati kao:

$$\Delta Ex_{loss} = \Delta Ex^{pf} - \Delta Ex^{rf} = \sum_i \left(1 - \frac{T_0}{T_{pf}} \right) \cdot \Delta H_i - \sum_i \left(1 - \frac{T_0}{T_{rf}} \right) \cdot \Delta H_i \quad (3.24)$$

gde je: Ex_{loss} - gubitak eksergije (kW), Ex^{pf} - promena eksergije procesnog fluida, Ex^{rf} - promena eksergije rashladnog fluida, T_{pf} - temperatura procesnog fluida, T_{rf} - temperatura rashladnog fluida.

Da bi se smanjio gubitak eksergije potrebno je zameniti postoje u hladnu pomo nu struju novom pomo nom strujom, koja se može upotrebiti kao topla pomo na struja u nekom od postrojenja u industrijskom kompleksu, na na in ilustrovan na Slici (3.9).



Slika 3.9 Uspostavljanje veze između postrojenja

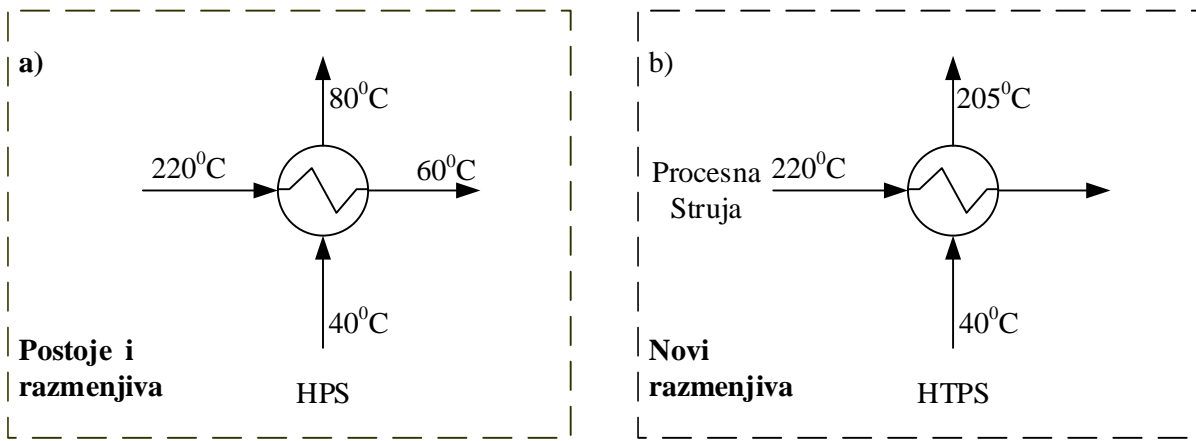
Kao što se sa Slike (3.9) vidi pomo u novog predloženog rasporeda moguće je proizvesti toplu pomo na struju, iz postrojenja koje ima višak toplopute, koja može da zameni pomo na struju u postrojenju koje ima manjak toplopute. U slučaju prikazanom na Slici (3.9), proizvodi se topla pomo na struju temperature od 250 °C, u postrojenju koje ima višak toplopute, i ova topla pomo na struju može da zameni pomo na struju od 200 °C i 240 °C u postrojenju sa manjkom toplopute. Kako bi definisali pomo na struju neophodno je uvesti termin hladno-topla pomo na struju

(HTPS), koja u postrojenju koje predstavlja izvor toplice služi kao hladna pomo na struju, dok u postrojenju koje predstavlja ponor toplice služi kao topla pomo na struju.

Potrebno je dati odgovor na pitanje da li se višak toplotne energije koju poseduje izvor toplice može upotrebiti za povećanje energetske efikasnosti industrijskog kompleksa. Ovo zavisi od toga da li toplotni izvor može da proizvede pomočnu struju dovoljnog kvaliteta koja bi se iskoristila kao topla pomočna struja u postrojenjima ponora toplice. Da bi numerički definisali da li postoji mogućnost za povećanje kvaliteta toplice uvođenjem nove HTPS, uvodi se velicina integracioni potencijal [120]. Ova velicina definisana je kao odnos promene eksnergije HTPS u novom razmenjivaču u toplice (Slika 3.10 b) i promene eksnergije hladne pomočne struje u postojećem razmenjivaču u toplice (Slika 3.10 a). Intergacioni potencijal se definiše sledećim jednačinom:

$$Ip = \frac{\Delta Ex^{HTPS}}{\Delta Ex^{HPS}} \quad (3.25)$$

gde su: ΔEx^{HTPS} – eksnergija HTPS u novo uspostavljenom razmenjivaču u toplice, ΔEx^{HPS} – eksnergija hladne pomočne struje u postojećem razmenjivaču u toplice i Ip – integracioni potencijal.



Slika 3.10 Razmena toplotne energije između procesne i pomočne struje: a) postojeći razmenjivač, b) novi razmenjivač

Intergacioni potencijal je indikator koji ukazuje za koliko se može unaprediti kvalitet toplotne energije HTPS u odnosu na trenutnu situaciju. Velike vrednosti integracionog potencijala ukazuju da se može generisati pomočna struja sa dosta većim kvalitetom toplotne energije. Korišćenjem

vrednosti integracionog potencijala mogu se veoma brzo ispitivati svih mogunosti za povećanje kvaliteta toplotne energije. Pomoći u integracionog potencijala mogu se da se u početnom koraku odbace opcije koje daju veoma malo unapređenje kvaliteta toplote te usmeravaju analizu na opcije koje mogu dovesti do značajne uštede.

Stjepovic i Linke su predložili proceduru za određivanje eksergije HTPS u novo uspostavljenom razmenjiva u toplotnoj mjeri se vrednost koristi pri određivanju integracionog potencijala [125]. U predloženoj proceduri eksergija HTPS, određuje se tako što se selektuje topla pomoći na struju iz skupa pomoći nih struja, koje se upotrebljavaju u industrijskom kompleksu, koja ima najveću izlaznu temperaturu, a da je pri tome njena maksimalna temperatura manja od maksimalne temperature procesne struje. Nakon selektovanja tople pomoći ne struje određuje se maseni protok HTPS iz energetskog bilansa razmenjiva u toplotne. Nedostatak predložene procedure je što se topla pomoći na struju selektuje samo na osnovu njene maksimalne temperature. Na primer, u slučajuje kada se koristi vodena para kao topla pomoći na struju i to kao veoma pregrejana, predložena metoda ne dovodi do minimizacije gubitka eksergije. Iz tog razloga, predložena je nova procedura koja otklanja nedostatke predhodne. Nova procedura podrazumeva da se za eksergiju HTPS uzme eksergija tople pomoći ne struje koja minimizuje gubitak eksergije definisana jedna inom (3.24).

3.2.3 Izvodljive integracione opcije za upotrebu viška toplotne

Nakon određivanja integracionog potencijala za svaku od procesnih struja sa viškom toplotom, potrebno je odrediti da li je povezivanje između postrojenja izvodljivo. Svaka nova HTPS može biti usmerena od postrojenja izvora toplotne energije drugog postrojenja, koje predstavlja ponor toplotne, kao što je prikazano na Slici (3.9).

Treba razmotriti da li je povezivanje postrojenja izvodljivo i da li je uslovljeno ograničenjima vezanim za kvantitet i kvalitet HTPS koju je moguće transportovati.

Glavna prednost predloženog načina integracije je da postoje i sistem pomoći nih struja (energana) svakog od integriranih postrojenja ostaje nepromenjen. Jedina promena je uvođenje novog razmenjiva u procesne i nove HTPS u postrojenju koje predstavlja izvor toplotne. Imajući u vidu, sposobnost kontrole procesa i fleksibilnost procesa ostaju na njihovom početnom nivou, jer konfiguracija pomoći nih struja postrojenja izvora i ponora toplotne nije promenjena.

Važno je napomenuti da se postrojenja, koja su integrisana na predloženi na in, u sluaju incidentnih situacija mogu vratiti na potetno stanje, odnosno na nivo prvobitnih operativnih uslova u energani.

HTPS koja se generiše u izvoru topote može se povezati sa sistemom pomoćnih struja ponora topote, samo ako ima veću ili jednaku temperaturu od tople pomoći struje sa kojom se spaja. Prema tome izvodljivost povezivanja između generisane HTPS i tople pomoći struje (TPS) u energani ponora topote definisano je sledećim izrazom [120]:

$$w_{i,j,k,l}^T = \begin{cases} 1 & \text{za } (T_{\max}^{novo})_{i,j} \geq f_{k,l} \\ 0 & \text{za } (T_{\max}^{novo})_{i,j} < f_{k,l} \end{cases} \quad (3.26)$$

gde su: $w_{i,j,k,l}^T$ - binarna promenjiva koja ukazuje na izvodljivost uspostavljanja veze između postrojenja izvora i i procesne struje j , i postrojenja ponora k i tople pomoći struje l ; $(T_{\max}^{novo})_{i,j}$ - maksimalna temperatura HTPS, koja se generiše u postrojenju izvora i , u razmeni topote sa procesnom strujom j ; $f_{k,l}$ - minimalna prihvatljiva temperatura tople pomoći struje l , u postrojenju ponora topote k .

Na isti način HTPS se može povezati sa topom pomoći strujom u ponoru topote, ako ima isti ili veći pritisak od nje. Ograničenje koje je uslovljeno pritiskom može se matematički opisati [120]:

$$w_{i,j,k,l}^P = \begin{cases} 1 & \text{za } (P_{\max}^{novo})_{i,j} \geq f_{k,l} \\ 0 & \text{za } (P_{\max}^{novo})_{i,j} < f_{k,l} \end{cases} \quad (3.27)$$

gde su: $w_{i,j,k,l}^P$ - binarna promenljiva koja ukazuje na izvodljivost uspostavljanja veze između postrojenja izvora i , i procesne struje j , i postrojenja ponora k , i tople pomoći struje l ; $(P_{\max}^{novo})_{i,j}$ - maksimalan pritisak HTPS koji se generiše u postrojenju izvora i u razmeni topote sa procesnom strujom j ; $f_{k,l}$ - minimalni prihvatljivi pritisak tople pomoći struje l u postrojenju ponora topote k .

Veze izme u postrojenja koje ne zadovoljavaju uslove date jedna inama (3.26) i (3.27) isklju ene su iz dalje analize. Preostala izvodljiva povezivanja se podvrgavaju daljoj analizi kako bi se procenio uticaj rastojanja na energetsku integraciju. Rastojanje izme u izvora topote i ponora topote ima veliki uticaj na energetska integracija kako sa temodinami kog tako i sa ekonomskog aspekta. Pove anjem rastojanja izme u postrojenja izvora topote i ponora topote rastu kapitalni troškovi i gubitak topote prilikom transporta. Temperatura na kojoj treba da se generiše HTPS da bi se transportovala iz postrojenja izvora topote i do postrojenja ponora topote k , definisana je slede im izrazom:

$$T_{i,j,k,l}^{novo} = T_{k,l} + \Delta T_{i,j,k,l} \quad (3.28)$$

gde je: $T_{i,j,k,l}^{novo}$ - temperatura na kojoj je potrebno generisati HTPS; $\Delta T_{i,j,k,l}$ - pad temperature prilikom prenosa od izvora topote i do ponora topote k .

Pad temperature se utvr uje za odre ene atmosferske uslove, debljinu izolacije i temperaturu pomo ne struje.

3.2.4 Odre ivanje maksimalnog iskorš enja odba ene topote

Karakteristika svih do sada razvijenih metoda za energetska integracija je da je neophodno napraviti koncept odre ivanja maksimalne teorijske uštede energije pre faze projektovanja integracionog sistema. Upotreba ovog koncepta omogu ava da se relativno jednostavno utvrdi da li je koli ina energije koja se može uštedeti dovoljno isplativa da bi se otpo elo sa fazom detaljnog projektovanja integracionog sistema. Ako je potencijal za uštenu energije integrisanjem mali, odnosno nije profitabilan, nepotrebno je i i na korak projektovanja mreže razmenjiva a topote. U metodi razvijenoj u ovoj doktorskoj disertaciji koncept odre ivanja maksimuma uštude energije pre projektovanja je tako e sastavni deo metode. Nakon odre ivanja potencijala za uštenu energije, predložena metoda definiše korake za projektovanje mreže razmenjiva a topote i cevovoda koji bi omogu ili maksimalnu profitabilnost. Nakon tre eg koraka u kome se uklanjanju sve neizvodljive integracione opcije, u koraku koji je opisan u ovom poglavljju odre ujemo najoptimalnije integracione opcije. Cilj ovog koraka je da se odredi maksimalna efikasnost kombinovane proizvodnje elektri ne energije i toplih pomo nih struja u industrijskom kompleksu.

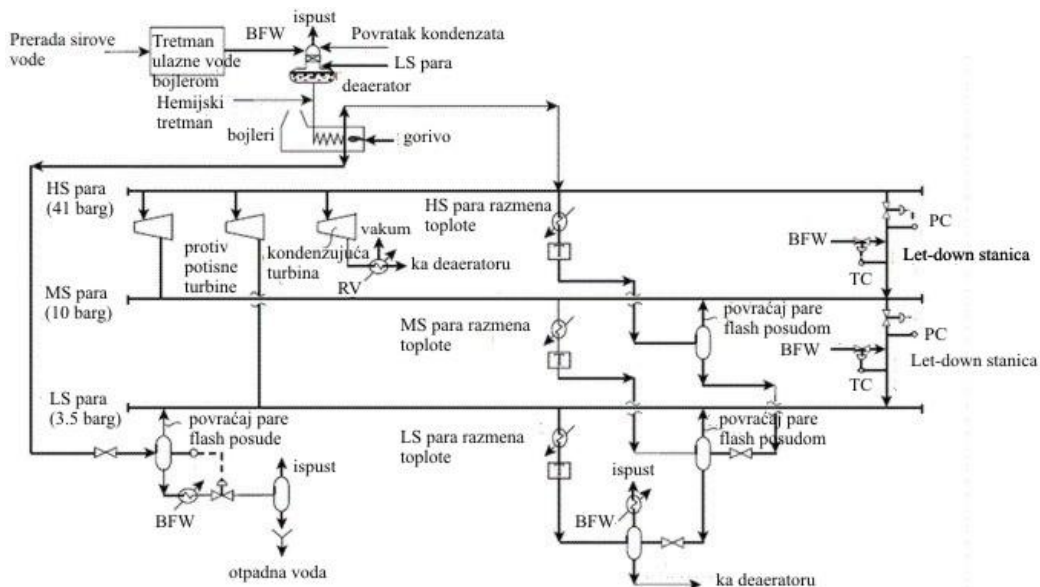
U ovoj tezi će se razmatrati dve osnovne alternative, u zavisnosti od prioriteta:

- (i) Maksimizovanje proizvodnje električne energije, pri čemu je potrošnja goriva konstantna,
- (ii) Minimizovanje potrošnje fosilnih goriva u energanama uz konstantu proizvodnju električne energije i toplih pomognućih struja.

Pojednostavljen prikaz energana u industrijskom kompleksu dat je na Slici (3.11), koji se sastoji od protiv-pritisnih i kondenzujućih parnih turbin [122]. Ekspanzijom pare veoma visokog pritiska kroz protiv-pritisnu turbinu, generiše se osovinski rad i para zahtevanog kvaliteta. Proizvedeni osovinski rad može se direktno povezati sa uređajima u postrojenju koji zahtevaju rad (kompresori, pumpe, vazdušni hladnjaci itd.) ili sa strujnim generatorom. Rashladno-grejni fluid se dovodi u glavnu liniju tople pomoćne struje i spaja se sa strujom koja izlazi iz protiv-pritisne turbine Slika (3.11) i za nju važi jedna ina (3.29):

$$m_{k,l}^{ps} + m_{i,j,k,l} - m_{k,l}^{turb} = 0 \quad (3.29)$$

gde je: $m_{k,l}^{ps}$ - maseni protok pomoćne struje l , u postrojenju ponora topotek, $m_{i,j,k,l}$ -maseni protok HTPS, $m_{k,l}^{turb}$ - maseni protok kroz turbinu pomoćne struje l , u postrojenju ponorak.



Slika 3.11 Šematski prikaz energane i sistema pomoćnih struja

Protok tople pomo ne struje $m_{k,l}^{ps}$ potrebno je da bude nepromenjen, tako da se na osnovu jedna ine (3.29) može “podesiti“ maseni protok pare kroz turbinu $m_{k,l}^{turb}$, i maseni protok HTPS $m_{i,j,k,l}$. Parne turbine koje su direktno vezane za delove opreme u postrojenju i zahtevaju dovo enje rada, moraju da obezbede konstantnu koli inu energije, tako da podešavanje protoka kroz ove turbine nije izvodljivo. To zna i da je protok mogu e regulisati samo u slu aju kada je turbina povezana sa generatorom elektri ne energije. Smanjenjem masenog protoka kroz protiv - pritisne parne turbine dovodi do smanjenja proizvodnje elektri ne energije, ija se koli ina može nadomestiti ili uvozom iz spoljne mreže ili usmeravanjem viška pare veoma visokog pritiska ka kondenzuju im turbinama, pri emu dolazi do pove anja proizvodnje elekti ne energije. Izbor optimalne alternative zavisi, pre svega od cene elektri ne energije koja se uvozi ili generiše u energani.

Na osnovu Slike (3.11) za svako postrojenje k , važi uslov da je proizvodnja pare u kotlu jednaka protocima pare kroz turbine u sistemu. Uslov se može matemati ki opisati kao:

$$\sum_l m_{k,l}^{turb} - m_k^{vap} = 0 \quad (3.30)$$

gde je: m_k^{vap} - proizvedena koli ina pare veoma visokog pritiska (VHS).

Protok kroz turbine može imati vrednost koja se nalazi izme u minimalne i maksimalne grani ne vrednosti, koje su specifi ne za odre enu turbinu tj. predstavljaju parametre turbine. Ako je turbina isklju ena iz sistema vrednost protoka ima nultu vrednost. Da bi se matemat ki definisala ograni enja masenog protoka uvodi se binarna promenljiva $u_{k,l}$, koja ima vrednost 1 ako turbina radi ili vrednost 0 ako je turbina isklju ena iz sistema. Ograni enja vezana za maseni protok kroz turbinu mogu se opisati slede im izrazom:

$$u_{k,l} \cdot m_{k,l}^{t\min} \leq m_{k,l}^{turb} \leq u_{k,l} \cdot m_{k,l}^{t\max} \quad (3.31)$$

$m_{k,l}^{t\min}, m_{k,l}^{t\max}$ - minimalni i maksimalni protok kroz turbine pomo ne struje l u postrojenju k .

Sli no protoku kroz turbine i koli ina HTPS fluida uzima vrednost izme u minimalne i maksimalne, a ako ne postoji konekcija, vrednost masenog protoka uzima 0 vrednost. Grani ne vrednosti masenog protoka HTPS fluida se mogu prikazati kao:

$$b_{i,j,k,l} \cdot m_{i,j,k,l}^{\min} \leq m_{i,j,l,k} \leq b_{i,j,k,l} \cdot m_{i,j,k,l}^{\max} \quad (3.32)$$

gde su: $m_{i,j,k,l}^{\min}$, $m_{i,j,k,l}^{\max}$ - minimalni i maksimalni maseni protoci fluida.

Toplota koja je potrebna za proizvodnju HTPS fluida, koji se proizvodi u postrojenju izvora toplote, mora da bude manja ili jednaka višku toplotu koji izvor poseduje. Dato ogani enje se matemati ki može izraziti slede om jedna inom:

$$\sum_k \sum_l m_{i,j,k,l} \left[Cp_L \left(\text{''}_{k,l}^{\text{sat}} - \text{''}_{in,i} \right) + \Delta H_{vap} \left(\text{''}_{k,l}^{\text{sat}} \right) + Cp_G \left(\text{''}_{k,l}^{\text{gas}} - \text{''}_{k,l}^{\text{sat}} \right) \right] \leq \Theta_{i,j} \quad (3.33)$$

gde je: Cp_L - toplotni kapacitet pomo ne struje u te nom stanju (kJ/kg/K), Cp_G - toplotni kapacitet pomo ne struje u gasovitom stanju (kJ/kg/K), $\Delta H_{vap} \left(\text{''}_{k,l}^{\text{sat}} \right)$ - latentna toplota fazne transformacije pomo ne struje l , u postrojenju ponora toplote k (kJ/kg), $\text{''}_{in,i}$ - ulazna temperatura te ne faze pomo ne struje koja se generiše u postrojenju i ($^{\circ}$ C), $\text{''}_{k,l}^{\text{sat}}$ - temperatura zasi enja pomo ne struje l , postrojenja ponora k ($^{\circ}$ C), $\text{''}_{k,l}^{\text{gas}}$ - je zahtevana temperatura povra ene pomo ne struje na ulazu u cevovod u cilju stvaranja izvodljive konekcije sa pomo nom strujom l , postrojenja ponora k ($^{\circ}$ C), i $\Theta_{i,j}$ - višak toplote koji izvor poseduje (kJ/kg).

HTPS iz razli itih postrojenja mogu se dovesti u glavnu pomo nu struju drugog postrojenja, što je definisano slede im izrazom:

$$m_{k,l}^{ps} + \sum_l m_{i,j,k,l} - m_{k,l}^{turb} = 0 \quad (3.34)$$

Jedna ine od (3.29) do (3.34) definišu ograni enja u linearnoj formi. Funkcije cilja za dve predložene alternative za integraciju industrijskog kompleksa mogu se definisati kao:

- Maksimizovanje proizvodnje elektri ne energije,

$$\max \Phi = \sum_k \sum_l W_{k,l} \quad (3.35)$$

- Minimizovanje potrošnje fosilnih goriva,

$$\min \Psi = \sum_k m_k^{fuel} = \sum_k m_k^{VHS} \quad (3.36)$$

gde je: $W_{k,l}$ - proizvedena snaga na turbini u postrojenju ponora k , pomo ne struje l , m_k^{fuel} - maseni protok goriva u postrojenju ponora k , m_k^{VHS} - maseni protok pare vrlo visokog pritiska u postrojenju ponora k .

Jedna ine od (3.29) do (3.36) definišu mešovito celobrojno - linearni optimizacioni problem, ijam rešavanjem se dobijaju optimalne vrednosti promenljivih za definisanu funkciju cilja. Dobijene vrednosti odgovaraju maksimalnim vrednostima uštade koje se mogu ostvariti u postoje em industrijskom kompleksu. Odre ivanjem maksimalne uštade pre projektovanja omogu ava da se sagleda mogu nost uštade i sama efikasnost industrijskog kompleksa. Ukoliko postoje mogu nosti za zna ajnom uštadom pristupa se slede em koraku, u kome se uklju uju i ekonomski aspekti.

3.2.5 Projektovanje integracionog sistema upotrebom viška toplove i kogeneracijom

Nakon odre ivanja maksimalnog iskoriš enja viška toplove u industrijskom kompleksu i procene da li postoje mogu nosti za zna ajna unapre enja, pristupa se koraku projektovanja mreže cevovoda i razmenjiva a toplove. Formulacija konkretnog problema zavisi od ekonomskih ciljeva ekoloških normi i zakona, tako da se ne može definisati opšta funkcija cilja koja bi opisivala sve slu ajeve. U ovoj doktorskoj disertacije predložena je funkcija cilja koja uzima u obzir samo ekonomski kriterijume, tj. maksimizuje ukupni godišnji profit (GP) i može se izraziti slede om jedna inom:

$$\max GP = R - \frac{TOC}{SOL} \quad (3.37)$$

GP - ukupni godišnji profit, R - vrednost proizvedena integracijom, TOC - ukupni kapitalni troškovi i SOL - radni vek sistema.

Kao i u koraku 3.4, razmatra emo dve alternative: 1) maksimizovanje proizvodnje elektri ne energije, 2) minimizovanje potrošnje goriva.

Ukupan godišnji prihod u funkciji cilja (jedna ina 3.37) se druga ije definiše u zavisnosti od razmatrane alternative. Za slu aj maksimizovanja proizvodnje elektri ne energije ukupna vrednost dobijena integracijom je definisan slede om jedna inom:

$$R = \sum_k \sum_l (E_{k,l}^{novo} - E_{k,l}^{trenutno}) \cdot C_{el} \quad (3.38)$$

gde je: $E_{k,l}^{novo}$ - vrednost generisane električne energije nakon uspostavljanje integracije, $E_{k,l}^{trenutno}$ - vrednost generisane električne energije pre uspostavljanja integracije, C_{el} – cena električne energije.

Za slučaj minimizovanja potrošnje goriva, ukupan godišnji prihod se može definisati sledećim jednačinom:

$$R = \sum_k \sum_l (m_{k,l}^{G,trenutno} - m_{k,l}^{G,novo}) \cdot C_g \quad (3.39)$$

$m_{k,l}^{G,trenutno}$ - maseni protok goriva koji se troši pre energetske integracije, $m_{k,l}^{G,novo}$ - maseni protok goriva koji se troši nakon energetske integracije i C_g - cena goriva.

Ukupni kapitalni troškovi, mogu se izraziti sledećim jednačinom:

$$TCC = \sum_{i \in I^P} \sum_{j \in J^I} \sum_{k \in K^P} \sum_{l \in L^K} b_{i,j,k,l} \cdot (Cost_Hex_{i,j,k,l} + Pcul_{i,j,k,l} \cdot L_{i,j,k,l}) \quad (3.40)$$

gde su: $L_{i,j,k,l}$ - rastojanje (m) između novouspostavljenog razmenjivača u prostorijenju izvoru i , procesne struje j i TPS l u postrojenju ponora k , $Pcul$ - odgovarajuća cena cevi (\$/m) i $CostHex$ - cena koštanja razmenjivača a toplice (\$).

Jednačine (3.29-3.34) i (3.39-3.40) definišu mešovito celobrojno – nelinerani optimizacioni problem, i njim rešavanjem se dobijaju optimalne vrednosti promenljivih za definisanu funkciju cilja. Rešavanjem ovog optimizacionog problema dobija se optimalna mreža razmenjivača i cevovoda za definisanu funkciju cilja.

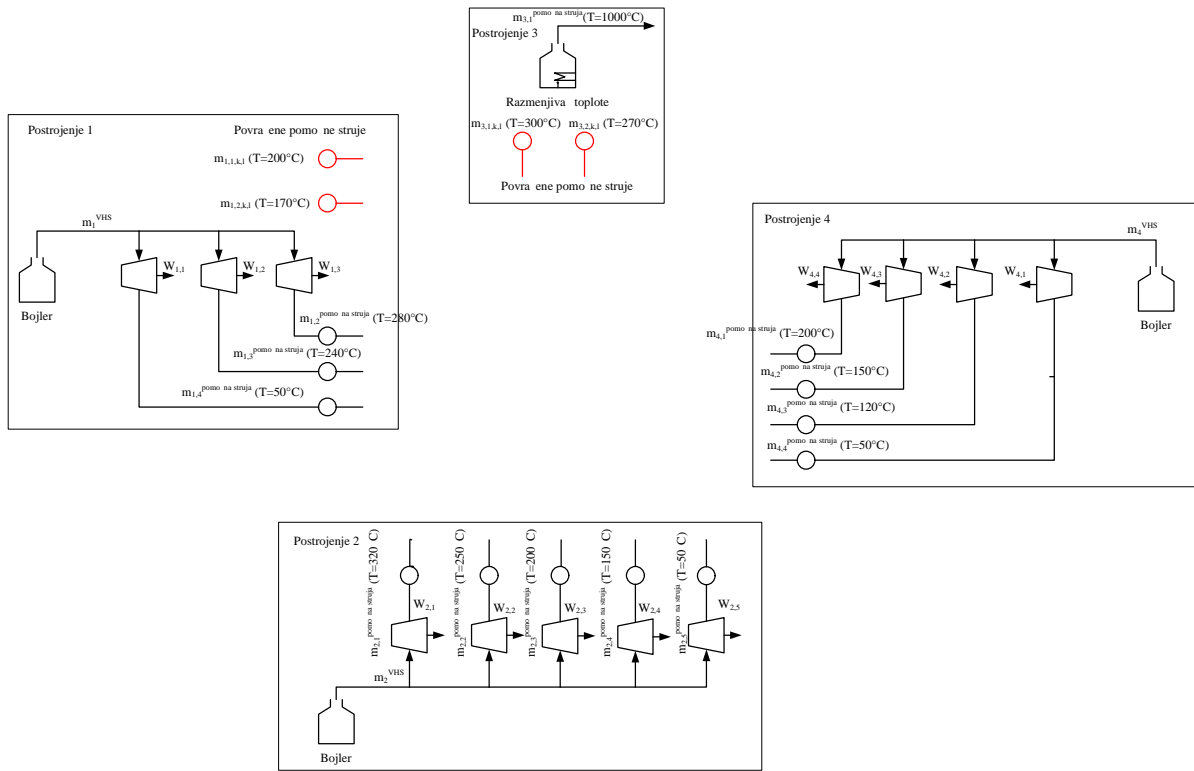
Detaljna primena metode za energetsku integraciju industrijskog kompleksa data je u sledećem poglavljju.

4. Primena metode na studiju slu aja

U ovom poglavlju biće prikazana i diskutovana primena metode za energetsku integraciju industrijskog kompleksa, koji je dat slikom (4.1), koja je razvijena u prethodnom proglašenju. Sa Slike (4.1) se vidi da se industrijski kompleks sastoji od četiri postrojenja zajedno sa nezavisnim energanama za svako postrojenje. Takođe, tabelama (4.1), (4.2) i (4.3) dati su podaci za zahteve za toplim pomoćnim strujama u industrijskom kompleksu, podaci za procesne i hladne pomoći ne struje u razmenjivačima toplice i podaci za proizvodnju električne energije i maseni protok kroz turbine. Na osnovu ovih podataka izvršiće se studija sludge datog industrijskog kompleksa. Cilj metode je da se uspostavi integraciona mreža koja bi povećala sposobnost industrijskog kompleksa da toplostnu energiju iskoristi na što efikasniji način. Višak toplice koji se u potpunosti konfiguraciji industrijskog kompleksa odbacuje u okolinu, upotrebom predložene metode moguće je delimično vratiti u sistem toplih pomoći struja industrijskog kompleksa. Kako bi se što detaljnije ilustrovala primena metode (iz poglavlja 3), predpostavimo da se industrijski kompleks sastoji od četiri nezavisna postrojenja (Slika 4.1). Svako od postrojenja poseduje sopstvenu energiju kojom se obezbeđuje potrebna količina toplostne, mehaničke i električne energije (Slika 4.1). Primena svakog od koraka metode, koji su dati u predhodnom poglavlju detaljno je prikazana u narednom tekstu.

4.1 Prikupljanje i obrada podataka

U delu 3.3.1 definisane su četiri osnovne kategorije podataka koje je potrebno obezbediti da bi se metoda uspešno primenila i to su: (i) operativni podaci za sistem toplih pomoći struja, (ii) operativni podaci za procesne struje i hladne pomoći struje u razmenjivačima toplice u kojima se uklanja višak toplice iz procesa, (iii) radni podaci za turbine u različitim režimima rada i (iv) dispazicioni podaci (rastojanja između postrojenja).



Slika 4.1 Šematski prikaz konfiguracije energana u industrijskom kompleksu

4.1.1 Operativni podaci sistema toplih pomo nih struja

Za nesmetano odvijanje procesa, potrebne su tople pomo ne struje (TPS) razli itog toplotnog kvaliteta. U cilju što ve e iskoriš enosti toplotne energije proizvedene sagorevanjem fosilnih goriva, u energanama se u kogenerativnom procesu deo toplote koristi za proizvodnju tople pomo ne struje, a deo toplote se pretvara u osovinski rad upotrebom turbina. Izvesna koli ina TPS se može proizvesti upotrebom “let-down“ stanica. Upotreba “let-down“ stanica za proizvodnju TPS je energetski neefikasan proces jer se gubi radni potencijal usled gubitka eksergije pritiska, ali uprkos energetskoj neefikasnosti, upotreba ovih ure aja omogu uje zna ajnu fleksibilnost rada energana.

Predložena metoda za energetsку integraciju industrijskog kompleksa podrazumeva da se deo tople pomo ne struje, koja je proizvedena u energani, može zameniti toplom strujom koja je proizvedena u drugom nezavisnom postrojenju razmenom toplote izme u hladne pomo ne struje i tople procesne struje. Zamena dela TPS omogu ena je manipulacijom proizvodnje i distribucije vodene pare u energanama. S druge strane, manipulacija proizvodnje i distribucija vodene pare uti e na proizvodnju elektri ne energije u energanama. U zavisnosti od cene elektri ne energije,

smanjenje ili povećanje generisanja električne energije u energetskama usled integracije može se nadomestiti uvozom iz spoljnih izvora ili izvozom u električnu mrežu.

TPS se proizvode propuštanjem vodene pare veoma visokog pritiska kroz turbine i "let down" stanice. Da bi se odredile karakteristike TPS potrebno je da se pored podataka o masenom protoku prikupe i podaci o pritisku, temperaturi suvozasi te pare i temperaturi zasišenja.

S obzirom na to da većina savremenih postrojenja poseduje centralizovan sistem za merenje i upravljanje, svi navedeni podaci mogu se preuzeti iz direktno merenih kontinualnih podataka. Potrebni podaci za TPS za sva četiri posmatrana postrojenja data su u Tabeli (4.1):

Tabela 4.1 Zahtevi za toplim pomoćnim strujama u industrijskom kompleksu

Tople pomoćne struje					
Postojenje Broj	Vrsta	T _{ulaz} (°C)	T _{izlaz} (°C)	P (bar)	Maseni Protok (kg/s)
1	Toplo	400	340	2	13.96
1	Para	280	240	33.48	12.16
1	Para	240	200	15.55	14.18
2	Para	320	240	33.48	10.01
2	Para	250	220	23.2	20.05
2	Para	200	170	7.92	9.90
2	Para	150	120	1.98	12.36
4	Para	220	190	12.53	9.24
4	Para	150	130	2.70	11.28
4	Para	120	105	1.21	10.11

4.1.2 Operativni podaci za hladne pomoćne struje i procesne struje u kojima se uklanja višak topline

Da bi se odredio kvalitet viška topline koji se uklanja iz postrojenja upotrebom rashladnih fluida, potrebno je prikupiti operativne podatke za procesne struje, kao i hladne pomoćne struje. Kao što je navedeno u predhodnom poglavljiju, prepostavlja se da su novouspostavljeni razmenjivači i

toplote suprotno strujnog tipa, što omoguava minimalnu površinu za topotnu razmenu usled maksimalne razlike temperatura. U slučaju da procesna struja prilikom razmene toplote sa hladnom pomoću strujom ne podleže faznoj transformaciji, potrebni podaci su ulazna i izlazna temperatura procesne struje u razmenjiva u toplote, kao i količina razmenjene toplote (Tabela 4.2). Kada prilikom razmene toplote dolazi do fazne transformacije procesne struje, potrebno je odrediti količinu toplote koja se oslobodi: (i) tokom hlađenja pregrejane pare do temperature ključanja, (ii) tokom fazne transformacije i (iii) tokom hlađenja od temperature ključanja do temperature pothlađenja tenosti. Potrebno je prikupiti podatke i za temperaturu rose i ključanja, kao i ulazne i izlazne temperature iz razmenjiva u toplote. Ovi podaci su potrebni da bi se izbegao ukrštaj (sejenje) temperatura u suprotno strujnom razmenjiva u toplote. Procesne struje razmotrene u ovoj analizi ne podležu faznoj transformaciji i potrebni podaci dati su u Tabeli (4.2). Za hladne pomoći struje (HPS) potrebni su podaci o vrsti pomoći struje, temperaturama ulazu i izlazu iz razmenjiva i pritisaku pomoći fluida. Potrebni podaci za HPS dati su Tabeli (4.2).

Table 4.2 Podaci za procesne i hladne pomoći struje u razmenjiva imaju toplote

Postrojenje Broj	Procesne struje			Hladne pomoći struje			
	T _{ulaz} (°C)	T _{izlaz} (°C)	H (kW)	Vrsta	T _{ulaz} (°C)	T _{izlaz} (°C)	P (bar)
1	230	60	30000	Vazduh	30	40	1.1
1	200	55	20000	Vazduh	30	40	1.1
1	55	40	10000	Voda	30	35	1
2	200	60	20000	Para	30	170	2.7
3	330	60	25000	Voda	30	40	1
3	300	70	20000	Voda	30	40	1
4	180	50	12000	Para	30	150	4.76

4.1.3 Podaci za turbine

Turbine i „let-down“ stanice moguavaju da se vodena para veoma visokog pritiska, koja je proizvedena u kotlovima, prevede u osovinski rad i tople pomoći struje odgovaraju ih

karakteristika. Potrebnii podaci za primenu metode su operativni parametri i specifi ni parametri, koji zavise od karakteristika samog ure aja.

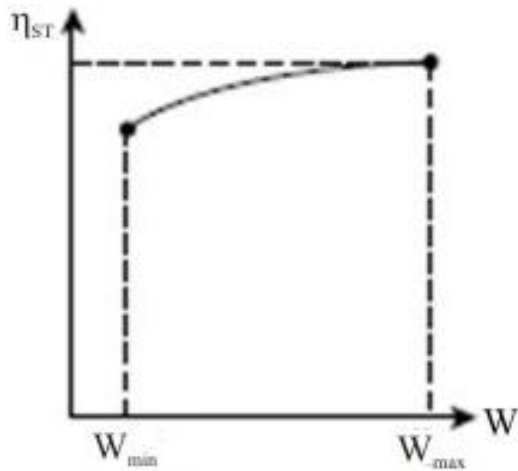
Operativni parametri turbina su pritisci i temperature na ulazu i izlazu, maseni protok i razvijena snaga. U Tabeli 4.3 prikazani su operativni parametri za razmatranu studiju slu aja.

Tabela 4.3 Proizvodnja elektri ne energije i maseni protok pare kroz turbine

Postrojenje Broj	Turbina Broj	Snaga (kW)	Maseni protok (kg/sec)
1	1	2984.7	12.9
	2	5455.9	14.55
	3	9640.4	10
2	1	2603.7	11.35
	2	6503.8	21
	3	4775.0	10.23
	4	8190.2	12.67
	5	13976.9	14.37
3	-	-	-
4	1	3826.2	9.6
	2	6952.4	11.46
	3	7135.0	10.22
	4	7655.6	8

Specifi ni parametri turbina koje je potrebno prikupiti zavise od primjenjenog matemati kog modela, kojim je definisan odnos izme u proizvedenog rada i masenog protoka vodene pare kroz ure aje. U ovoj studiji slu aja primjenjen je model Varbanova i autora, koji se pokazao veoma uspešan u odre ivanju vrednosti osovinskog rada pri delimi nom optere enju ime je omogu eno da se model uspešno koristi u optimizacionim studijama [123]. Model turbine je definisan u linearnoj formi, što ga ini pogodnijim za upotrebu od nelinearnog modela u optimizacionim studijama.

Karakteristika parnih turbina je da je efikasnost proporcionalna osovinskom radu koji turbina proizvodi. Na Slici (4.2) prikazana je zavisnost ukupne efikasnosti turbine od proizvedenog osovinskog rada [122]. W_{min} označava minimalan rad koji turbina može da proizvede i on je proporcionalan minimalnom masenom protoku kroz turbinu, dok W_{max} označava maksimalni rad koji turbina može da proizvede i on je proporcionalan maksimalnom masenom protoku kroz turbinu.



Slika 4.2 Zavisnost ukupne efikasnosti od osovinskog rada

Ukupna efikasnost turbine $_{st}$ sastoji se iz dve komponente: termodinamičke i mehaničke komponete. Termodinamička komponenta definisana je preko izentropske efikasnosti, dok je mehanička komponenta definisana preko mehaničke efikasnosti. Izentropska efikasnost ukazuje sa kojom se efikasnošć u termičku energiju pretvara u mehaničku energiju, dok mehanička efikasnost ukazuje sa kojom se efikasnošć u mehaničku energiju pretvara u električnu energiju i ukazuje na mehaničke gubitke usled trenja, toplostne gubitke itd. Izentropska efikasnost definisana je preko sledeće jednačine [122]:

$$\gamma_{izentropsko} = \frac{\Delta h_{stvarno}}{\Delta h_{izentropsko}} \quad (4.1)$$

gde su: $_{izentropsko}$ - izentropska efikasnost turbine, h_{ulaz} - specifična entalpija ulazne vodene pare, h_{izlaz} - specifična entalpija izlazne vodene pare, $h_{izentropsko}$ - entalpija pare na izlaznom pritisku koja ima istu entropiju kao ulazna struja.

$$\Delta h_{stvarno} = h_{ulaz} - h_{izlaz} \quad (4.2)$$

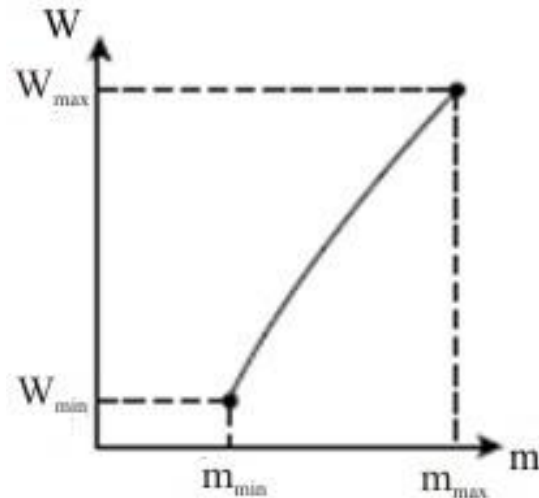
$$\Delta h_{izentropsko} = h_{ulaz} - h_{izlaz, izentropsko} \quad (4.3)$$

Za izentropsku efikasnost je karakteristično da zavisi od masenog protoka vodene pare, i što je već u maseni protok izentropska efikasnost je veća. Karakteristika mehaničke komponente efikasnosti je da ima visoku vrednost i da je nezavisna od masenog protoka vodene pare. Ukupna efikasnost se može prikazati kao proizvod mehaničke i izentropske efikasnosti sledećom jednom inom:

$$Y_{ST} = Y_{izentropsko} \cdot Y_{mehani ko} \quad (4.4)$$

gde je: Y_{ST} - ukupna efikasnost i $Y_{mehani ko}$ - mehanička efikasnost.

Na Slici 4.3 prikazan je zavisnost osovinskog rada od masenog protoka, koja se naziva Willan-ova linija [124,125]. Ona ukazuje na nelineranu zavisnost između osovinskog rada i masenog protoka. Kako nelineranost nije velika u određenom opsegu masenog protoka vodenepare, ova zavisnost se može aproksimirati linearanom funkcijom.



Slika 4.3 Zavisnost osovinskog rada od masenog protoka vodene pare

Linerana zavisnost je određena sledećim izrazom:

$$W = n \cdot m - W_{ods} \quad (4.5)$$

gde su: W - proizvedeni osovinski rad, m - maseni protok vodene pare kroz turbinu, n - nagib linearne Willanove linije, W_{ods} - odse ak Willanove linije.

Osovinski rad se može izraziti preko slede e jedna ine [124,125]:

$$W = \Delta h_{stvarno} \cdot m - W_{gubitaka} \quad (4.6)$$

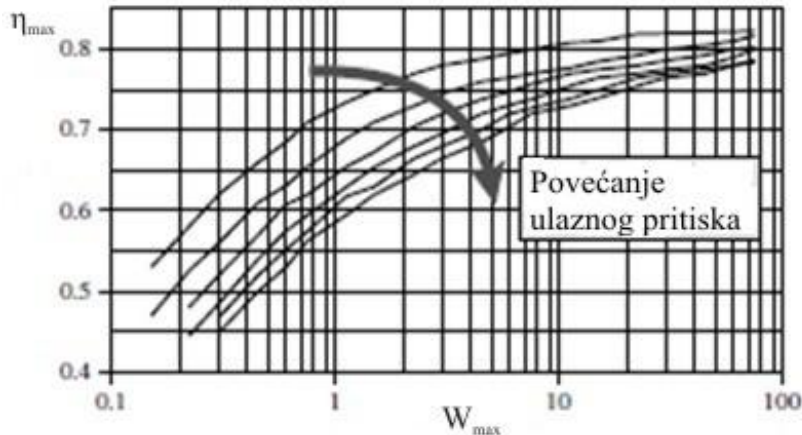
gde je: $W_{gubitaka}$ - energetski gubitak u turbini.

Pošto je odse ak linearne Willanove linije konstantna vrednost, kao i maksimalan rad koji turbina može proizvesti, mogu e je uspostaviti slede i odnos izme u ova dva parametra [124,125]:

$$W_{ods} = L \cdot W_{max} \quad (4.7)$$

gde je: W_{max} - maksimalni osovinski rad turbine, L - parametar koji zavisi od karakteristika turbine.

Za odre ivanje vrednosti osovinskog rada pri delimi nom optere enju, neohodno je odrediti parametre pri maksimalnom optere enju. Na Slici (4.4) prikazane su zavisnosti ukupne efikasnosti od maksimalnog osovinskog rada u zavisnosti od promene ulaznog pritiska [126].



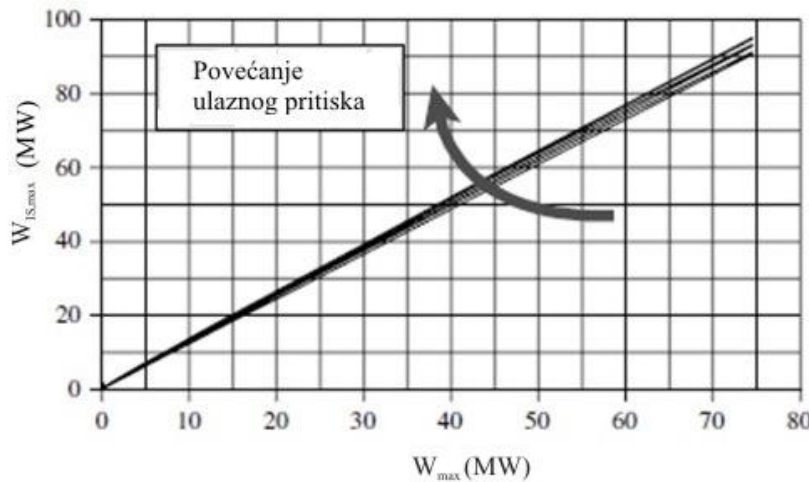
Slika 4.4 Zavisnost ukupne efiksasnosti od maksimalnog proizvedenog osovinskog rada sa promenom ulaznog pritiska

Maksimalni izentropski rad se u zavisnosti od maksimalne osovinske snage i ukupne efikasnosti može prikazati slede om jedna inom:

$$W_{izentropsko,max} = \Delta h_{izentropsko} \cdot m_{max} = \frac{W_{max}}{\gamma_{ST,max}} \quad (4.8)$$

gde su: $W_{izentropsko,max}$ - izentropski rad za maksimalni protok vodenepare kroz turbinu, m_{max} - maksimalni protok vodene pare kroz turbinu, $\gamma_{ST,max}$ - ukupna efikasnost parne turbine za maksimalni protok.

Na Slici (4.5) prikazane su zavisnosti maksimalne vrednosti izentropskog rada za maksimalne vrednosti proizvedenog osovinskog rada na različitim pritiscima [123].



Slika 4.5 Zavisnost maksimalno proizvedenog osovinskog rada i maksimalnog izentropskog rada za različite ulazne pritiske

Imajući u vidu da je u pitanju skoro linearna zavisnost (prikazana na Slici (4.5)), ona se može matematički izraziti sledećim izrazom [91]:

$$W_{izentropsko,max} = a + b \cdot W_{max} \quad (4.9)$$

gde su: a i b - korelacioni koeficijenti

Vrednosti koeficijenta a i b zavise od pada pritiska u turbini. Razlika pritisaka može se izraziti preko temperature zasićenja ($T_{zasi enja}$), tako da se parametri a i b mogu korelisati korišćenjem sledećih funkcija [123]:

$$a = a_0 + a_1 \cdot \Delta T_{zasi enja} = a_0 + a_1 \cdot (T_{zasi enja,ulaz} - T_{zasi enja,izlaz}) \quad (4.10)$$

$$b = a_2 + a_3 \cdot \Delta T_{zasi\ enja} = a_2 + a_3 \cdot (T_{zasi\ enja,ulaz} - T_{zasi\ enja,izlaz}) \quad (4.11)$$

gdesu: $T_{zasi\ enja,ulaz}$ - temperatura zasi enja vodene pare na ulazu u turbinu, $T_{zasi\ enja,izlaz}$ - temperatura zasi enja vodene pare na izlazu iz turbine i a_0, a_1, a_2, a_3 - korelacioni koeficijenti.

Date koeficijente potrebno je korelisati na osnovu podataka koji su dani za određenu turbinu od strane proizvođača ili na osnovu operativnih podataka postojeće turbinu. Linearna Willanova linija za maksimalni protok kroz turbinu definiše se sledećom jednačinom:

$$W_{max} = n \cdot m_{max} - W_{ods} \quad (4.12)$$

Zamenom jednačine (4.7) u jednačinu (4.12) dobija se sledeći izraz:

$$W_{max} = n \cdot m_{max} - L \cdot W_{max} \quad (4.13)$$

Jednačina (4.13) može se jednostavnije prikazati u sledećem obliku:

$$W_{max} = \frac{n \cdot m_{max}}{L+1} \quad (4.14)$$

Zamenom jednačine (4.14) u jednačinu (4.9) dobija se:

$$\Delta h_{izentropsko} \cdot m_{max} = a + b \cdot \frac{n \cdot m_{max}}{L+1} \quad (4.15)$$

Iz jednačine (4.15) može se izraziti nagib Willan-ove linije [123]:

$$n = \frac{L+1}{b} \cdot \left(\Delta h_{izentropsko} - \frac{a}{m_{max}} \right) \quad (4.16)$$

Odsečak linearne Willan-ove linije dobija se zamenom jednačine (4.14) i (4.16) u jednačinu (4.12) [123]:

$$W_{ods} = \frac{L}{b} \cdot \left(\Delta h_{izentropsko} \cdot m_{max} - a \right) \quad (4.17)$$

Da bi se definisao model turbine u potpunosti, za određenu turbinu iz radnih podataka potrebno je korelisati sledeće koeficijente a_0, a_1, a_2, a_3 i L .

Tabela 4.4. Podaci potrebni za određivanje koeficijenata za turbine

Snaga (MW)	Maseni protok pare kroz			Temperatura pare na izlazu			Pritisak pare na izlazu iz		
	Ulag	Stepen 1	Stepen 2	Ulag	Stepen 1	Stepen 2	Ulag	Stepen 1	Stepen 2
15.54	140.00	90.00	50.00	380.00	260.00	46.00	40	20.00	0.10
12.73	130.00	85.00	45.00	381.00	259.00	45.00	40.2	19.95	0.10
9.86	120.00	80.00	40.00	381.00	259.00	45.00	40.2	19.95	0.10
15.93	150.00	100.00	50.00	380.00	260.00	45.00	40	20.00	0.10
14.75	120.00	70.00	50.00	380.00	260.00	45.00	40	20.00	0.10

U prikazanoj studiji služi a primenjuju se korelacioni parametri za turbine, koji su prikazani u Tabeli (4.5) [127].

Tabela 4.5 Korelacioni parametri za parne turbine

Protiv-pritisna turbine		Kondenzujuća turbina		
	W _{max} < 2000 kW	W _{max} > 2000 kW	W _{max} < 2000 kW	W _{max} > 2000 kW
a (kW)	1.08· T _{zasi enja}	4.23· T _{zasi enja}	0.662· T _{zasi enja}	-463 + 3.53·
b (-)	1.097 + 0.00172·	1.097 + 0.00172·	1.191 +	1.220 + 0.000148·

4.2 Određivanje potencijala za uštedu energije

Na osnovu podataka prikupljenih u predhodom koraku proračuna se integracioni potencijal svake od procesnih struja u kojima se uklanja toplota upotreboom hladne pomoći struje.

Na osnovu podataka prikazanih u Tabeli 4.2 i uzimanjem u obzir minimalne razlike temperaturna izme u procesne i rashladne struje, mogu e je odrediti vrednosti maksimalne temperature hladno-tople pomo ne struje (HTPS). Vrednost minimalne razlike temperatura je 30°C za sve razmenjiva e, osim za razmenjiva e u kojima je minimalna razlika temperatura u originalnoj konfiguraciji manja od 30°C. U tim razmenjiva ima minimalna razlika temperatura je 15°C, dok u slu aju kada se za hla enje koristi rashladna voda minimalna razlika temperatura je 10°C. Vrednosti minimalne razlike temperatura izme u HTPS i procesne struje preuzete su iz rada Stijepovi i Linke [120].

Primenom jedna ine (3.25) odre uje se TPS koja ima najve i potencijal da bude zamenjena. Odre ivanje integracionog potencijala bi e prikazan na primeru hla enja procesne struje u postrojenju 3 (ulazne temperature 330°C i izlazne 60°C (Tabela 4.2)). Primenom minimalne razlike temperatuta od 30°C izra unava se da procesna struja može generisati HTPS izlazne temperature od 300°C. Analizom podataka datih u Tabeli 4.1 može se zaklju iti da data procesna struja može da generiše HTPS iji kvalitet zadovoljava TPS u postrojenjima jedan, dva i etiri. S obzirom da je TPS mogu e zameniti vodenom parom razli itog kvaliteta, zavisnost entalpije u funkciji od temperature pri generaciji vodene pare može se aproksimirati linearom funkcijom:

$$\Delta h = \begin{cases} C_{p,liq} \cdot (T_{zasi enja} - T_{ulaz}), & \forall T < T_{zasi enja} \\ C_{p,vap} \cdot (T_{zasi enja} + 1 - T_{zasi enja}), & \forall T = T_{zasi enja} \\ C_{p,gas} \cdot (T_{izlaz} - T_{zasi enja} - 1), & \forall T > T_{zasi enja} \end{cases} \quad (4.18)$$

gde su: $C_{p,liq}$, $C_{p,vap}$ i $C_{p,gas}$ - srednji specifi ni toplotni kapaciteti.

Srednji specifi ni toplotni kapaciteti odre uju se slede om procedurom: pošto su temperature i pritisci u procesu generisanja pare poznati, upotrebom IAPWS-95 jedna ine stanja izra unava se specifi na entalpija zaulaznu temperaturu klju ale te nosti, zasi ene pare i pregrejane pare, a zatim se za dati pritisak i temperaturu primenom jedna ine (4.18) izra unava srednji specifi ni toplotni kapacitet.

$$C_{p,liq} = \frac{\Delta h_{liq}}{T_{zasi enja} - T_{ulaz}} \quad (4.19a)$$

$$C_{p,\text{sat}} = \frac{\Delta h_{\text{zasi enja}}}{T_{\text{zasi enja}} + 1 - T_{\text{zasi enja}}} \quad (4.19\text{b})$$

$$C_{p,\text{gas}} = \frac{\Delta h_{\text{gas}}}{T_{\text{izlaz}} - T_{\text{zasi enja}}} \quad (4.19\text{c})$$

gde su: h_{liq} , $h_{\text{zasi enja}}$, h_{gas} – promene entalpije u te noj fazi, pri faznoj transformaciji i u gasnoj fazi respektivno.

Slika 4.6 ukazuje da se u slu aju proizvodnje pare “Pinch” temperatura pojavljuje u ta ki klju anja pomo ne struje. Ovaj podatak omogu ava odre ivanje masenog protoka generisane vodene pare iz toplotnog bilansa procesne struje i HTPS.

Toplotni bilans procesne struje, može se prikazati slede om jedna inom:

$$Q = C_{p,ps} \cdot (T_{\text{ulaz}} - T_{\text{izlaz}}) \quad (4.20)$$

Toplotni bilans HTPS, može se prikazati slede om jedna inom:

$$Q = m_{\text{HTPS}} \left[C_{p,\text{liq}} \cdot (T_{\text{zasi enja}} - T_{\text{ulaz}}) + C_{p,\text{vap}} (T_{\text{zasi enja}} + 1 - T_{\text{zasi enja}}) + C_{p,\text{gas}} \cdot (T_{\text{izlaz}} - T_{\text{zasi enja}} - 1) \right] \quad (4.21)$$

gde je: m_{HTPS} - maseni protok hladno tople pomo ne struje.

Maseni protok HTPS, može se prikazati slede om jedna inom:

$$m_{\text{HTPS}} = \frac{C_{p,ps} \cdot (T_{\text{ulaz}} - T_{\text{izlaz}})}{\left[C_{p,\text{liq}} \cdot (T_{\text{zasi enja}} - T_{\text{ulaz}}) + C_{p,\text{vap}} (T_{\text{zasi enja}} + 1 - T_{\text{zasi enja}}) + C_{p,\text{gas}} \cdot (T_{\text{izlaz}} - T_{\text{zasi enja}} - 1) \right]} \quad (4.22)$$

Maseni protok se odre uje za sve TPS koje mogu biti zamenjene generisanom HTPS, primenom navedene procedure. Rezultati masenog protoka za sve TPS koje mogu biti zamenjene prikazani su u Tabeli 4.6.

Tabela 4.6 Maseni protoci HTPS koje mogu biti generisane u industrijskom kompleksu

	Procesna struja		HTPS			Maseni protok, kg/sec
	<i>Tin, °C</i>	<i>Tout, °C</i>	<i>Tsat, °C</i>	<i>Tout, °C</i>	<i>P, bar</i>	
1	230	60	170	200	7.82	3.38
			120	150	1.98	8.21
			130	150	2.7	7.39
			105	120	12.11	9.68
2	200	5	120	150	1.98	4.00
			130	150	2.7	3.30
			105	120	1.21	5.18
3	330	60	240	280	33.48	4.27
			220	250	23.20	5.40
			200	240	15.55	6.28
			190	220	12.53	6.82
			170	200	7.92	7.69
4	300	70	220	250	23.20	3.17
			200	240	15.55	4.13
			190	220	12.53	4.66
			170	200	7.92	5.55

Sada se primenom jedna ine (3.24) mogu odrediti gubici ekservije pri prenosu toplote sa procesne struje na HTPS. Promena ekservije procesne struje i HTPS, kao i rezultati gubitaka ekservije za svaku HTPS, dati su u Tabeli 4.7.

Tabela 4.7 Promena eksnergije procesne struje i HTPS tokom razmene toplote

Br	Procesna struja			HTPS			Ex_{loss}, kW
	$Tin, ^\circ C$	$Tout, ^\circ C$	Ex, kW	$Tsat, ^\circ C$	$Tout, ^\circ C$	Ex, kW	
1	230	60	4009	170	200	2688	1321
			9223	120	150	4842	4382
			8314	130	150	4653	3661
			10513	105	120	4922	5591
2	200	55	4448	120	150	2365	2083
			3668	130	150	2078	1580
			5545	105	120	2632	2913
3	330	60	5446	240	280	4246	1200
			6779	220	250	5085	1694
			7897	200	240	5638	2259
			8444	190	220	5868	2576
			9395	170	200	6112	3283
4	300	70	3955	220	250	2984	971
			5154	200	240	3706	1448
			5724	190	220	4008	1716
			6728	170	200	4415	2313

Za svaki od razmenjiva a u kojem se uklanja toplota pomo u rashladnog fluida, odre uje se promena eksnergije hladne pomo ne struje izme u ulaza i izlaza. Da bi se otpadna toplotna energija iskoristila, potrebno je da otpadna toplota generise toplu pomo nu struju koja se može upotrebiti u postrojenju ponora toplote. Pošto je eksenzija svake od potencijalnih TPS koje je mogu e zameniti odre ena prilikom odre ivanje gubitka eksnergije, primenom jedna ine (3.6) odre uje se integracioni potencijal. Vrednosti IP i HTPS, koje je najbolje generisati dati su u Tabeli 4.8.

Table 4.8 Podaci za integracioni potencijal HTPS

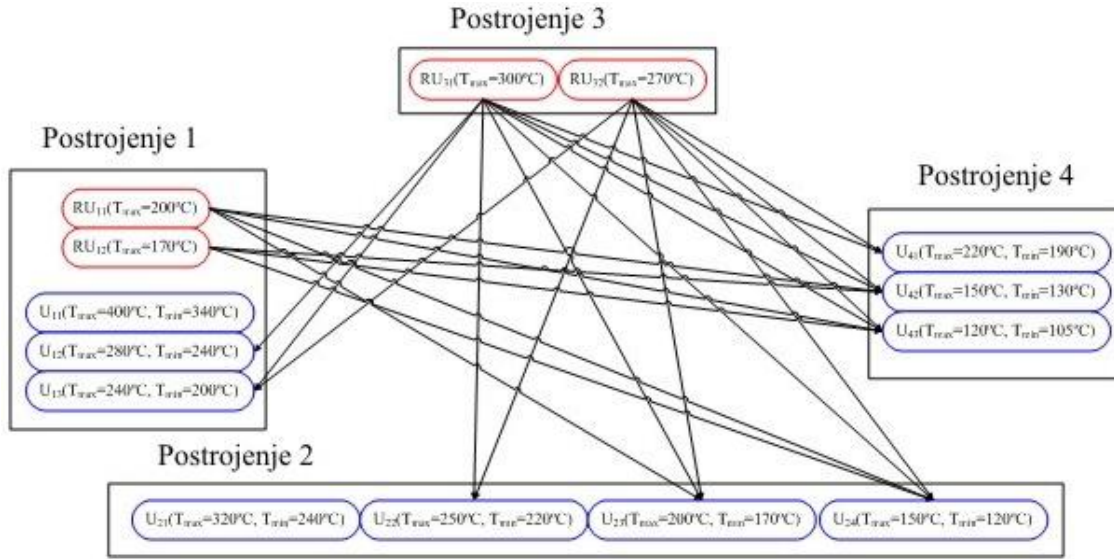
Postrojenje broj	T_{in} (°C)	T_{out} (°C)	H (kW)	Vrsta Fluida	T_{in} (°C)	T_{out} (°C)	P (bar)	IP
				Para				
1	230	60	30000	Para	30	200	7.92	18.16
1	200	55	20000	Para	30	170	2.7	14.50
1	55	40	10000	Voda	30	45	1	1.94
2	210	60	20000	Para	30	170	2.7	1.00
3	330	60	25000	Para	30	300	33.48	15.78
3	300	70	20000	Para	30	270	23.2	14.93
4	180	50	12000	Para	30	150	4.76	1

Analiziraju i Tabelu 4.8 može se reći da integracioni potencijal za tri razmenjiva a topote ima vrednost manju od dva, što ukazuje da je moguće samo malo povećanje kvaliteta topote, tj. eksergije u odnosu na postojeću situaciju. U dva od tri slučaja u kojima je određen malo integracioni potencijal, vodena para se već generiše u razmenjiva a topote između procesne struje i hladne pomoćne struje. Navedene tri opcije sa malim integracionim potencijalom biće isključene iz dalje analize. Ostale četiri veze koje pokazuju veliki integracioni potencijal se analiziraju u sledećem koraku.

4.3 Uspostavljanje veze između postrojenja

Pošto su iz dalje analize eliminisane veze sa malim integracionim potencijalom, u ovom koraku treba odrediti izvodljivost veza između novouspostavljenog razmenjiva a, u kome se generiše HTPS, koja se povezuje sa postrojenjem koje prestavlja ponor topote. Prema jednačinama (3.26) i (3.27) veza između novog razmenjiva a u postrojenju izvora topote i sistema pomoćnih struja u sistemu ponora topote moguće je ako su maksimalna temperatura i pritisak HTPS već ili jednaki od temperature i pritiska topote pomoćne struje u postrojenju ponora topote. U slučaju kada su

tople pomo ne struje voda, vodena para ili toplo ulje, ako je ispunjen temperaturni uslov, tada je tako e ispunjen i uslov pritiska, jer se pritisak može podešiti upotrebom pumpi za sve navedene komponente. Veze izme u dva postrojenja uvek su izvodljive u odnosu na pritisak, ako su temperaturni zahtevi zadovoljeni. Odnosno, ako HTPS ima dovoljnu temperaturu da može da zameni TPS u postrojenju ponora toplice, tada se uzima da HTPS ima i neophodan pritisak koji zadovoljava zahteve TPS u postrojenju ponora toplice. Ova pretpostavka se može uzeti u obzir s obzirom na to da se pritisak HTPS može regulisati pumpama i drugim ure ajima za promenu pritiska. Na Slici 4.6 prikazane su preostale izvodljive veze izme u postrojenja izvora i postrojenja ponora preko HTPS [128].



Slika 4.6 Izvodljive veze izme u postrojenja

Da bi odredili uticaj rastojanja na izvodljivost povezivanja preostalih veza, potrebne transportne temperature, temperature na ulazu u sistem energana postrojenja ponora toplice, se izra unavaju za HTPS prema jedna ini (3.28). Pad temperature tokom transporta izme u postrojenja zavisi od kvaliteta HTPS. Pad temperature po jedinici dužine prikazan je u Tabeli 4.9 [120]:

Table 4.9 Promena temperature duž cevovoda po jedinici dužine

Temperaturni opseg, °C	Pad temperature po jedinicu dužine (^0C /metar)
300-450	0.030
200-300	0.025
100-200	0.015

Vrednosti pada temperature po jedinici dužine određene su za razlike vrednosti izolacije, tako da je srednji pad temperature po jedinici dužine konstanta vrednost u određenom temperaturnom intervalu. Nakon izračunavanja transportne temperature svaka od veza se ponovo revalorizuje primenom jednačine (3.28). Transportne temperature i izvodljivost svake veze prikazani su u Tabeli 4.10:

4.4 Određivanje maksimalnog iskorišćenja otpadne toplote

Konfiguracija energana industrijske zone ilustrovana je na Slici 4.1. Da bi se povećala proizvodnja električne energije deo TPS se zamjenjuje sa HTPS, koja je generisana od otpadne toplote u postrojenju izvora toplote. Deo vodene pare veoma visokog pritiska, koji je služio za generisanje zamjenjenog dela TPS i električne energije, upućuje se na kondenzator turbine. Na ovaj način se povećava proizvodnja električne energije usled većeg gradijenta pritiska u kondenzatoru i turbini, naspram protiv-potisne. Kvantitet smanjenja protoka pare na protiv-potisnoj turbine, kao i povećanje protoka na kondenzatoru i turbine, zavisi od karakteristika same turbine. Ova osobina sistema uvedena je u optimizaciju kroz parametar λ , koji predstavlja deo masenog protoka, kojem je dozvoljeno da bude povećan ili smanjen oko optimalnog masenog protoka kroz turbinu. Nakon što se utvrde izvodljive veze (poglavlje 4.3) izračunava se iskorišćenje viška toplote za maksimalnu proizvodnju električne energije rešavanjem optimizacionog problema (P1a), koji je izведен upotrebom jednačina od (3.29) do (3.35). Optimizacioni problem definisan jednačinom (P1a), klasificuje se u tzv. mešovito celobrojni

linearni problem (MCLP) [128]. Definisani optimizacioni problem rešen je pomoć u programskog paketa LINDO.

Tabela 4.10 Transportne temperature i izvodljiva povezivanja

Izvor	Ponor	Rastojanje (m)	$T_{i,j,k,l}$	Transportna	Izvodljivost
RU_{11}	U_{23}	1000	15	215	0
RU_{11}	U_{24}	1000	15	165	1
RU_{11}	U_{42}	900	13.5	163.5	1
RU_{11}	U_{43}	900	13.5	133.5	1
RU_{12}	U_{24}	1000	15	165	1
RU_{12}	U_{42}	900	13.5	163.5	1
RU_{12}	U_{43}	900	13.5	133.5	1
RU_{31}	U_{12}	700	17.5	297.5	1
RU_{31}	U_{13}	700	17.5	257.5	1
RU_{31}	U_{22}	800	20	270	1
RU_{31}	U_{23}	800	20	220	1
RU_{31}	U_{24}	800	12	162	1
RU_{31}	U_{41}	850	21.25	245.5	1
RU_{31}	U_{42}	850	12.75	162.75	1
RU_{31}	U_{43}	850	12.75	132.75	1
RU_{32}	U_{13}	700	17.5	257.5	1
RU_{32}	U_{22}	800	20	270	1
RU_{32}	U_{23}	800	12	212	1
RU_{32}	U_{24}	800	12	174	1
RU_{32}	U_{41}	850	21.25	241.25	1
RU_{32}	U_{42}	850	12.75	162.75	1
RU_{32}	U_{43}	850	12.75	132.75	1

gde je: RU_{ij} - broj postrojenja izvora toplote i , procesne struje j , a U_{kl} - broj postrojenja ponora toplote k , pomoćne struje l .

Optimizacijom je određeno da je upotrebom viška topote moguće u datoj konfiguraciji energana proizvesti 84.22 MW, što je 5.7% više nego što se generiše kada integracija postrojenja nije uspostavljena [128]. Zahtevi za TPS se smanjuju za 4% upotrebom integracije. Rešenje optimizacionog problema (P1a) prikazano je u Tabelama (4.11) i (4.12).

$$\max \Phi = \sum_k \sum_l W_{k,l}$$

Sa ograničenjima

$$\begin{aligned}
 \sum_k \sum_l W_{k,l} &\geq \Pi_k & \forall k \in P^K \\
 \sum_l m_{k,l}^{turb} - m_k^{vap} &= 0 & \forall k \in P^K \\
 u_{k,l} \cdot m_{k,l}^{t\min} &\leq m_{k,l}^{turb} \leq u_{k,l} \cdot m_{k,l}^{t\max} & \forall k \in P^K, l \in L_k & (P1a) \\
 b_{i,j,k,l} \cdot m_{i,j,k,l}^{\min} &\leq m_{i,j,l,k} \leq b_{i,j,k,l} \cdot m_{i,j,k,l}^{\max} & \forall i \in I_i, j \in J_j, k \in K_k, l \in L_l \\
 \sum_k \sum_l m_{i,j,k,l} \left[Cp_L \left(\text{''}_{k,l}^{sat} - \text{''}_{in,i} \right) + \Delta H_{vap} \left(\text{''}_{k,l}^{sat} \right) + Cp_G \left(\text{''}_{k,l}^{gas} - \text{''}_{k,l}^{sat} \right) \right] &\leq \Theta_{i,j} & \forall i \in P^I, j \in J_i \\
 m_{k,l}^{ps} + \sum_l m_{i,j,k,l} - m_{k,l}^{turb} &= 0 & \forall i \in P^I, j \in J_i, k \in P^K
 \end{aligned}$$

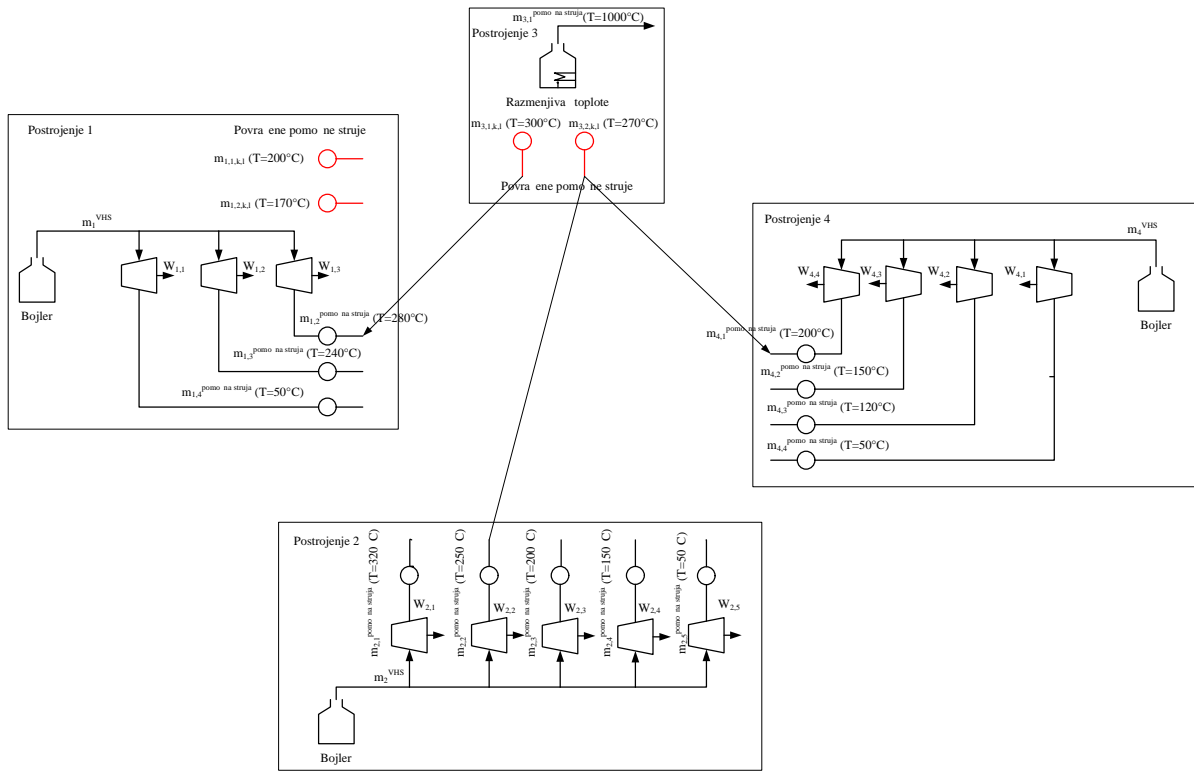
Tabela 4.11 Optimizovane vrednosti proizvodnje električne energije i masenog protoka za maksimalnu proizvodnju električne energije

<i>Postrojenje</i>	<i>Turbina</i>	<i>Snaga (kW)</i>	<i>Maseni protok (kg/sec)</i>
1	1	2493.9	10.90
	2	5455.9	14.55
	3	11685.3	12.00
2	1	2603.7	11.35
	2	5559.7	18.13
	3	4775.0	10.23
	4	8190.2	12.67
	5	16941.7	17.24
3	-	-	-
4	1	3149.9	8.00
	2	6952.4	11.46
	3	7135.0	10.22
	4	9279.5	9.60

Table 4.12 Rezultati optimizacije za dostizanje maksimalne proizvodnje električne energije

Veza	Tip pomoćne struje	Maseni protok (kg/s)	Toplota u procesnim razmenjivačima topote (kW)	Površena toplota (kW)
3112	HP	2	5976.55	3681.6
3222	HP	2.87	8429.442	5334.144
3241	MP	1.6	4564.38	3261.6

Na osnovu rezultata iz Tabela 4.11 i 4.12, može se zaključiti da se najviše koristi otpadna toplota visokog kvaliteta koja generiše HTPS visokog kvaliteta. Ovo ponašanje je očekivano, jer se kolika snaga koja se može generisati kondenzuju im turbinama veća nego u protiv-potisnim pri istom masenom protoku vodene pare. Količina proizvedene snage na protiv-potisnim i kondenzuju im turbinama zavisi od razlike pritisaka na ulazu i izlazu iz turbine. Zamenom TPS visokog kvaliteta sa HTPS istog kvaliteta, smanjuje se protok pare vrlo visokog pritiska kroz protiv-potisne turbine, iji se izlazni uslovi nalaze na uslovima TPS. Smanjenjem protoka kroz ove turbine, dolazi do smanjenja snage na njima, međutim, višak pare vrlo visokog pritiska može se propustiti kroz kondenzujuće turbine. Pošto se izlazni uslovi u kondenzuju im turbinama nalaze na uslovima vakuma, generise se više snage na njima, u odnosu na datu protiv-pritisnu turbinu pri istom protoku pare vrlo visokog pritiska, a zbog veće razlike pritisaka na ulazu i izlazu u turbinu. Pri generisanju TPS visokog kvaliteta, generiše se manje snage na turbinama nego na turbinama koje generišu TPS manjeg kvaliteta, tako da se nameće zaključak zamene TPS visokog kvaliteta sa HTPS istog kvaliteta u cilju maksimizovanja snage na turbinama. Jednostavnije rečeno, što je TPS kvalitet proizведен u protiv-potisnoj turbini veći, to je veća i kolika snaga koja se može generisati njenom zamenom sa HTPS.



Slika 4.7 Konfiguracija industrijske zone sa površenim pomočnim strujama za dobijanje maksimalne snage

Da bi se minimizovala potrošnja goriva na bojleru, koristi se isti princip kao i u slučaju maksimalne proizvodnje snage na turbinama, tako što se deo TPS zamenjuje sa HTPS koja se generiše od viška toplote u postrojenju izvora toplote. Fosilno gorivo sagoreva u kotlovima da bi se generisala para veoma visokog pritiska, koja se zatim koristi za proizvodnju električne energije i TPS. Količina goriva potrebna da bi se proizvela para veoma visokog pritiska, zavisi od vrste upotrebljenog goriva (prirodni gas, tehnogeni goriva ili ugalj), količine vodenih parih i efikasnosti kotla. Količina potrošenog goriva direktno je proporcionalan masenom protoku generisane vodenih parih veoma visokog pritiska, pa je ušteda goriva kvantifikovana kroz smanjenje proizvodnje vodenih parih vrlo visokog pritiska. Minimalna potrošnja goriva se određuje rešavanjem problema (P1b), koji je definisan jednačinama od (3.29) do (3.34) kao i jednačinom (3.36). Optimizacioni problem (P1b), klasifikovan je kao mešovito celobrojni linearani problem (MCLP), koji je rešen pomoću LINDO programskog paketa.

$$\max \Phi = \sum_{k \in P^K} m_k^{fuel} \propto \sum_{k \in P^K} m_k^{VHS}$$

Sa ograni enjima

$$\begin{aligned} \sum_k \sum_l W_{k,l} &= \Pi_k & \forall k \in P^K \\ u_{k,l} \cdot m_{k,l}^{t\min} &\leq m_{k,l}^{turb} \leq u_{k,l} \cdot m_{k,l}^{t\max} & \forall k \in P^K, l \in L_k & (P1b) \\ b_{i,j,k,l} \cdot m_{i,j,k,l}^{\min} &\leq m_{i,j,l,k} \leq b_{i,j,k,l} \cdot m_{i,j,k,l}^{\max} & \forall i \in I_i, j \in J_j, k \in K_k, l \in L_l \\ \sum_k \sum_l m_{i,j,k,l} \left[Cp_L \left(\text{"}_{k,l}^{sat} - \text{"}_{in,i} \right) + \Delta H_{vap} \left(\text{"}_{k,l}^{sat} \right) + Cp_G \left(\text{"}_{k,l}^{gas} - \text{"}_{k,l}^{sat} \right) \right] &\leq \Theta_{i,j} & \forall i \in P^I, j \in J_i \\ m_{k,l}^{ps} + \sum_l m_{i,j,k,l} - m_{k,l}^{turb} &= 0 & \forall i \in P^I, j \in J_i, k \in P^K \end{aligned}$$

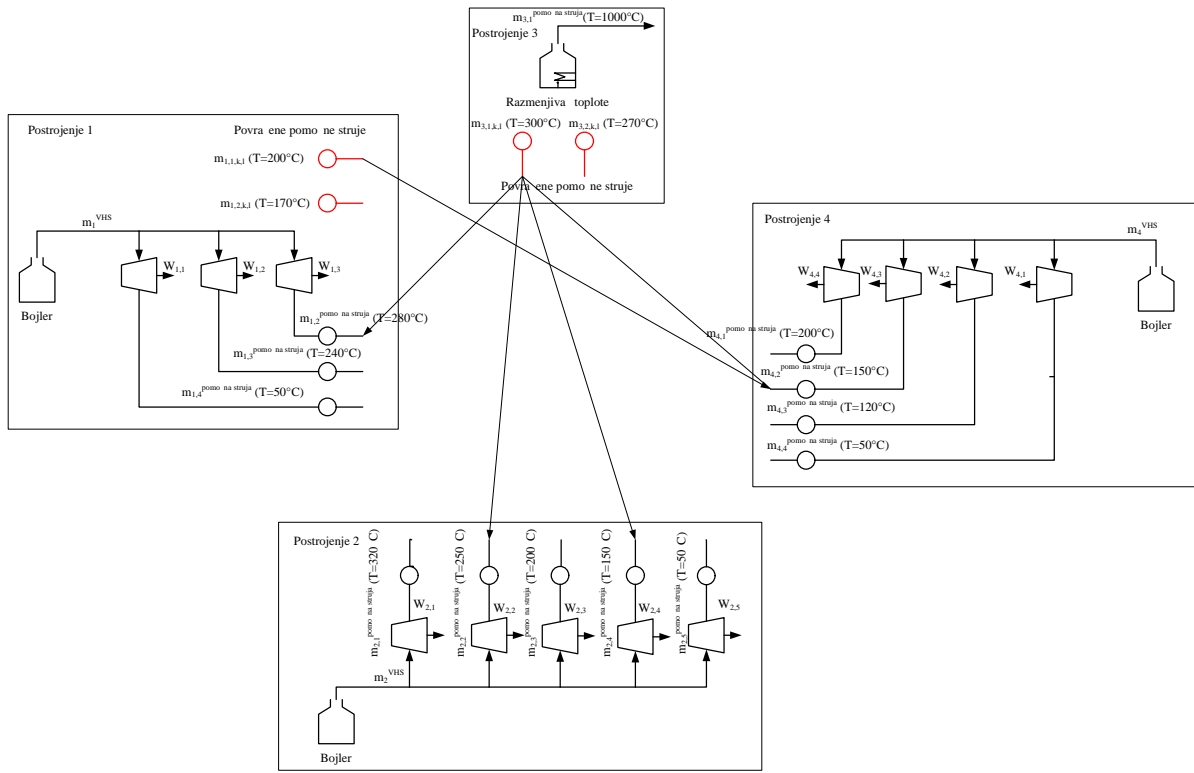
Optimizacijom je utvr eno da je minimalna potrošnja goriva 9.7 kg/s, što je 6.6% manje nego što se sagoreva u po etnoj konfiguraciji u energetskama industrijskog kompleksa, pre energetske integracije, pri emu je 10% zahteva za TPS zamenjeno HTPS [128]. Rešenja optimizacionog problema data su u Tabelama 4.13 i 4.14.

Tabela 4.13 Optimizovana proizvodnja snage i masenog protoka na turbinama pri minimalnoj potrošnji goriva

Postrojenje	Turbina	Snaga (kW)	Maseni protok (kg/sec)
1	1	2351.6	10.32
	2	4298.6	11.64
	3	11430.8	11.75
2	1	2603.7	11.35
	2	5124.2	16.80
	3	3762.1	8.18
	4	7617.9	11.84
	5	16941.7	17.24
3	-	-	-
4	1	3014.6	7.68
	2	6140.2	10.20
	3	7135.0	10.22
	4	9279.5	9.60

Tabela 4.14 Rezultati optimizacije pri minimalnoj potrošnji goriva

<i>Vrsta pomoćne struje</i>	<i>Maseni protok (kg/s)</i>	<i>Toplotu u procesnom razmenjiva u (kW)</i>	<i>Povrata ena toplota (kW)</i>	
1142	LP	0.089	238.92	197.78
3112	HP	2.58	7709.75	4749.26
3122	HP	4.06	11910.29	7536.82
3124	LP	0.83	2235.67	1893.44
3142	LP	1.17	3144.29	2605.18



Slika 4.8 Konfiguracija industrijske zone sa površenim pomoćnim strujama za dobijanje minimalne potrošnje goriva

4.5 Projektovanje mreže za integraciju industrijskog kompleksa

Nakon utvrđivanja značajnih mogunosti za upotrebu otpadne topline u predhodnom koraku, u ovom koraku projektujemo mrežu kojom bi se višak topline upotrebio za kogeneraciju topline u elektrunu energiju.

Cilj je da se maksimizuje ukupni godišnji profit upotrebom viška topline, tako što se maksimizuje proizvodnja snage ili se minimizuje potrošnja goriva. Funkcije cilja za optimizovanje proizvodnje snage ili potrošnje goriva se razlikuju. Optimizacioni problem za maksimizovanje proizvodnje snage na turbinama definiše se sledećom jednačinom:

$$\max GP = R_{el} - \frac{TCC}{SOL}$$

saograni enjima :

$$\begin{aligned}
& \sum_k \sum_l W_{k,l} \geq \Pi_k & \forall k \in P^K \\
& \sum_l m_{k,l}^{turb} - m_k^{vap} = 0 & \forall k \in P^K \\
& u_{k,l} \cdot m_{k,l}^{t\min} \leq m_{k,l}^{turb} \leq u_{k,l} \cdot m_{k,l}^{t\max} & \forall k \in P^K, l \in L_k \quad (P2a) \\
& b_{i,j,k,l} \cdot m_{i,j,k,l}^{\min} \leq m_{i,j,k,l} \leq b_{i,j,k,l} \cdot m_{i,j,k,l}^{\max} & \forall i \in I_i, j \in J_j, k \in K_k, l \in L_l \\
& \sum_k \sum_l m_{i,j,k,l} \left[Cp_L \left(\text{''}_{k,l}^{sat} - \text{''}_{in,i} \right) + \Delta H_{vap} \left(\text{''}_{k,l}^{sat} \right) + Cp_G \left(\text{''}_{k,l}^{gas} - \text{''}_{k,l}^{sat} \right) \right] \leq \Theta_{i,j} \quad \forall i \in P^I, j \in J_i \\
& m_{k,l}^{ps} + \sum_l m_{i,j,k,l} - m_{k,l}^{turb} = 0 & \forall i \in P^I, j \in J_i, k \in P
\end{aligned}$$

gde je: R_{el} – vrednost električne energije proizvedena usled povećanja proizvodnje električne energije (\$/year), TCC – ukupni kapitalni troškovi (\$) i SOL – predviđeni životni vek postrojenja.

Vrednost generisana usled povećanja proizvodnje snage je prikazana sledećim izrazom:

$$R_{el} (\$/year) = \sum_{k \in K^P} \sum_{l \in L^K} (Power_{k,l}^{new} - Power_{k,l}^{old}) \cdot Pr_{power} \quad (4.23)$$

gde su: $Power_{k,l}^{new}$ – električna energija proizvedena u industrijskom kompleksu kada je uspostavljena integracija između postrojenja (kWh/god), $Power_{k,l}^{old}$ – električna energija proizvedena u industrijskom kompleksu bez integracije postrojenja (kWh/god) i Pr_{power} – cena po kojoj se električna energija može prodati na tržištu.

Ukupni kapitalni troškovi mogu se izračunati preko jednog jednačine (4.24).

$$TCC = \sum_{i \in I^P} \sum_{j \in J^I} \sum_{k \in K^P} \sum_{l \in L^K} b_{i,j,k,l} \cdot (Cost_Hex_{i,j,k,l} + Pcul_{i,j,k,l} \cdot L_{i,j,k,l}) \quad (4.24)$$

Cena električne energije iznosi 0.02 \$/kWh [120]. Operativni život integracione mreže je 10 godina. Cene toplih pomoći struje su sledeće [120]:

- Para niskog pritiska (ispod 180°C): 0.0025 \$/kg
- Para srednjeg pritiska (ispod 250°C): 0.006875 \$/kg

- Para visokog pritiska (iznad 250°C): 0.0075 \$/kg
- Para veoma visokog pritiska (510°C, 90 bara):

Kapitalni troškovi predstavljaju zbir cene cevovoda i cene razmenjiva a toplove svih uspostavljenih veza. Kapitalni troškovi po jedinici dužine se izra unavaju kao [129]:

$$P_{cul}{}_{i,j,k,l} \text{ (\$/m)} = A_1 \cdot wt_{cev} + A_2 \cdot D_{spoljasnji}^{0.48} + A_3 + A_4 \cdot D_{spoljasnji} \quad (4.25)$$

gde su: A_1 – cena cevi po jedinici težine (0.82 \$/kg), wt_{cev} – težina cevi po jedinici dužine (kg/m), A_2 – cena instalacije cevi (185\$/m^{0.48}), $D_{spoljasnji}$ – spoljašni pre nik cevi (m), A_3 - fiksni kapitalni troškovi (6.8 \$/m) i A_4 – cena izolacije (295 \$/m).

Unutrašnji pre nik cevi $D_{unutrašnji}$ se izra unava prema jedna ini (4.26):

$$D_{unutrašnji} = \sqrt{\frac{4 \cdot m_{i,j,k,l}}{u \cdot \dots_{i,j,k,l} \cdot f}} \quad (4.26)$$

i,j,k,l – gustina HTPS koju je generisala procesna struja j u postrojenju i i koja se povezuje sa TPS lu postrojenju k (kg/m³) i u – brzina fluida u cevi (m/s).

Pretpostavka je da je brzina pare u cevima 45 m/s za srednji i visoki pritisak i 20 m/s za paru niskog pritiska [130]. Da bi se odredio spoljašnji pre nik i težina po jedinici dužine, pretpostavljamo da se para niskog i srednjeg pritiska transporuje kroz cevi od ner aju eg elika pre nika schedule 40, dok se para visokog pritiska transportuje cevima od ner aju eg elika pre nika schedule 80. Podaci iz ASME B36.19M - 2004 standarda za ner aju i elik su regresirani da bi se dobole jedna ine kojima je mogu e izra unati spoljašnji pre nik i težinu cevi, gde je nezavisno promenljiva unutrašnji pre nik cevi [131]. Spoljašnji pre nik i težina cevi se izra unavaju prema slede im jedna inama:

- Za pre nik schedule 40

$$D_{spoljasnji}(m) = 1.052 \cdot D_{unutrašnji}(m) + 0.005251, \quad Schedule\ 40 \quad (4.27)$$

$$wt_{pipe}(kg / m) = 644.3 \cdot D_{unutrašnji}(m)^2 + 72.5 \cdot D_{unutrašnji}(m) + 0.4611, \quad Schedule\ 40 \quad (4.28)$$

- Za prenik schedule 80

$$D_{spoljašnji}(m) = 1.101 \cdot D_{unutrašnji}(m) + 0.006349, \text{ Schedule 80} \quad (4.29)$$

$$wt_{pipe}(kg/m) = 1330 \cdot D_{unutrašnji}(m)^2 + 75.18 \cdot D_{unutrašnji}(m) + 0.9268, \text{ Schedule 80} \quad (4.30)$$

Cena razmenjiva a toplotne se izračunava kao [130]:

$$Cost_Hex_{i,j,k,l}(\$) = 11000 + 150 \cdot A_{i,j,k,l} \quad (4.31)$$

gde je: $A_{i,j,k,l}$ – površina razmenjiva a toplotne za toplotnu razmenu (m^2). Površina razmenjiva a toplotne se izračunava na osnovu sledeće jednačine:

$$A_{i,j,k,l} = \frac{Q_{i,j,k,l}}{K_{i,j,k,l} \Delta T_{ln,i,j,k,l} FT_{i,j,k,l}} \quad (4.32)$$

gde su: $K_{i,j,k,l}$ – koeficijent prenosa toplotne ($kW/m^2/K$), $T_{ln,i,j,k,l}$ – srednja logaritamska razlika temperatura (K), $FT_{i,j,k,l}$ – korekcioni faktor, koji se izračunava na osnovu reference [122]. Srednji koeficijenti prolaza toplotne za svaki razmenjiva a toplotne, prikazani su u Tabeli 4.15.

Tabela 4.15 Koeficijenti prolaza toplote

Izvor	Ponor	K (W/m ² /K)
RU ₁₁	U ₂₃	677
RU ₁₁	U ₂₄	1125
RU ₁₁	U ₄₂	985
RU ₁₁	U ₄₃	602
RU ₁₂	U ₂₄	837
RU ₁₂	U ₄₂	794
RU ₁₂	U ₄₃	793
RU ₃₁	U ₁₂	898
RU ₃₁	U ₁₃	765
RU ₃₁	U ₂₂	921
RU ₃₁	U ₂₃	967
RU ₃₁	U ₂₄	1067
RU ₃₁	U ₄₁	1133
RU ₃₁	U ₄₂	870
RU ₃₁	U ₄₃	670
RU ₃₂	U ₁₃	1079
RU ₃₂	U ₂₂	818
RU ₃₂	U ₂₃	698
RU ₃₂	U ₂₄	698
RU ₃₂	U ₄₁	1003
RU ₃₂	U ₄₂	812
RU ₃₂	U ₄₃	677

Rezultujući problem sadrži celobrojne vrednosti binarne promenjive i nelinearne lanove u jednačini za izračunavanje troškova uspostavljanjem veze između postrojenja izvora i ponora toplote.

Optimizacijom navedenog problema, dobija se da ukupni godišnji profit preko iskorišćenja otpadne toplote iznosi 349,105.00 \$. Usled energetske integracije dolazi do povećanja proizvodnje električne energije koja iznosi 4522 kW ili 5.7% više nego što proizvode energane u industrijskom kompleksu [128]. Ukupna zarada povećanjem proizvodnje električne energije iznosi 716,360.00 \$. Optimalna ekonomska mreža dostiže skoro maksimalnu iskorišćenost otpadne toplote, koja je određena u koraku 4., ali su veze različite. Rezultati optimizacije

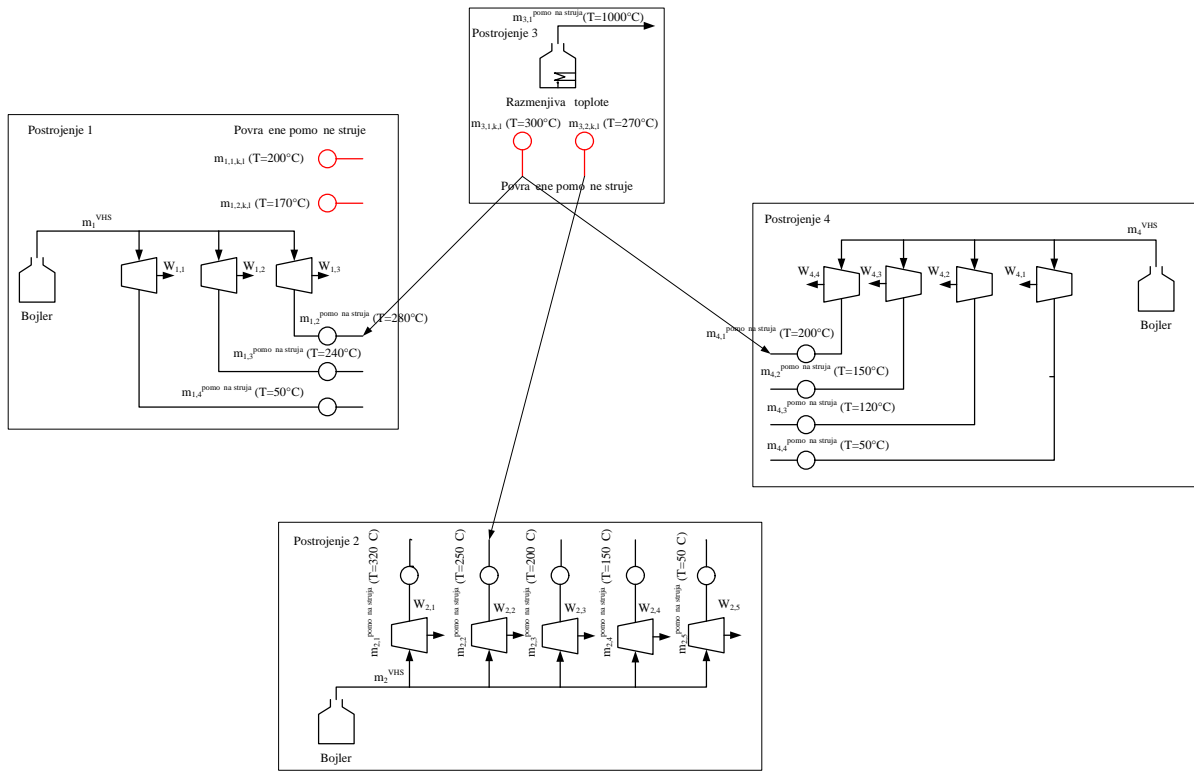
prikazani su u Tabelama 4.16 i 4.17. Optimalna integraciona mreža u slučaju maksimizovanja proizvodnje električne energije prikazana je na Slici 4.9.

Tabela 4.16 Optimizovana proizvodnja snage i masenog protoka na turbinama pri maksimalnoj proizvodnji snage i minimalnim ukupnim troškovima

<i>Postrojenje</i>	<i>Turbina</i>	<i>Snaga (kW)</i>	<i>Maseni protok (kg/s)</i>
<i>1</i>	<i>1</i>	2493.9	10.90
	<i>2</i>	5455.9	14.55
	<i>3</i>	11685.3	12.00
<i>2</i>	<i>1</i>	2603.7	11.35
	<i>2</i>	5559.7	18.13
	<i>3</i>	4775.0	10.23
	<i>4</i>	8190.2	12.67
	<i>5</i>	16941.7	17.24
<i>3</i>	-	-	-
<i>4</i>	<i>1</i>	3149.9	8.00
	<i>2</i>	6952.4	11.46
	<i>3</i>	7135.0	10.22
	<i>4</i>	9279.5	9.60

Tabela 4.17 Rezultati optimizacije za maksimizovanje snage i minimalnim ukupnim troškovima

<i>Veza</i>	<i>Vrsta pomoćne struje</i>	<i>Maseni protok (kg/s)</i>	<i>Cena cevovoda, \$</i>	<i>Cena razmenjivača toplote, \$</i>
3112	HP	2	636,581	546,983
3141	MP	1.6	900,754	260,637
3222	HP	2.87	911,094	416,590



Slika 4.9 Konfiguracija industrijskog kompleksa sa površenim pomočnim strujama za dobijanje maksimalne snage i minimalnih ukupnih troškova

Optimizacioni problem za minimalnu potrošnju goriva definisan je sledećom jednačinom:

$$\max GP = R_{VHS} - \frac{TCC}{SOL}$$

Sa ograničenjima

$$\sum_k \sum_l W_{k,l} = \Pi_k \quad \forall k \in P^K$$

$$u_{k,l} \cdot m_{k,l}^{t\min} \leq m_{k,l}^{turb} \leq u_{k,l} \cdot m_{k,l}^{t\max} \quad \forall k \in P^K, l \in L_k \quad (P2b)$$

$$b_{i,j,k,l} \cdot m_{i,j,k,l}^{\min} \leq m_{i,j,k,l} \leq b_{i,j,k,l} \cdot m_{i,j,k,l}^{\max} \quad \forall i \in I_i, j \in J_j, k \in K_k, l \in L_l$$

$$\sum_k \sum_l m_{i,j,k,l} \left[Cp_L \left(\text{''}_{k,l}^{sat} - \text{''}_{in,i} \right) + \Delta H_{vap} \left(\text{''}_{k,l}^{sat} \right) + Cp_G \left(\text{''}_{k,l}^{gas} - \text{''}_{k,l}^{sat} \right) \right] \leq \Theta_{i,j} \quad \forall i \in P^I, j \in J_i$$

$$m_{k,l}^{ps} + \sum_l m_{i,j,k,l} - m_{k,l}^{turb} = 0 \quad \forall i \in P^I, j \in J_i, k \in P^K$$

Vrednost koja se dobija usled smanjenja u potrošnji goriva se izra unava na osnovu slede e jedna ine:

$$R_{VHS} (\$/year) = \sum_{k \in K^P} \sum_{l \in L^K} \left((m_{k,l}^{VHS})^{old} - (m_{k,l}^{VHS})^{new} \right) \cdot Pr_{VHS} \quad (4.31)$$

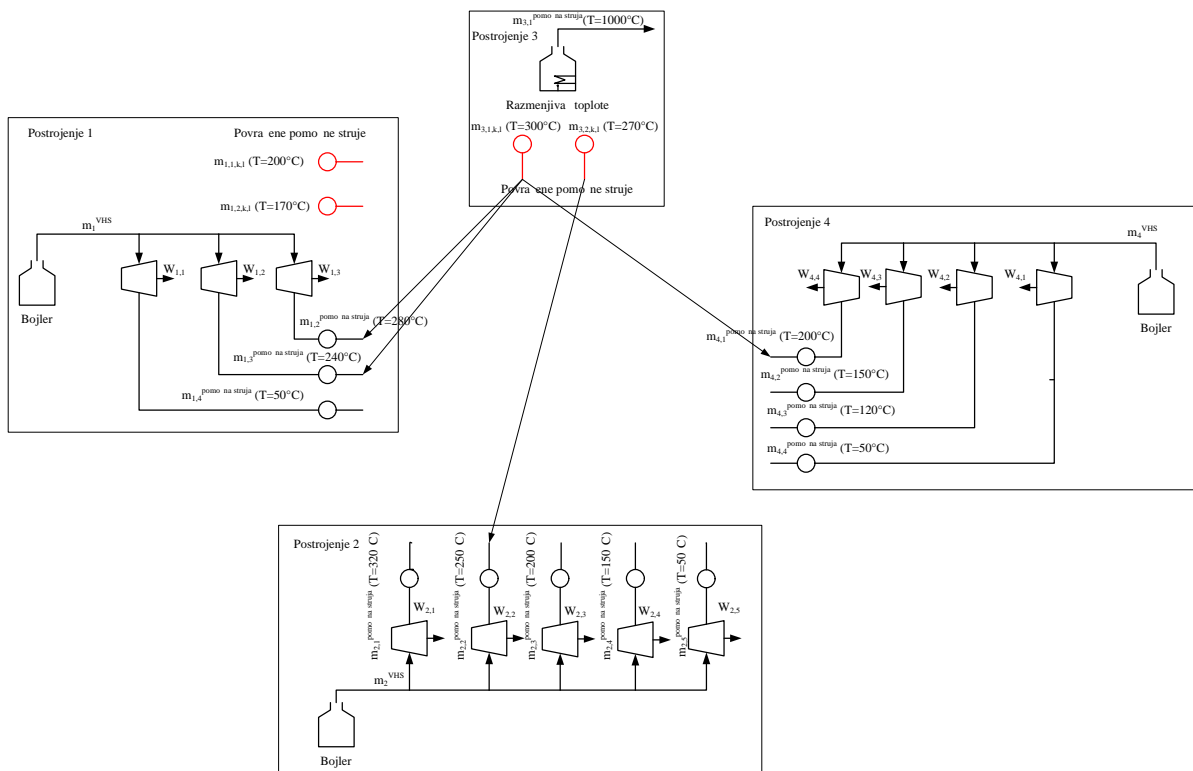
gde su: R_{VHS} – vrednost pare vrlo visokog pritiska proizvedena usled smanjene proizvodnje pare vrlo visokog pritiska (\$/god), $(m_{k,l}^{VHS})^{old}$ -maseni protok pare vrlo visokog pritiska pre energetske integracije, $(m_{k,l}^{VHS})^{new}$ - maseni protok pare vrlo visokog pritiska nakon integracije i Pr_{VHS} - cena po kojoj se para vrlo visokog pritiska može nabaviti na tržištu.

Rezultuju i problem sadrži celobrojne vrednosti binarne promenjive i nelinearne lanove u jedna ini za izra unavanje troškova uspostavljenih veza.

Optimizacija pokazuje da ukupan godišnji profit (GP) iznosi 1,091,557.00 \$ i on se dostiže kroz iskoriš enje otpadne toplove, odnosno njenim koriš enjem u procesu. Smanjenjem proizvodnje pare veoma visokog pritiska iznosi 7.7 kg/s ili 5.2% manje nego što se trenutno proizvodi u energetskom industrijskom kompleksu [128]. Ukupan profit koji se ostvaruje smanjenjem generisanja vodene pare veoma visokog pritiska iznosi 1,651,251.00 \$. Ekonomski optimalna integraciona mreža dostiže 98.7% od minimalnog mogu eg smanjenja u potrošnji goriva, odre enog u koraku 4 [128]. Rezultati optimizacije su prikazani u Tabelama (4.18) i (4.19). Optimalna integraciona mreža razmenjiva a toplove za minimalnu potrošnju goriva prikazana je na Slici (4.10).

Table 4.18 Optimizovana proizvodnja snage i masenog protoka na turbinama pri minimalnoj potrošnji goriva i minimalnim ukupnim troškovima

<i>Postrojenje</i>	<i>Turbina</i>	<i>Snaga (kW)</i>	<i>Maseni protok (kg/s)</i>
1	1	2351.6	10.32
	2	4298.6	11.64
	3	11430.8	11.75
2	1	2603.7	11.35
	2	5124.2	16.80
	3	4775.0	10.23
	4	8190.2	12.67
	5	15356.50	15.71
3	-	-	-
4	1	3014.6	7.68
	2	6952.4	11.46
	3	7135.0	10.22
	4	8467.2	8.80



Slika 4.10 Konfiguracija industrijskog kompleksa sa površinom strujama za dobijanje minimalne potrošnje goriva i minimalnih ukupnih troškova

Tabela 4.19 Rezultati optimizacije pri minimalnoj potrošnji goriva i minimalnim ukupnim troškovima

Veza	Vrsta pomoćne struje	Maseni protok (kg/s)	Cena cevovoda, \$	Cena razmenjiva a toplota, \$
3112	HP	2.58	689,525	673,592
3113	HP	2.91	928,060	457,679
3141	MP	1.92	955,886	290,765
3222	HP	4.20	1,043,378	558,044

5. Zaključak

Energetska integracija je jedan od najefikasnijih načina povećanja energetske efikasnosti. Do sada su razvijene metode za energetsku integraciju procesa i postrojenja. Ove metode doveli su do revolucije u smanjenju korištenja i potrošnje energije kako u procesima tako i u postrojenjima. Ovo su glavni razlozi zbog kojeg je nastavljeno proučavanje energetske integracije. U ovoj doktorskoj disertaciji predstavljena je energetska integracija industrijskog kompleksa kao nastavak razvijanja energetske integracije.

Energetska integracija industrijskog kompleksa koja je razvijena sastoji se iz sledećih celina:

- (i) Prikupljanje podataka
- (ii) Određivanje izvodljivih veza između struja
- (iii) Određivanje mogućih uštede energije u industrijskom kompleksu pri maksimizovanju proizvodnje snage na turbinama i minimizovanju potrošnje goriva na kotlovima
- (iv) Određivanje ukupnog godišnjeg profita i mogućih uštede energije u industrijskom kompleksu pri maksimizovanju snage na turbinama i minimizovanju potrošnje goriva na kotlovima.

Pri razvijanju metode za energetsku integraciju industrijskog kompleksa korišten je model Varbanova i autora [123] za modelovanje turbina. Tako je, različiti optimizacioni modeli su korišteni za određivanje maksimalne proizvodnje snage na turbinama i minimizovanju potrošnje goriva, kao i za određivanje maksimalne proizvodnje snage na turbinama i minimalne potrošnje goriva na kotlu pri maksimizovanju ukupnog godišnjeg profita. Pri određivanju maksimalnog ukupnog godišnjeg profita uzeti su u obzir i kapitalni troškovi pri ovakvoj integraciji, koji se sastoje od cene dodatnih razmenjivača toplove i cevovoda, da bi se odredila ekonomski najpovoljnija konfiguracija mreže.

Dobijeni rezultati su pokazali znatanu mogućnost uštede energije u industrijskim kompleksima. Za datu studiju slučaja pokazano je da se pri maksimizovanju snage na turbinama može proizvesti dodatnih 84.22 MW snage pomoću viške toplove, što predstavlja 5.7 % više snage nego što se generiše kada integracija postrojenja nije uspostavljena [128]. Zahtevi za TPS se smanjuju za 4 % upotrebom integracije. Zatim, pri minimizovanju potrošnje goriva na bojleru pokazano je da je minimalna potrošnja goriva u industrijskom kompleksu 9.7 kg/s, što je 6.6 % manje nego

što se sagoreva u po etnoj konfiguraciji industrijskog kompleksa, pre energetske integracije [128]. Ovakav rezultat pokazuje da se 10 % zahteva za TPS može zameniti sa HTPS. Pri projektovanju mreže za integraciju industrijskog kompleksa pri maksimizovanju ukupnog godišnje profita, upotrebom viška topote, postoji značajan potencijal za uštedu energije prilikom maksimizovanja snage na turbinama i minimizovanju potrošnje goriva na kotlu. Rezultati su pokazali da je ukupni godišnji profit pri maksimizovanju snage na turbinama 349,105.00 \$, odnosno dolazi do povećanja proizvodnje snage na turbinama za 4522 kW, ili za 5.7 % više nego što proizvedu energane u industrijskom kompleksu [128]. Takođe, ukupni godišnji profit pri minimizovanju potrošnje goriva na kotlu iznosi 1,091,577.00 \$, ili smanjenje proizvodnje pare veoma viskog pritiska od 7.7 kg/s, odnosno 5.2 % manje nego što se trenutno proizvodi u energanama industrijskog kompleksa [128].

Na osnovu dobijenih rezultata može se zaključiti da se upotrebom predložene metode za energetsku integraciju industrijskih kompleksa može znatno povećati energetska efikasnost industrijskih kompleksa, kao i smanjenje upotrebe energije u njima.

Reference

1. Energy Information Administration (EIA), Changes in Energy Intensity in the Manufacturing Sector 1985-1991: Manufacturing Energy Consumption Survey, Washington D.C., United States, 1995
2. S. L. Freeman, MJ. Niefer, J.M. Roop, Measuring Industrial Energy Efficiency: Physical Volume Versus Economic Value, Pacific Northwest National Laboratory (PNNL-11435), 1996
3. Asia Pacific Energy Research Centre (APERC), Energy Efficiency Indicators for Industry in the APEC Region, Tokyo, Japan, 2000
4. IEA/CEFIC (2007), Feedstock Substitutes, Energy Efficient Technology and C0₂ Reduction for Petrochemical Products, Workshop Proceedings, IEA, Paris, France, 12-13 December 2006

<http://www.iea.org/Textbase/work/2006/petrochemicals/proceedings.pdf>

5. American Chemistry Council (2005), The Ethylene Chain, 2005

www.americanchemistry.com

6. R. Heinen, E. Johnson, Efficient Technology and CO₂ Reduction for Petrochemical Products, IEA/CEFIC Workshop Proceedings: Feedstock Substitutes, Energy Efficient Technology and C0₂ Reduction for Petrochemical Products, Paris, France, 2006

7. J. Beer, E. Worrell, K. Blok, Future Technologies for Energy-efficient Iron and Steel Making, Ann. Rev. Energy Environm, 23 (1998) 123-205

8. (International Iron and Steel Institute, World Steel in Figures, Brussels, Belgium, 2005

9. H. Schoenberger, BREFor the Production of Iron and Steel - Conclusion on BAT, 2000

http://www.ecologic-events.de/sevillal/en/documents/Schoenberger_en.PDF

10. J. Wei, Practices of Lowing Energy Use for Iron Making System, Energy Conservation and Environmental Protection, 5 (2006)

11. K. Radikha, M. Mitra, Sponge Iron Industry are Killing Fields, 2006

<http://www.hatch.ca/Sustainable> Development/Projects/World%20Cement%20Paper.pdf.

12. Natural Resources Canada (NRCan)/ Canadian Steel Producers Association (CSPA), Benchmarking Energy Intensity in the Canadian Steel Industry, Ottawa, Canada, 2007

13. International Energy Agency (IEA), Coal Statistics, OECD/IEA, Paris, France, 2005

14. CISA (2005b), Iron and Steel Yearbook 2005, ISBN 1003-9368, Beijing, China, 2005

15. P. Diemer, i autori,, Potentials for Utilisation of Coke Oven Gas in Integrated Iron and Steel Works, Stahl und Eisen 124,7 (2004), 21-30

16. Battelle, Toward a Sustainable Cement Industry. Climate Change, WBCSD, Geneva, 2002

<http://www.wbcsd.org>

17. R. G. C. Beerkens, J. van Limp, Energy Efficiency Benchmarking of Class furnaces, Paper presented at the 62nd Conference on Class Problems, University of Illinois at Urbana-Champaign, Illinois, United States, 2001

18. EC Draft Reference Document on Best Available Techniques in the Ceramic Manufacturing Industry, European Commission, DG JRC, 2006

<http://www.epa.ie/>

19. Y. Cui,, Estimation of Energy Consumption and CO₂ Emission in Chinese Building Materials Industry in 2006, Institute of Technical Information for the Building Materials Industry of China (ITIBMIC), Beijing, China, 2007

20. Japan Cement Association (JCA), Cement Industry's Status and Activities for GHG Emissions Reduction in Japan, presentation to the IEA-WBCSD Workshop "Energy Efficiency and CO₂ Emission Reduction Potentials and Policies in the Cement Industry", IEA, Paris, France, September 2006

21. Price, Prospects for Efficiency Improvements in China's Cement Sector, Lawrence Berkeley National Laboratory (LBNL), presentation to the IEA-WBCSD Workshop "Energy Efficiency and C0₂ Emission Reduction Potentials and Policies in the Cement Industry", IEA, Paris, France, September 2006
22. European Commission (EC), Reference Document on Best Available Techniques in the Cement and Lime Manufacturing Industries, 2001
<http://www.infomil.nl/legsys/bref/cement.pdf>
23. Confederation of European Paper Industries (CEPI), Special Recycling Statistics. Brussels, Belgium, 2001
24. I. Francis, Energy Cost Reduction in the Pulp and Paper Industry - An Energy Benchmarking Perspective, Natural Resources Canada, Ottawa, Canada, 2002
25. European Recovered Paper Council (ERPC), European Declaration on Paper Recycling 2006-2010, Brussels, Belgium, 2006
26. IEA/ IETS, Recommended Methods for Energy Reporting in Pulp and Paper Industry, Summary Report, Annex XII: Assessment of Life-Cycle-Wide Energy-Related Environmental Impacts in the Pulp and Paper Industry, IEA Programme for Advanced Energy-Efficient Technologies in the Pulp and Paper Industry, 1999
27. Papricon, Energy Cost Reductions in the Pulp and Paper Industry, An Energy Benchmarking Perspective, Natural Resources Canada, Ottawa, Canada, 2002
28. A. Whiteman, Recent Trends and Developments in Global Markets for Pulp and Paper, United Nations Food and Agricultural Organization, Rome, Italy, 2005
29. Worrell, Opportunities to Improve Energy Efficiency in the US Pulp and Paper Industry, Lawrence Berkeley National Laboratory, Berkeley, California, United States, 2001
30. European Commission (EC), IPPC Reference Document on Best Available Techniques in the Non-Ferrous Metals Industry, European Commission, Brussels/Seville, December 2001

31. Department of Industry Science and Resources (ISR) (, Energy Efficiency Best Practices in the Australian Aluminium Industry, ISBN 0 642 72041 X, Canberra, Australia, 2000
32. International Aluminium Institute (IAI), Life Cycle Assessment of Aluminium: Inventory Data for the Worldwide Primary Aluminium Industry, IAI, London, United Kingdom, 2003
33. US DOE, Improving Steam System Performance: A Sourcebook for Industry, prepared by Lawrence Berkeley National Laboratory and Resource Dynamics Corporation, Washington, D.C., United States, D0E/G0-102004-1868, 2004

http://www1.eere.energy.gov/industry/bestpractices/techpubs_steam.html

34. Masso, A. H. Masso; D. F. Rudd, The Synthesis of System Designs— II. Heuristic Structuring, *AIChE J.*, 75 (1969) 10-17
35. H. Ten Broeck, Economic Selection of Exchanger Sizes, *Ind. Eng. Chem.*, 36 (1944) 64-67
36. G. Westbrook, Use this Method to Size Each Stage for Best Operation, *Hydrocarbon Process. Pet. Refin.*, 40 (1961) 201 -206
37. C. S Hwa, *Mathematical Formulation and Optimization of Heat Exchanger Networks Using Separable Programming*, *AIChE—IChemE Symposium Series 4*; *AIChE: New York*, 1965; 101 — 106
38. D. F. Rudd, The Synthesis of System Designs: I. Elementary Decomposition Theory, *AIChE J.*, 14 (1968), 343-349
39. M. G. Kesler, R. O. Parker, Optimal Networks of Heat Exchange, *Chem. Eng. Prog. Symp. Ser.*, 65 (1969) 111-120
40. T. Gundersen, L. Naess, The Synthesis of Cost Optimal Heat Exchanger Networks, *Comput. Chem. Eng.*, 12 (1988) 503-530
41. R. L. McGalliard,A. W. Westerberg, Structural Sensitivity Analysis in Design Synthesis, *Chem. Eng. J.*, 4 (1972) 127—138

42. T. Umeda,J. Itoh,K. Shiroko, Heat Exchange System Synthesis, *Chem. Eng. Prog.*, 74 (1978) 70- 76
43. B. Linnhoff, J. R. Flower, Synthesis of Heat Exchanger Networks—I. Systematic Generation of Energy Optimal Networks, *AICHE J.*, 24 (1978) 633-642
44. B. Linnhoff, J. R. Flower, Synthesis of Heat Exchanger Networks—II. Evolutionary Generation of Networks with Various Criteria of Optimality, *AICHE J.*, 24 (1978) 642-654
45. J. Cerdá, A. W. Westerberg, D. Mason, B. Linnhoff, Minimum Utility Usage in Heat Exchanger Network Synthesis, *Chem. Eng. Sci.*, 38 (1983) 373-387
46. J. Cerdá, A.W. Westerberg, Synthesizing Heat Exchanger Networks Having Restricted Stream/Stream Matches Using Transportation Problem Formulations, *Chem. Eng. Sci.*, 38 (1983) 1723-1740
47. S.A. Papoulias, I. E. Grossmann, A Structural Optimization Approach in Process Synthesis—II. Pleat Recovery Networks, *Comput. Chem. Eng.*, 7 (1983) 707-721
48. B. Linnhoff, D. R. Vredeveld, Pinch Technology Has Come of Age, *Chem. Eng. Prog.*, 80 (1984) 33-40
49. T. N. Tjoe, B. Linnhoff, Using Pinch Technology for Process Retrofit, *Chem. Eng.*, 93 (1986) 47-60
50. Y. Li, R.L Motard, Optimal Pinch Approach Temperature in Heat-Exchanger Networks, *Ind. Eng. Chem. Fundam.*, 25 (1986) 577-581
51. C. A. Floudas, A. R. Cirić, I. E. Grossmann, Automatic Synthesis of Optimum Pleat Exchanger Network Configurations, *AICHE J.*, 32 (1986) 276-290
52. E. Rev, Z. Fonyo, Hidden and Pseudo Pinch Phenomena and Relaxation in the Synthesis of Heat-Exchange Networks, *Comput. Chem. Eng.*, 10 (1986) 601—607
53. E. Rev, Z. Fonyo, Additional Pinch Phenomena Providing Improved Synthesis of Heat Exchange Networks, *Hung. J. Ind. Chem.*, 14 (1986) 181-201

54. S.A. Jones, Methods for the Generation and Evaluation of Alternative Heat Exchanger Networks, Ph.D. Dissertation ETH Zürich, Zürich, 1987
55. X. Yuan, L. Pibouleau, S. Domenech, Experiments in Process Synthesis via Mixed-Integer Programming, *Chem. Eng. Process.*, 25 (1989) 99-116
56. T. F. Yee, I. E. Grossmann, Simultaneous Optimization Models for Heat Integration—II. Heat Exchanger Network Synthesis, *Comput. Chem. Eng.*, 14 (1990) 1165-1184
57. A. R. Cirić, C.A. Floudas, Heat Exchanger Network Synthesis without Decomposition, *Comput. Chem. Eng.*, 15 (1991) 385-396
58. I.C. Kemp, Pinch Analysis and Process Integration: A User Guide on Process Integration for the Efficient Use of Energy, Butterworth-Heinemann, 2007
59. E.C. Hohman, *Optimum Networks of Heat Exchange*, PhD Thesis, University of Southern California, 1971
60. B. Linnhoff B, J. R. Flower, Synthesis of Heat Exchanger Networks I. Systematic Generation of Energy Optimal Networks , *AIChE J*, 24(1978), 633-642
61. B. Linnhoff, D. W. Townsend, D. Boland, G. F. Hewitt, B. E. A. Thomas, A. R. Guy, R.H. Marsland, *A User Guide on Process Integration for the Efficient Use of Energy*, IChemE, UK, 1982
62. J. Itoh, K. Shiroko, T. Umeda, Extensive Application of the T - Q Diagram to Heat Integrated System Synthesis, *International Conference on Proceedings Systems Engineering* , Kyoto, 1982
63. D. W. Townsend, B. Linnhoff, Heat and Power Networks in Process Design, *AIChE J*, 29 (1983) 742
64. E. C. Hohman, *Optimum Networks for Heat Exchange*, PhD Thesis, University of Southern California, 1971
65. D. W. Townsend, B. Linnhoff, *Surface Area Targets for Heat Exchanger Networks*, IChemE Annual Research Meeting, Bath, UK, 1984

66. B. Linnhoff,, S. Ahmad, Cost Optimum Heat Exchanger Networks - I. Minimum Energy and Capital Using Simple Models for Capital Cost, *Comp Chem Eng*, 14 (1990) 729-750
67. B. Linnhoff,E. Hindmarsh, The Pinch Design Method of Heat Exchanger Networks, *Chem Eng Sci*, 38 (1983) 745-763
68. B. Linnhoff, D.W Townsend, D. Boland, G. F. Hewitt, B. E. A Thomas , A. R. Guy,R. H. Marsland, *A User Guide on Process Integration for the Efficient Use of Energy*, IChemE Rugby, UK,1982
69. R. M. Wood, R. J. Wilcox, I. E. Grossmann, A note on the minimum number of units for heat exchanger network synthesis, *Chemical Eng. Communications*,39 (1985) 371
70. T. F. Yee, I. E. Grossmann, Z. Kravanja, Simultaneous optimization models for heat integration—I. Area and energy targeting and modeling of multistream exchangers. *Comp, and Chem. Engng.*,14 (1990) 1165
71. J. J. J Chen, Letter to the Editor: Comments on improvement on a replacement for the logarithmic mean, *Chem. Engng. Sci.*, 42 (1987) 2488
72. M. M. Daichendt, I. E. Grossmann, Preliminary screening procedure for the MINLP synthesis of process systems. II. Heat exchanger networks, *Comp. and Chem. Engng.*, 18 (1994) 679
73. J. Cerdá,A. W. Westerberg, D. Mason, B. Linnhoff, Minimum utility usage in heat exchanger network synthesis—A transportation problem, *Chem. Engng Sci.*, 38 (1983) 373
74. T. Gundersen, I. E. Grossmann, Improved optimization strategies for automated heat exchanger network synthesis through physical insights. *Comp, and Chem. Engng.*,14 (1990) (9) 925
75. C. A. Floudas, A. R. Ciric, Strategies for overcoming uncertainties in heat exchanger network synthesis, *Comp. and Chem. Engng.*, 13 (1989) (10) 1117
76. V. R. Dhole, B. Linnhoff, Total Site Targets for Fuel, Cogeneration, Emissions and Cooling, ESCAPE - II Conference, Toulouse, France, 1992
77. K. Raissi, Total Site Integration, PhD Thesis, UMIST, UK, 1994
78. R. Smith, Chemical Process Design and Integration, John Wiley & Sons Ltd, 2005

79. J. Klemes V. R. Dhole, K. Raissi, S. J. Perry, L. Puigjaner, Targeting and Design Methodology for Reduction of Fuel, Power and CO₂ on Total Sites, *J Applied Thermal Eng*, 17 (1997) 993
80. L.T. Biegler, I.E. Grossmann, A.W. Westerberg, Sistematic methods of chemical process design, Person Education, 1997
81. C. A. Floudas, P. M. Pardalos, Encyclopedia of Optimization, Springer Science+Business Media, 2009
82. C. A. Floudas, Nonlinear and Mixed-Integer Optimization, Oxford University Press, 1995
83. <http://www.ampl.com/>
84. <http://www.gams.com/>
85. http://www.lindo.com/index.php?option=com_content&view=article&id=2&
86. http://www.lindo.com/index.php?option=com_content&view=article&id=2&
87. <http://www.tomopt.com/tomlab>
88. I. Allison, N. L. BindoffR. A. Bindschadler P. M. Cox, N. de Noblet, M. H. England i autori, The Copenhagen diagnosis, The University of New South Wales Climate Change Research Centre (CCRC), Sidney, 2009
[http://www.ccrc.unsw.edu.au/Copenhagen/Copenhagen Diagnosis HIGH.pdf](http://www.ccrc.unsw.edu.au/Copenhagen/Copenhagen_Diagnosis_HIGH.pdf) (September 2012)
89. IPCC. Climate Change 2007: Synthesis Report. Valencia; 2007.
http://www.ipcc.ch/publications_and_data/publications_ipcc_fourth_assessment_report_synthesis_report.htm (September 2012)
90. Smith JB, Schneider SH, Oppenheimer M, Yohe GW, Hare W, Mastrandrea MD, Patwardhan A, Burton A, Corfee-Morlot J, Magadza CHD, Füssel HM, Pittock AB, Rahman A, Suarez A, van Ypersele JP, Assessing dangerous climate change through an update of the Intergovernmental Panel on Climate Change (IPCC) “reasons for concern”. PNAS 2008:

<http://www.pnas.org/content/early/2009/02/25/0812355106.full.pdf+html> (September 2012)

91. C. Le Quéré, M. R. Raupach, J. G. M. Canadell, Trends in the sources and sinks of carbon dioxide, *Nature Geoscience*, 2 (2009) 831-836
92. IEA, “Tracking industrial energy efficiency and CO₂ emissions”, http://www.iea.org/textbase/nppdf/free/2007/tracking_emissions.pdf, 2007 93. B. Metz, O. R. Davidson, P. R. Bosch, R. Dave, L. A. Meyer, Contribution of Working Group III to the Fourth Assessment Report of the Intergovernmental Panel on Climate Change, 2007,
http://www.ipcc.ch/publications_and_data/ar4/wg3/en/contents.html (September 2012)
94. J. A. Stanislaw, Climate changes everything: the dawn of the green economy, Deloitte , 2008
http://www.cleantechsandiego.org/reports/us_er_Stanislaw_Climate%20Changes%20Everything_01-15-08%20FINAL.pdf (September 2012)
95. P. A. Enkvist, T. Nauclér, J. M. Oppenheim, Business strategies for climate change, *The McKinsey Quarterly* 2008,
https://www.mckinseyquarterly.com/Business_strategies_for_climate_change_2125 (September 2012)
96. S. Bonini, J. M. Oppenheim, The next environmental issue for business, *The McKinsey Quarterly* August, 2010
https://www.mckinseyquarterly.com/The_next_environmental_issue_for_business_McKinsey_Global_Survey_results_2651 (September 2012)
97. The Goldman Sachs Group, Change is coming: A framework for climate change – a defining issue of the 21st century, 2009,
<http://www.goldmansachs.com/our-thinking/topics/gs-sustain/gs-sustain/climate-change-research-pdf.pdf> (September 2012)
98. WCED (World Commission on Environment and Development), Our common future (The Brundtland Report), New York, 1987, Oxford University Press

99. J. Elkington, Towards the sustainable corporation: win-win-win business strategies for sustainable development, *Calif Manage*, 36 (1994) 90–100
100. J. A. Stanislaw, Climate changes everything: the dawn of the green economy, Deloitte, http://www.cleantechsandiego.org/reports/us_er_Stanislaw_Climate%20Changes%20Everything_01-15-08%20FINAL.pdf, 2008 (September 2012)
101. P. A. Enkvist, T. Nauclér, J. M. Oppenheim, Business strategies for climate change, *The McKinsey Quarterly*, 2008
https://www.mckinseyquarterly.com/Business_strategies_for_climate_change_2125, [September 2012]
102. S. Bonini, J. M. Oppenheim, The next environmental issue for business, *The McKinsey Quarterly*, 2010
https://www.mckinseyquarterly.com/The_next_environmental_issue_for_business_McKinsey_Global_Survey_results_2651, [September 2012].
103. The Goldman Sachs Group, Change is coming: a framework for climate change a defining issue of the 21st century, 2009
<http://www.goldmansachs.com/ourthinking/topics/gs-sustain/gs-sustain/climate-change-research-pdf.pdf>, [September 2012]
104. V. R. Dhole, B. Linnhoff, Total site targets for fuel, co-generation, emissions, and cooling, *Computers Chemical Engineering*, 17 (1992) 101–109
105. K. Raissi, Total site integration, Ph.D. Thesis, UMIST, UK, 1994
106. C. Hu, S. Ahmad, Total site heat integration using the utility system, *Computers and Chemical Engineering* 18 (1994) 729-742
107. J. Klemes, V. R. Dhole, K. Raissi, S. J. Perry, L. Puigjaner, Targeting and design methodology for reduction of fuel, power and CO₂ on total sites, *Applied Thermal Engineering* 7 (1997) 993–1003

108. Y. Makwana, R. Smith, XX. Zhu, A novel approach for retrofit and operation management of existing total sites, *Computer Chemical Engineering*, 22 (1998) 793–806.
109. H. Kimura, R-curve concepts for analysis and optimisation of cogeneration systems, MSc Dissertation, UMIST, UK, 1998
110. F. Maréchal, B. Kalitventzeff, Energy integration of industrial sites: tools, methodology and application, *Applied Thermal Engineering*, 18 (1998) 921-33
111. H. Kimura, XX. Zhu, R-curve concept and its application for industrial energy management, *Industrial and Engineering Chemistry Research*, 39 (2000) 2315–2335
112. M. Bagajewicz, H. Rodera, On the use of heat belts for energy integration across many plants in the total site, *The Canadian Journal of Chemical Engineering*, 79 (2001) 633-642
113. F. Marechal, B. Kalitventzeff, Targeting the integration of multi-period utility systems for site scale process integration, *Applied Thermal Engineering*, 23 (2003) 1763-1784
114. S. Perry, J. Klemes, I. Bulatov, Integrating waste and renewable energy to reduce the carbon footprint of locally integrated energy sectors, *Energy*, 33 (2008) 1489–1497.
115. S. Bandyopadhyay, J. Varghese, V. Bansal, Targeting for cogeneration potential through total site integration, *Applied Thermal Engineering*, 30 (2010) 6-14
116. P. Varbanov, J. Klemes, Total sites integrating renewables with extended heat transfer and recovery, *Heat Transfer Engineering*, 31 (2010) 733-741
117. Z. Fodor, P.S. Varbanov, J. Klemes, Total site targeting accounting for individual process heat transfer characteristics, *Chemical Engineering Transactions*, 21 (2010) 49-54
118. M.M. El-Halwagi, *Process Integration*, Elsevier: Academic Press, 2006
119. Vladimir Stijepovic, Patrick Linke, Sabla Alnouri, Mirjana Kijevcanin, Aleksandar Grujic, Mirko Stijepovic, Toward enhanced hydrogen production in catalytic naphta reforming process, *International Journal of Hydrogen Energy*, 37, 2012, 11772-11784

120. M. Stijepovic, P. Linke, Optimal waste heat recovery and reuse in industrial zones, *Energy*, 36 (2011) 4019-4031
121. B. Linnhoff, V. R. Dhole, Shaftwork targets for low-temperature process design, *Chemical Engineering Science*, 47 (1992), 2081–2091
122. R. Smith, *Chemical Process Design and Integration*, John Wiley & Sons Ltd, 2005
123. P. S. Varbanov, S. Doyle, R. Smith, Modelling and Optimisation of Utility Systems, *Trans I ChemE*, 82 (2004), 561124. S. P. *Mavromatis*, Conceptual Design and Operation of Industrial Steam Turbine Networks, *PhD Thesis, UMIST, UK, 1996*
125. S. P. Mavromatis, A. C. Kokossis, Conceptual Optimisation of Utility Networks for Operational Variations - I Targets and Level Optimisation, *Chem Eng Sei*, 53 (1998) 1585
126. C. C. Chou, Y. S. Shih, A Thermodynamic Approach to the Design and Synthesis of Utility Plant, *Ind Eng Chem Res*, 26 (1987) 1100
127. J. F. Peterson, W. L. Mann, Steam System Design: How it Evolves, *ChemEng*, 92 (1985) 62
128. V. Stijepovic, P. Linke, M. Stijepovic, M. Lj. Kijevanin, S. Šerbanovic, Targeting and design of industrial zone waste heat reuse for combined heat and power generation, *Energy*, 47 (2012), 302-313
129. T. K. Stovall, Evaluation of Steam Pipeline, United States Department of Energy, 1981
130. G. Towler, R. Sinnott, *Chemical Engineering Design: principles, practice and economics of plant and process design*, Butterworth-Heinemann , 2007
131. American Society of Mechanical Engineers, ASME B36.19M - 2004 Stainless Steel Pipe

Lista slika

Slika 2.1 Temperaturno - entalpijski profili tople i hladne procesne struje

Slika 2.2 Temperaturno-entalpijski profil tople i hladne struje za minimalnu razliku temperature
20°C

Slika 2.3 Temperaturno – entalpijski profili skupa toplih i hladnih procesnih struja

Slika 2.4. Velika kompozitna kriva

Slika 2.5 Velika kompozitna kriva dozvoljava različitim alternativnim pomoćnim strujama da budu procenjene

Slika 2.6 Integracija parnih turbine sa procesom

Slika 2.7 Dva alternativna grafa

Slika 2.8 Da bi se odredila površina mreže uravnotežene kompozitne krive su podeljene na temperaturne intervale

Slika 2.9 pokazuje podatke za struje date tabelom 2.1

Slika 2.10 CP tabela za projektovanje iznad i ispod Pincha za problem dat Tabelom 2.1

Slika 2.11 Dimenzionisanje ure aja iznad Pincha koriste i tick-off pravilo

Slika 2.12 Dimenzionisanje ure aja ispod Pincha koriste i tick-off pravilo

Slika 2.13 Kompletano projektovanje za podatke iz Tabele 2.1

Slika 2.14 Toplotni protoci u intervalu k

Slika 2.15 Interval za prošireni transshipment model

Slika 2.16 Primer topotnih protoka u slučaju kada topla struja ne doprema toplotu svim intervalima

Slika 2.17 Toplotni protok u proširenom transshipment modelu

Slika 2.18 Superstruktura za parove H1-C1, H1-C2

Slika 2.19 Promenljive za superstrukuru sa dva para

Slika 2.20 Superstruktura sa dve podmreže

Slika 2.21 Šematski prikaz postrojenja

Slika 2.22 Komozitne krive za izvor i ponor toplote u postrojenju

Slika 2.23 Kompozitne krive sa pomoćnim strujama

Slika 2.24 Ušteda toplote u postrojenju

Slika 2.25 Protoci toplote uključujući i sistem pomoćnih struja postrojenja

Slika 2.26 Tipovi optimizacionih problema koji se najčešće javljaju u hemijskom inženjerstvu

Slika 3.1 Ilustracija proizvodnog postrojenja

Slika 3.2 Ilustracija industrijskog kompleksa

Slika 3.3 Plan industrijskog kompleksa

Slika 3.4. Šematski prikaz dela energane i podaci koje je potrebno prikupiti

Slika 3.5. Potrebni podaci za ramenjiva topla procesna struja i hladna pomoćna struja

Slika 3.6. Eksergetska kompozitna kriva

Slika 3.7 Srednja temperatura segmenta

Slika 3.8. Eksergetske kompositne krive u razmenjivaču toplote

Slika 3.9 Uspostavljanje veze između postrojenja

Slika 3.10 Razmena topline između procesne i pomoćne struje: a) postojeći razmenjivač, b) novi razmenjivač

Slika 3.11 Šematski prikaz energane i sistema pomoćnih struja

Slika 4.1 Šematski prikaz konfiguracije energana u industrijskom kompleksu

Slika 4.2 Zavisnost ukupne efikasnosti od osovinskog rada

Slika 4.3 Zavisnost osovinskog rada od masenog protoka pare

Slika 4.4 Zavisnost ukupne efiksasnosti od maksimalnog proizvedenog osovinskog rada sa promenom ulaznog pritiska

Slika 4.5 Zavisnost maksimalno proizvedenog osovinskog rada i maksimalnog izentropskog rada za razlike ulazne pritiske

Slika 4.6 Izvodljive veze između postrojenja

Slika 4.7 Konfiguracija industrijske zone sa površinom pomoćnih strujama za dobijanje maksimalne snage

Slika 4.8 Konfiguracija industrijske zone sa površinom pomoćnih strujama za dobijanje minimalne potrošnje goriva

Slika 4.9 Konfiguracija industrijske zone sa površinom pomoćnih strujama za dobijanje maksimalne snage i minimalnih ukupnih troškova

Slika 4.10 Konfiguracija industrijske zone sa površinom pomoćnih strujama za dobijanje minimalne potrošnje goriva i minimalnih ukupnih troškova

Lista tabela

Tabela 1.1 Upotreba kombinovane proizvodnje toplote i elektri ne energije u hemijskoj i petrohemijijskoj industriji

Tabela 1.2 Prikaz koriš enja kombinovane proizvodnje toplote i elektri ne energije u industriji celuloze i papira, u razli itim zemljama

Tabela 2.1 Podaci o razmenjenoj topoti struja

Tabela 4.1 Zahtevi za toplim pomo nim strujama u industrijskom kompleksu

Table 4.2. Podaci za procesne i hladne pomo ne struje u razmenjiva ima toplote

Tabela 4.3 Proizvodnja elektri ne energije i maseni protok pare kroz turbine

Tabela 4.4. Podaci potrebni za odre ivanje koeficijenata za turbine

Tabela 4.5. Korelacioni parametri za parne turbine

Tabela 4.6 Maseni protoci HTPS koje mogu biti generisane u industrijskom kompleksu

Tabela 4.7 Promena eksergije procesne struje i HTPS tokom razmene toplote

Table 4.8 Podaci za integracioni potencijal HTPS

Table 4.9 Promena temperature duž cevovoda po jedinici dužine

Tabela 4.10 Transportne temperature i izvodljiva povezivanja

Tabela 4.11 Optimizovane vrednosti proizvodnje elektri ne energije i masenog protoka za maksimalnu proizvodnju elektri ne energije

Table 4.12 Rezultati optimizacije za dostizanjemaksimalne proizvodnje elektri ne energije

Tabela 4.13 Optimizovana proizvodnja snage i masenog protoka na turbinama pri minimalnoj potrošnji goriva

Tabela 4.14 Rezultati optimizacije pri minimalnoj potrošnji goriva

Tabela 4.15 Koeficijenti prolaza toplote

Tabela 4.16 Optimizovana proizvodnja snage i masenog protoka na turbinama pri maksimalnoj proizvodnji snage i minimalnim ukupnim troškovima

Tabela 4.17 Rezultati optimizacije za maksimizovanje snage i minimalnim ukupnim troškovima

Table 4.18 Optimizovana proizvodnja snage i masenog protoka na turbinama pri minimalnoj potrošnji goriva i minimalnim ukupnim troškovima

Tabela 4.19 Rezultati optimizacije pri minimalnoj potrošnji goriva i minimalnim ukupnim troškovima

Lista oznaka

a i b - korelacioni koeficijenti

a, b, c – konstante koštanja koje variraju u zavisnosti od konstrukcionog materijala, pritiska i tipa razmenjiva a

a_0, a_1, a_2, a_3 – korelacioni koeficijenti

A_1 – cena cevi po jedinici težine (0.82 \$/kg)

A_{11}, A_{12} - površina razmenjiva a toplove 11 i 12

A_2 – cena instalacije cevi (185\$/m^{0.48})

A_3 - fiksni kapitalni troškovi (6.8 \$/m)

A_4 – cena izolacije (295 \$/m)

$A_{i,j,k,l}$ – površina razmenjiva a toplove za toplotnu razmenu (m²)

$A_{MREŽE}$ – površina za toplotnu razmenu za vertikalni prenos toplove za celu mrežu

$A_{MREŽE,kei}$ – površina za toplotnu razmenu za vertikalni prenos toplove u entalpijskom intervalu k_{ei}

C – broj komponenti

$C1, C2$ - hladne struje

c_1, c_2, β - parametri troškova

Cel – cena elektri ne energije

C_{elcena} – cena elektri ne energije na tržištu

Cg Cg - cena goriva

C_{goriva} – cena goriva

C_{it} - investicioni troškovi

C_{it1} i C_{it2} - investicioni troškovi za dva razmenjiva a toplove

C_k - $\{j \mid$ hladna struja j zahteva toplotu iz temperaturnog intervala $k_{ti}\}$

$CostHex$ - cena koštanja razmenjiva a toplotne (\$)

CP - voden i ekvivalent

$C_{p,liq}$, $C_{p,vap}$ i $C_{p,gas}$ - srednji specifi ni toplotni kapaciteti

CP_C - voden i ekvivalent hladne procesne struje

Cp_G - toplotni kapacitet pomo ne struje u gasovitom stanju (kJ/kg/K)

CP_H - voden i ekvivalent tople procesne struje

Cp_L - toplotni kapacitet pomo ne struje u te nom stanju (kJ/kg/K)

$D_{spoljašnji}$ - spoljašni pre nik cevi (m)

ΔEx - promena eksergije

ΔEx^{HPS} – eksergija hladne pomo ne struje u postoje em razmenjiva u toplotne

ΔEx^{HTPS} – eksergija HTPS u novo uspostavljenom razmenjiva u toplotne

Ex_{loss} - gubitak eksergije

Ex^{pf} – promena eksergije procesnog fluida

Ex^{rf} – promena eksergije rashladnog fluida

$E_{k,l}^{novo}$ - vrednost generisane elektri ne energije nakon uspostavljanje integracije

$E_{k,l}^{trenutno}$ - vrednost generisane elektri ne energije pre uspostavljanja integracije

$f(x)$ - funkcija cilja

F,f – protok

$FT_{i,j,k,l}$ - korekcion faktor

$g(x,y)$ - nejedna ina koje opisuju specifikacije koje sistema mora da zadovolji

GP - ukupni godišnji profit

$h(x,y)$ – jedna ina kojima je opisan prediktivni model

H - entalpija

H_{kei} – promena entalpije u entalpijskom intervalu k_{ei}

HI - topla struja

h_i, h_j – koeficijenti prenosa filma za topnu struju i i hladnu struju j (uklju uju i zid i otpor one iš enja)

$h_{izentropsko}$ - entalpija pare na izlaznom pritisku koja ima istu entropiju kao ulazna struja

h_{izlaz} - specifi na entalpija izlazne pare

H'_k - $\{i |$ tople struje i su prisutne u intervalu k_{ti} ili na višem intervalu $\}$

H_k - $\{i |$ topna struja i doprema toplotu u temperaturni interval k_{ti} $\}$

HPS - hladna pomo na struja

HS - para visokog pritiska

$HTPS$ - hladno topna pomo na struja

h_{ulaz} - specifi na entalpija ulazne pare

ΔH - promena entalpije

$h_{liq}, h_{zasi enja}, h_{gas}$ – promene entalpije u te noj fazi, pri faznoj transformaciji i u gasnoj fazi

$\Delta H_{vap} \left(\text{sat}_{k,l} \right)$ - latentna toplota fazne transformacije pomo ne struje l , u postrojenju ponora toplote k (kJ/kg)

I – ukupan broj toplih struja u entalpijskom intervalu k_{ei}

Ip - integracioni potencijal

J – ukupan broj hladnih struja u entalpijskom intervalu k_{ei}

$J_p - \{j\}$, skup procesnih struja u postrojenju p koje odbacuje višak toplote u hladne pomo ne struje

K - koeficijent prolaza topline

K_{I1}, K_{I2} - ukupni koeficijenti prolaza topline za dva razmenjiva a

K_{ei} – ukupan broj entalpijskih interval

$K_{i,j,k,l}$ – koeficijent prenosa topline ($\text{kW}/\text{m}^2/\text{K}$)

K_q - broj temperaturnih intervala u podmreži q

KP - kapitalni troškovi

k_{ti} - temperaturni interval

K_{ti} - ukupan broj temperaturnih intervala

L – broj nezavisnih petlji

L - parametar koji zavisi od karakteristika turbine

$L_{i,j,k,l}$ - rastojanje (m) između novoupostavljenog razmenjiva a u prostorijenju izvora i , procesne struje j i TPS l u postrojenju ponora k

$L_p - \{l\}$, skup ponosnih struja u postrojenju p

LS – vodena para niskog pritiska

m - maseni protok pare kroz turbine

$m_{k,l}^{G,novo}$ - maseni protok goriva koji se troši nakon energetske integracije

m_{goriva} – maseni protok goriva

$m_{k,l}^{G,tr enutno}$ - maseni protok goriva koji se troši pre energetske integracije

m_{HTPS} - maseni protok hladno tople pomo ne struje

$m_{i,j,k,l}$ - maseni protok rashladno - grejnjog fluida

m_{max} - maksimalni protok vodene pare kroz turbine

$m_{k,l}^{ps}$ - maseni protok pomo ne struje l , u postrojenju k

MS - para srednjeg pritiska

$m_{k,l}^{t\min}, m_{k,l}^{t\max}$ - minimalni i maksimalni protok kroz turbine pomo ne struja l u postrojenju k

$m_{k,l}^{turb}$ - maseni protok kroz turbinu pomo ne struje l , u postrojenju k

m_k^{vap} - proizvedena koli ina vodene pare veoma visokog pritiska (VHS)

$(m_{k,l}^{VHS})^{new}$ - maseni protok vodene pare vrlo visokog pritiska nakon integracije

$(m_{k,l}^{VHS})^{old}$ - maseni protok vodene pare vrlo visokog pritiska pre energetske integracije

N – broj jedinica ili omota a, u zavisnosti šta je pogodnije

n – nagib linearne Willanove linije

$N_{ure aja}$ – broj parova ili ure aja (linija u teoriji grafa)

OLP – procenjeni životni vek postrojenja

OP - operativni troškovi

OT – operativni troškovi

$P - \{p\}$, skup proizvodnih postrojenja u okviru industrijske zone

P_{cul} - odgovaraju a cena cevi (\$/m)

P_{el} – proizvedana elekti na energija

$P^I - \{i / i \in P, J_i \neq \emptyset\}$, skup postrojenja koja su izvor toplote

$P^K - \{k / k \in P, L_k \neq \emptyset\}$, skup postrojenja koja su ponor toplote

$(P_{\max}^{novo})_{i,j}$ - maksimalan pritisak HTPS koji se generiše u postrojenju izvora i u razmeni toplote sa procesnom strujom j

$Power_{k,l}^{new}$ - električna energija proizvedena u industrijskom kompleksu kada je uspostavljena integracija između postrojenja (kWh/god)

$Power_{k,l}^{old}$ - električna energija proizvedena u industrijskom kompleksu bez integracije postrojenja (kWh/god)

Pr_{power} - cena po kojoj se električna energija može prodati na tržištu

Pr_{VHS} - cena po kojoj se para vrlo visokog pritiska može nabaviti na tržištu

Q - razmenjena toplota

Q - toplotno opterećenje

Q_{11}, Q_{12} - toplotna opterećenja između tople struje 1 i hladne struje 1 i tople struje 1 i hladne struje 2

Q_{Cmin} - minimalni zahtevi za hlađenjem

Q_{ik}^H, Q_{jk}^C - sadržaj toplote tople pomoćne struje i i hladne struje j u temperaturnom intervalu k_{ti}

Q_{Hmin} - minimalni zahtevi za grejanjem

$q_{i,kei}$ - koliko toplotne energije može da oda topla struja i u entalpijskom intervalu k_{ei}

Q_{ijk} - razmenjena toplota između tople struje i i hladne struje j

Q_{ijk} - Razmenjena toplota tople struje i i hladne struje j u intervalu k_{ti}

Q_{ink} - Razmenjena toplota tople struje i i hladne pomoćne struje j u intervalu k_{ti}

$q_{j,kei}$ – količina topote koju može da prihvati hladna struja j u entalpijskom intervalu k_{ei}

Q_{ij}^L - donja granica razmenjene topote između tople struje i i hladne struje j

Q_{mjk} - Razmenjena toplota tople pomoćne struje m i hladne struje j u intervalu k_{ti}

Q^S, Q^W - toplotno opterećenje toplih pomoćnih struja m i hladnih pomoćnih struja n

Q_{ij}^U - gornja granica razmenjene topote između tople struje i i hladne struje j

R - vrednost proizvedena integracijom

R_{el} – vrednost električne energije proizvedena usled povećanja proizvodnje električne energije (\$/god)

R_{i2} - ostatak topote koji napušta interval 2

R_{ik} - Ostatak topote tople struje i koji napušta interval k_{ti}

R_{ik}, R_{mk} - pojedinačni ostaci topote za svaku toplu struju i i svaku toplu pomoćnu struju m , koji su prisutni na intervalu k_{ti} ili na intervalu iznad

R_k - ostatak topote koji napušta temperaturni interval k_{ti}

R_{mk} - Ostatak topote tople pomoćne struje m koji napušta interval k_{ti}

RU_{ij} - broj postrojenja izvora topote i , procesne struje j

RV - rashladna voda

R_{VHS} – vrednost pare vrlo visokog pritiska proizvedena usled smanjene proizvodnje pare vrlo visokog pritiska (\$/god)

S – broj struja uključujući pomoćne struje (takođe u teoriji grafa)

S - entropija

S'_k - $\{m \mid$ topla pomoćna struja m su prisutne u intervalu k_{ti} ili na višem intervalu $\}$

S_k - $\{m \mid$ topla pomoćna struja m doprema toplotu u temperaturni interval k_{ti} $\}$

SOL - radni vek sistema

ΔS - promena entropije

t - diskrtene promenjive

T_0 - standardna temperatura

t_1^{in}, t_1^{out} - ulazne i izlazne tempetrature hladne struje 1

t_2^{in}, t_2^{out} - ulazne i izlazne temperature hladne struje 2

T^{in}, T^{out} - ulazne i izlazne temperature tople stuje 1

$(T_{\max}^{novo})_{i,j}$ - maksimalna temperatura rashladno – grejnog fluida, koja se generiše u postrojenju izvora i , u razmeni toplote sa procesnom strujom j

$T_{i,j,k,l}^{novo}$ - temperatura na kojoj je potrebno generisati rashladno - grejnu pomo nu struju

TOC - ukupni kapitalni troškovi

T_{pf} – temperatura procesnog fluida

$T_{zasi\ enja,izlaz}$ – temperatura zasi enja vodene pare na izlazu iz turbine

$T_{zasi\ enja,ulaz}$ – temperatura zasi enja vodene pare na ulazu u turbine

$\Delta T_{i,j,k,l}$ - pad temperature prilikom prenosa od izvora toplote i do ponora toplote k

ΔT_{ln} - srednja logaritamska razlika temperatuta

$T_{ln,i,j,k,l}$ – srednja logaritamska razlika temperatuta u razmenjiva u u postrojenju izvora i (K)

$T_{ln,kei}$ – srednja logaritamska razlika temperatuta za entalpijski interval k_{ei}

T_{min} - minimalna razlika temperatuta

U – ukupni koeficijent prenosa toplote

u – brzina fluida u cevi (m/s)

U_{ij} - najmanjim sadržajem toplotne dve struje

$u_{k,l}$ - binarna promenljiva koja ukazuje na ograničenja masenog protoka

U_{kl} - broj postrojenja ponora toplotne k , glavne pomoćne struje l

vektor n - kontinuálane promenljive

VHS - para vrlo visokog pritiska

W - proizvedeni osovinski rad

$W_{gubitaka}$ - energetska gubitak u turbine

$W_{izentropsko,max}$ - izentropski rad za maksimalni protok pare kroz turbine

$W_k = \{n | \text{hladna pomoćna struja } n \text{ izdvaja toplotu iz temperaturnog intervala } k_{ii}\}$

W_{max} - maksimalni osovinski rad turbine

W_{max} - maksimalni rad koji turbina može da proizvede

W_{min} - minimalan rad koji turbina može da proizvede

W_{ods} - odsečak Willanove linije

$w_{i,j,k,l}^P$ - binarna promenljiva koja ukazuje na izvodljivost uspostavljanja veze između izvora i , i procesne struje j , i ponora k , i tople pomoćne struje l

$w_{i,j,k,l}^T$ - binarna promenljiva koja ukazuje na izvodljivost uspostavljanja veze između izvora i i procesne struje j , i ponora k i tople pomoćne struje l

wt_{cev} - težina cevi po jedinici dužine (kg/m)

y_{ij}^q - binarna promenljiva za podmrežu q

T_{ln} - srednja logaritamska razlika temperature

$\gamma_{mehaničko}$ - mehanička efikasnost

γ_{ST} - ukupna efikasnost

$\gamma_{zentropsko}$ - izentropska efikasnost turbine

$\gamma_{ST,max}$ - ukupna efikasnost parne turbine za maksimalni protok

t_1, t_2 - temperature na krajevima razmenjiva a

$\gamma_{k,l}^{gas}$ - je zahtevana temperatura površine pomočne struje na ulazu u cevovod u cilju stvaranja izvodljive konvekcije sa pomočnom strujom l , postrojenja ponora k ($^{\circ}\text{C}$)

$\gamma_{in,i}$ - ulazna temperatura tekuće faze pomočne struje koja se generiše u postrojenju i ($^{\circ}\text{C}$)

$\gamma_{k,l}$ - minimalna prihvatljiva temperatura tople pomočne struje l , u ponoru toplote k

$\gamma_{k,l}^{sat}$ - temperatura zasićenja pomočne struje l , postrojenja ponora k ($^{\circ}\text{C}$)

$\Theta_{i,j}$ - višak topline koji izvor poseduje (kJ/kg)

λ - parametar koji pokazuje deo masenog protoka kojem je dozvoljeno da bude povećan ili smanjen oko optimalnog masenog protoka kroz turbinu

$\gamma_{k,l}$ - minimalni prihvatljivi pritisak tople pomočne struje l u ponoru toplote k

$\rho_{i,j,k,l}$ - gustina HTPS koju je generisala procesna struja j u postrojenju i i koja se povezuje sa TPS l u postrojenju k (kg/m^3)